

Prefață

Rapida dezvoltare a algoritmicii grafurilor s-a datorat în primul rând progresului exponențial cunoscut de dezvoltarea calculatoarelor. Solicitată a participa la procesul de optimizare combinatorie, algoritmica grafurilor și-a construit un fond de teoreme proprii, pe baza cărora s-au elaborat o mulțime de algoritmi ce formează astăzi instrumentul de bază al acestui domeniu. Aplicațiile algoritmicii grafurilor în diverse domenii, de la fundamentarea deciziilor politice la probleme macroeconomice, de la probleme de producție la studiul rețelelor electrice, îi conferă o importanță crescută.

Deoarece această lucrare se adresează în primul rând studenților din domeniul informatică, ea conține principalele probleme ale algoritmicii grafurilor: noțiuni de bază, parcurgeri de grafuri, arbori și arborescențe, distanțe și drumuri, probleme euleriene și hamiltoniene. Expunerea este însoțită de numeroase exemple care facilitează înțelegerea corectă și completă a algoritmilor prezentați. De asemenea, fiecare capitol conține și aplicații în diverse domenii ale algoritmilor prezentați în capitolul respectiv.

Cartea se adresează și altor categorii de cititori: studenților din domeniile care studiază la anumite discipline și algoritmica grafurilor, elevilor de la clasele de informatică, profesorilor de liceu care predau noțiuni de algoritmica grafurilor, ingineri, economiști etc. Cititorii interesați să studieze și alte capitole de algoritmica grafurilor pot consulta bibliografia prezentată la sfârșitul lucrării.

Cuprins

Prefață	iii
1 Noțiuni introductive	1
1.1 Vocabularul de bază în teoria grafurilor	1
1.2 Clase de grafuri	7
1.3 Operații cu grafuri	11
1.4 Reprezentarea grafurilor	11
1.5 Complexitatea algoritmilor în teoria grafurilor	16
1.6 Aplicații	22
1.6.1 Rețele de comunicații	22
1.6.2 Probleme de programare dinamică	23
2 Parcurgeri de grafuri	27
2.1 Parcurgerea generică a grafurilor	27
2.2 Parcurgerea BF a grafurilor	30
2.3 Parcurgerea DF a grafurilor	33
2.4 Aplicații	37
2.4.1 Sortarea topologică	37
2.4.2 Componentele conexe ale unui graf	38
2.4.3 Componentele tare conexe ale unui graf	40
3 Arbori și arborescențe	43
3.1 Cicluri și arbori	43
3.2 Arbori parțiali minimi	47
3.2.1 Condiții de optimalitate	47
3.2.2 Algoritmul generic	50
3.2.3 Algoritmul Prim	51
3.2.4 Algoritmul Kruskal	52
3.2.5 Algoritmul Boruvka	53
3.3 Arborescențe	54
3.4 Aplicații	57
3.4.1 Proiectarea unui sistem fizic	57
3.4.2 Transmiterea optimă a mesajelor	57
3.4.3 Problema lanțului minimax între oricare două noduri	58

4	Distanțe și drumuri minime	59
4.1	Principalele probleme de drum minim	59
4.2	Ecuatiile lui Bellman	60
4.3	Algoritmi pentru distanțe și drumuri minime	61
4.3.1	Algoritmul Dijkstra	61
4.3.2	Algoritmul Bellman-Ford	64
4.3.3	Algoritmul Floyd-Warshall	66
4.4	Aplicații	69
4.4.1	Rețele de comunicații	69
4.4.2	Problema rucsacului	69
4.4.3	Programarea proiectelor	71
5	Probleme euleriene și hamiltoniene	75
5.1	Probleme euleriene	75
5.2	Probleme hamiltoniene	84
5.3	Aplicații	92
5.3.1	Problema poștaşului	92
5.3.2	Problema comis-voiajorului	94
	Bibliografie	99

Capitolul 1

Noțiuni introductive

1.1 Vocabularul de bază în teoria grafurilor

Avertizăm cititorul că terminologia din Teoria Grafurilor nu este complet unitară. Vom păstra, în cea mai mare parte, terminologia consacrată în literatura română de specialitate.

Definiția 1.1. Se numește *graf orientat* un triplet $G = (N, A, g)$ format dintr-o mulțime N de elemente numite *noduri* sau *vârfuri*, dintr-o familie A de elemente numite *arce* și dintr-o aplicație $g : A \rightarrow N \times N$ numită *funcție de incidență*, prin care fiecărui element $a \in A$ i se asociază o pereche ordonată $(x, y) \in N \times N$ cu $x \neq y$; dacă eliminăm condiția $x \neq y$ atunci arcul de forma (x, x) se numește *bucă*, iar G se numește *graf general orientat*.

În continuare vom presupune că graful orientat G este finit, adică mulțimea nodurilor $N = \{\dots, x, \dots\}$ este finită și familia arcelor $A = (\dots, a, \dots)$ este un șir finit. Cardinalul mulțimii N notat $|N| = n$, se numește *ordinul grafului orientat* G .

Un graf orientat $G = (N, A, g)$ se reprezintă grafic în modul următor:

- i. fiecare nod $x \in N$ se reprezintă printr-un punct sau cerculeț în plan;
- ii. fiecare arc $a \in A$, $a = (x, y)$ se reprezintă printr-o linie care unește cele două noduri și pe care se află o săgeată cu sensul de la x la y .

Exemplul 1.1. Graful din figura 1.1. este de ordinul 8.

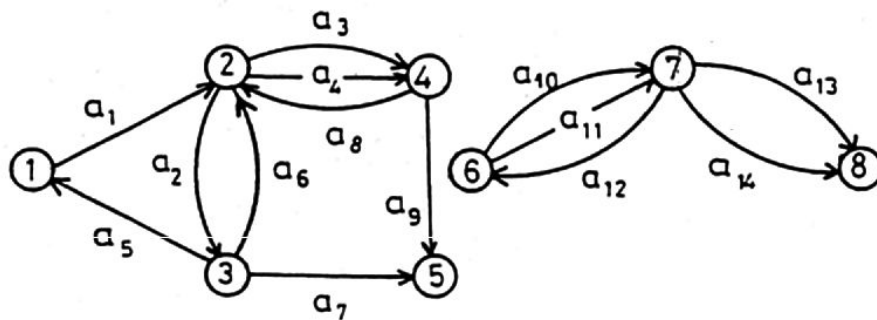


Fig.1.1

Observația 1.1. Reprezentarea grafică a unui graf orientat $G = (N, A, g)$ nu este unică. În primul rând nodurile se pot plasa în plan la întâmplare. În al doilea rând nu este obligatoriu ca arcele să fie segmente de dreaptă.

Exemplul 1.2. Cele trei grafuri din figura 1.2. reprezintă același graf.

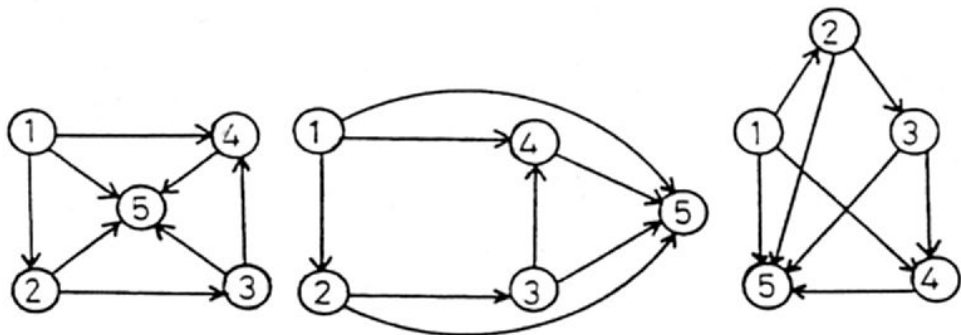


Fig.1.2

Definiția 1.2. Două grafuri orientate, $G_1 = (N_1, A_1, g_1)$ și $G_2 = (N_2, A_2, g_2)$ se numesc *izomorfe*, dacă există o bijecție $\phi : N_1 \rightarrow N_2$ cu proprietatea că aplicația $\psi : A_1 \rightarrow A_2$, definită prin $\psi(x_1, y_1) = (\phi(x_1), \phi(y_1))$, $(x_1, y_1) \in A_1$, $(\phi(x_1), \phi(y_1)) \in A_2$, este o bijecție.

Exemplul 1.3. Grafurile $G_1 = (N_1, A_1, g_1)$ și $G_2 = (N_2, A_2, g_2)$ prezentate în figura 1.3 sunt izomorfe.

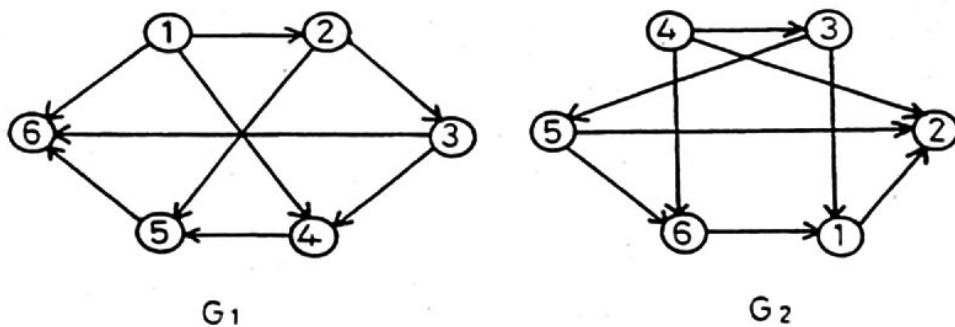


Fig.1.3

Dacă definim bijecția ϕ prin $\phi(1) = 4, \phi(2) = 3, \phi(3) = 5, \phi(4) = 6, \phi(5) = 1, \phi(6) = 2$, atunci $\psi(1, 2) = (\phi(1), \phi(2)) = (4, 3)$, $\psi(1, 4) = (\phi(1), \phi(4)) = (4, 6)$, $\psi(1, 6) = (\phi(1), \phi(6)) = (4, 2)$ etc. este evident bijecția $\psi : A_1 \rightarrow A_2$.

Definiția 1.3. Dacă oricare pereche ordonată $(x, y) \in N \times N$ este imaginea a cel mult q , $q > 1$, elemente din A , atunci $G = (N, A, g)$ se numește *multigraf orientat*.

Exemplul 1.4. În figura 1.1. avem un multigraf orientat cu $q = 2$.

În paragrafele și capitolele următoare ne vom ocupa de grafuri orientate cu $q = 1$. În acest caz funcția g este injectivă și familia A este o mulțime. Un astfel de graf se numește *digraf* și se notează $G = (N, A)$.

Definiția 1.4. Se numește *graf neorientat* un triplet $G = (N, A, g)$ format dintr-o mulțime N de elemente numite *noduri* sau *vârfuri*, dintr-o familie A de elemente numite *muchii* și dintr-o aplicație $g : A \rightarrow \mathcal{P}_2(N)$ numită *funcție de incidență*, prin care fiecărui element $a \in A$ i se asociază o pereche $\{x, y\} \in \mathcal{P}_2(N)$; dacă considerăm $g : A \rightarrow \mathcal{P}_{(2)}(N)$, unde: $\mathcal{P}_{(2)}(N) = \mathcal{P}_2(N) \cup \mathcal{P}_1(N)$, atunci aplicația g asociază fiecărui element $a \in A$, fie o pereche de noduri $\{x, y\} \in \mathcal{P}_2(N)$ care se notează $[x, y]$ sau $[y, x]$, fie un nod $\{x\} \in \mathcal{P}_1(N)$ care se notează $[x, x]$ și se numește *buclă*, iar G se numește *graf general neorientat*.

În continuare vom presupune că graful neorientat G este finit, adică mulțimea nodurilor N este finită și familia muchiilor A este un șir finit.

Un graf neorientat $G = (N, A, g)$ se reprezintă grafic la fel ca în cazul grafurilor orientate cu deosebirea că o muchie $a = [x, y]$ se reprezintă printr-o linie care unește cele două noduri fără săgeata care precizează sensul în cazul arcului. De asemenea, la fel ca în cazul grafurilor orientate se definește izomorfismul a două grafuri neorientate.

Definiția 1.5. Dacă oricare pereche $[x, y] \in \mathcal{P}_2(N)$ este imaginea a cel mult $q, q > 1$, elemente din A atunci $G = (N, A, g)$ se numește *multigraf neorientat*.

Exemplul 1.5. Dacă se elimină săgeata de pe fiecare arc al grafului din figura 1.1, atunci fiecare arc (x, y) devine o muchie $[x, y]$ și graful devine un multigraf neorientat cu $q = 3$.

În paragrafele și capitolele următoare ne vom ocupa de grafuri neorientate cu $q = 1$. În acest caz funcția g este injectivă și familia A este o mulțime. Un graf neorientat cu $q = 1$ se numește *graf simplu* și se notează $G = (N, A)$.

În majoritatea problemelor prezentate în continuare, se presupune că graful este orientat. De aceea, vom prezenta definițiile pentru grafurile orientate. Definițiile pentru grafurile neorientate se pot deduce, în cele mai multe cazuri, cu ușurință din definițiile corespunzătoare pentru grafuri orientate. Totuși, vom face unele precizări referitoare la unele definiții pentru grafurile neorientate.

Definiția 1.6. Fie un arc $a = (x, y) \in A$. Nodurile x, y se numesc *extremitățile arcului*, nodul x este *extremitatea inițială* și y *extremitatea finală*; nodurile x și y se numesc *adiacente*.

Evident că, pentru o muchie $a = [x, y] \in A$, nu se pot preciza extremitatea inițială și extremitatea finală.

Definiția 1.7. Fie un arc $a = (x, y) \in A$. Nodul x se numește *predecesor* al nodului y și nodul y se numește *succesor* al nodului x . Mulțimea succesorilor nodului x este mulțimea $V^+(x) = \{y | (x, y) \in A\}$ și mulțimea predecesorilor nodului x este mulțimea $V^-(x) = \{y | (y, x) \in A\}$. Mulțimea $V(x) = V^+(x) \cup V^-(x)$ se numește *vecinătatea* nodului x . Dacă $V(x) = \emptyset$, atunci x se numește *nod izolat*.

Exemplul 1.6. Pentru 2 - graful din figura 1.1. avem $V^+(4) = \{2, 5\}, V^-(4) = \{2\}, V(4) = \{2, 5\}$.

Definiția 1.8. Se spune că nodul x este *adiacent* cu submulțimea $N' \subset N$, dacă $x \notin N'$ și $x \in V(N'), V(N') = \cup \{V(y) | y \in N'\}$.

Observația 1.2. Conceptul de digraf se poate defini și prin perechea $G = (N, \Gamma)$, unde $N = \{\dots, x, \dots\}$ este mulțimea nodurilor și Γ aplicația multivocă $\Gamma : N \rightarrow \mathcal{P}(N), \Gamma(x) = V^+(x), x \in N$. Cele două definiții sunt echivalente. Într-adevăr, dacă digraful este dat sub forma $G = (N, A)$, atunci $\Gamma(x) = V^+(x), x \in N$. Reciproc, dacă digraful este dat sub forma $G = (N, \Gamma), \Gamma(x) = V^+(x), x \in N$, atunci se determină $E^+(x) = \{(x, y) | y \in V^+(x)\}, x \in N$ și $A = \cup\{E^+(x) | x \in N\}$. De asemenea, se definește $\Gamma^{-1}(x) = V^-(x), x \in N$. Recursiv avem

$$\Gamma^2(x) = \Gamma(\Gamma(x)), \dots, \Gamma^k(x) = \Gamma(\Gamma^{k-1}(x)), \dots$$

și analog

$$\Gamma^{-2}(x) = \Gamma^{-1}(\Gamma^{-1}(x)), \dots, \Gamma^{-k}(x) = \Gamma^{-1}(\Gamma^{-(k-1)}(x)), \dots$$

Un nod $y \in \Gamma^k(x)$ se numește *descendent* al nodului x și un nod $z \in \Gamma^{-k}(x)$ se numește *ascendent* al nodului x .

Exemplul 1.7. Fie digraful din figura 1.4.

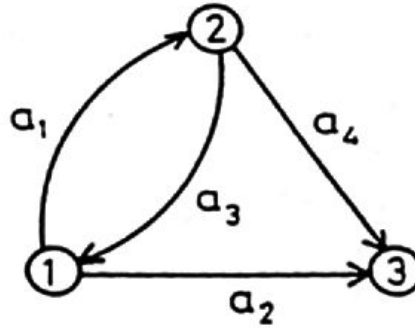


Fig.1.4

Dacă digraful este dat sub forma $G = (N, A)$ cu $N = \{1, 2, 3\}, A = \{a_1, a_2, a_3, a_4\} = \{(1, 2), (1, 3), (2, 1), (2, 3)\}$, atunci $\Gamma(1) = V^+(1) = \{2, 3\}, \Gamma(2) = V^+(2) = \{1, 3\}, \Gamma(3) = V^+(3) = \emptyset$ și am obținut digraful sub forma $G = (N, \Gamma)$.

Dacă digraful este dat sub forma $G = (N, \Gamma)$ cu $N = \{1, 2, 3\}, \Gamma(1) = \{2, 3\}, \Gamma(2) = \{1, 3\}, \Gamma(3) = \emptyset$, atunci $E^+(1) = \{(1, 2), (1, 3)\}, E^+(2) = \{(2, 1), (2, 3)\}, E^+(3) = \emptyset$ și $A = E^+(1) \cup E^+(2) \cup E^+(3) = \{(1, 2), (1, 3), (2, 1), (2, 3)\} = \{a_1, a_2, a_3, a_4\}$.

Definiția 1.9. Două arce se numesc *adiacente* dacă au cel puțin o extremitate în comun.

Definiția 1.10. Fie arcul $a = (x, y) \in A$. Se spune că arcul a este *incident către exterior* la nodul x și *incident către interior* la nodul y . Mulțimea arcelor incidente către exterior la nodul x este $E^+(x) = \{a_i | a_i = (x, y) \in A\}$, mulțimea arcelor incidente către interior la nodul x este $E^-(x) = \{a_j | a_j = (y, x) \in A\}$ și mulțimea arcelor incidente la nodul x este $E(x) = E^+(x) \cup E^-(x)$. Numărul $\rho^+(x) = |E^+(x)|$ se numește *semigradul exterior* al nodului x , numărul $\rho^-(x) = |E^-(x)|$ se numește *semigradul interior* al nodului x și numărul $\rho(x) = \rho^+(x) + \rho^-(x)$ se numește *gradul nodului x* .

Exemplul 1.8. Se consideră multigraful orientat din figura 1.1. Avem $\rho^+(3) = 3$, $\rho^-(3) = 1$, deci $\rho(3) = 3 + 1 = 4$.

Dacă $G = (N, A, g)$ este un graf neorientat atunci $\rho(x) = \rho^+(x) = \rho^-(x)$. În cazul în care $G = (N, A, g)$ este multigraf orientat atunci $\rho^+(x) \geq |V^+(x)|$, $\rho^-(x) \geq |V^-(x)|$ și în care $G = (N, A)$ este un digraf relațiile sunt verificate cu egalități. Evident că dacă x este nod izolat atunci $\rho(x) = 0$. Un nod x cu $\rho(x) = 1$ se numește *perdant*. Dacă toate nodurile lui G au același grad ρ atunci G se numește *graf ρ -regulat*. Un graf 0-regulat se numește *graf nul* și un graf 3-regulat se numește *graf trivalent* sau *cubic*.

Definiția 1.11. Într-un graf orientat $G = (N, A, g)$ se numește *lanț* de la nodul x_1 la nodul x_{k+1} , o secvență $L = (x_1, a_1, x_2, \dots, x_k, a_k, x_{k+1})$, $x_i \in N$, $i = 1, \dots, k+1$, $a_i \in A$, $i = 1, \dots, k$, cu proprietatea că fiecare arc a_i este de forma (x_i, x_{i+1}) sau (x_{i+1}, x_i) . Dacă $a_i = (x_i, x_{i+1})$, atunci a_i se numește *arc direct* al lanțului și dacă $a_i = (x_{i+1}, x_i)$, atunci a_i se numește *arc invers* al lanțului. Numărul de arce din secvență este, prin definiție, *lungimea lanțului* L . Lanțul L se numește *simplu* dacă fiecare arc a_i din secvență este utilizat o singură dată și se numește *elementar* dacă fiecare nod x_i din secvență este utilizat o singură dată. Dacă $x_{k+1} = x_1$ atunci lanțul simplu L se numește *ciclu* și se notează $\overset{\circ}{L}$.

Un lanț poate fi reprezentat și ca o secvență de arce $L = (a_1, \dots, a_k)$ și în cazul când $G = (N, A)$ este digraf ca o secvență de noduri $L = (x_1, \dots, x_{k+1})$.

Exemplul 1.9. Se consideră grafurile orientate din figura 1.1. Secvența $L = (1, a_1, 2, a_8, 4, a_3, 2, a_6, 3, a_2, 2, a_8, 4) = (a_1, a_8, a_3, a_6, a_2, a_8)$ este un lanț, dar nu este nici lanț simplu, nici lanț elementar. Secvența $L = (1, a_1, 2, a_3, 4, a_4, 2, a_2, 3, a_6, 2) = (a_1, a_3, a_4, a_2, a_6)$ este un lanț simplu, dar nu este lanț elementar. Secvența $L = (1, a_1, 2, a_6, 3, a_7, 5, a_9, 4) = (a_1, a_6, a_7, a_9)$ este un lanț elementar.

Noțiunea de lanț se poate defini și într-un graf neorientat $G = (N, A, g)$ ca o secvență $L = (x_1, a_1, x_2, \dots, x_k, a_k, x_{k+1})$ cu proprietatea că fiecare muchie a_i din secvență este de forma $a_i = [x_i, x_{i+1}]$ și lanțul poate fi reprezentat și sub forma $L = (a_1, \dots, a_k)$. Un lanț $L = (x_1, a_1, x_2, \dots, x_k, a_k, x_{k+1})$, al grafului orientat $G = (N, A, g)$, în care fiecare arc a_i este arc direct, adică este de forma $a_i = (x_i, x_{i+1})$, se numește *lanț orientat* sau *drum* și se notează prin D . Un lanț simplu orientat cu $x_{k+1} = x_1$ se numește *ciclu orientat* sau *circuit* și se notează prin $\overset{\circ}{D}$. Noțiunile de drum și circuit au sens numai pentru grafuri orientate.

Exemplul 1.10. Se consideră grafurile orientate din figura 1.1. Secvența $D = (1, a_1, 2, a_3, 4, a_8, 2, a_2, 3, a_6, 2, a_3, 4, a_8, 2) = (a_1, a_3, a_8, a_2, a_6, a_3, a_8)$ este un drum, dar nici drum simplu, nici drum elementar. Secvența $D = (1, a_1, 2, a_3, 4, a_8, 2, a_2, 3, a_7, 5) = (a_1, a_3, a_8, a_2, a_7)$ este un drum simplu, dar nu este un drum elementar. Secvența $D = (3, a_6, 2, a_4, 4, a_9, 5) = (a_6, a_4, a_9)$ este un drum elementar.

În paragrafele următoare vom considera, în general, lanțuri și drumuri elementare, dar fără a mai specifica de fiecare dată atributul "elementar", ci numai în cazurile când este necesar.

Definiția 1.12. Se spune că grafurile orientate $G' = (N', A', g')$ este un *subgraf* al grafului orientat $G = (N, A, g)$ dacă $N' \subseteq N$ și $A' \subseteq A$. Dacă $N' \subseteq N$ și $A' = (N' \times N') \cap A$ atunci $G' = (N', A', g')$ se numește *subgraf indus* în G de mulțimea de noduri N' . Dacă $N' = N$ și $A' \subseteq A$ atunci $G' = (N', A', g')$ se numește *subgraf parțial* al lui G .

Concepte similare se pot defini în mod analog și pentru grafuri neorientate.

Fie $G = (N, A)$ un digraf cu mulțimea nodurilor $N = \{1, \dots, n\}$ și mulțimea arcelor $A = \{1, \dots, m\}$. *Matricea de adiacență* asociată digrafului G este matricea

$$M = (m_{ij})_{n \times n}$$

unde

$$m_{ij} = \begin{cases} 1 & \text{dacă } (i, j) \in A \\ 0 & \text{dacă } (i, j) \notin A \end{cases}$$

Evident că au loc relațiile:

$$\rho^+(i) = \sum_{j=1}^n m_{ij}, i \in N, \quad \rho^-(j) = \sum_{i=1}^n m_{ij}, j \in N.$$

Matricea de incidență asociată digrafului G este matricea $\overline{M} = (\overline{m}_{ij})_{n \times m}$ unde

$$\overline{m}_{ij} = \begin{cases} 1 & \text{dacă } j \in E^+(i) \\ -1 & \text{dacă } j \in E^-(i) \\ 0 & \text{dacă } j \notin E(i) \end{cases}$$

În acest caz au loc relațiile:

$$\rho^+(i) = \sum_{j|\overline{m}_{ij}>0} \overline{m}_{ij}, i \in N, \quad \rho^-(i) = \sum_{j|\overline{m}_{ij}<0} |\overline{m}_{ij}|, i \in N.$$

Exemplul 1.11. Pentru digraful din figura 1.4. avem:

$$M = \begin{bmatrix} 0 & 1 & 1 \\ 1 & 0 & 1 \\ 0 & 0 & 0 \end{bmatrix}, \quad \overline{M} = \begin{bmatrix} 1 & 1 & -1 & 0 \\ -1 & 0 & 1 & 1 \\ 0 & -1 & 0 & -1 \end{bmatrix}$$

Se remarcă faptul că matricea de incidență \overline{M} are pe fiecare coloană un 1, un -1, și $n - 2$ zerouri.

Dacă $G = (N, A)$ este un graf simplu neorientat atunci

$$m_{ij} = \begin{cases} 1 & \text{dacă } [i, j] \in A, \\ 0 & \text{dacă } [i, j] \notin A \end{cases}$$

și

$$\overline{m}_{ij} = \begin{cases} 1 & \text{dacă } j \in E(i), \\ 0 & \text{dacă } j \notin E(i) \end{cases}$$

Evident că în cazul unui graf simplu neorientat matricea de adiacență M este simetrică, adică $m_{ij} = m_{ji}$ pentru $i = 1, \dots, n$ și $j = 1, \dots, n$.

1.2 Clase de grafuri

O clasă de grafuri este alcătuită din grafuri cu proprietăți particulare.

Definiția 1.13. Se spune că digraful $G = (N, A)$ este *simetric* dacă oricare ar fi $(x, y) \in A$ implică $(y, x) \in A$.

Cu alte cuvinte, digraful $G = (N, A)$ este simetric dacă orice pereche de noduri adiacente este legată prin arce în ambele sensuri.

Definiția 1.14. Se spune că digraful $G = (N, A)$ este *antisimetric* dacă oricare ar fi $(x, y) \in A$ implică $(y, x) \notin A$.

Deci, digraful $G = (N, A)$ este antisimetric dacă orice pereche de noduri adiacente este legată cel mult printr-un singur arc.

Exemplul 1.12. Digraful reprezentat în figura 1.5(a) este simetric și digraful reprezentat în figura 1.5(b) este antisimetric.

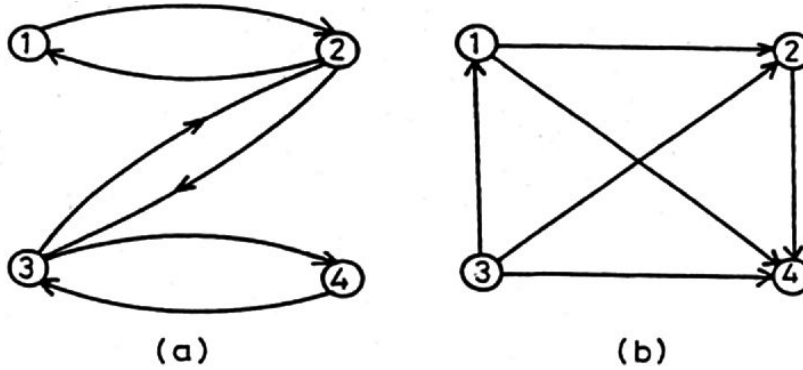


Fig.1.5

Definiția 1.15. Se spune că digraful $G = (N, A)$ este *pseudosimetric* dacă $\rho^+(x) = \rho^-(x)$ pentru fiecare nod $x \in N$.

Orice digraf simetric este și pseudosimetric. Reciproca nu este adevărată.

Exemplul 1.13. Digraful reprezentat în figura 1.5(a) este simetric deci este și pseudosimetric, iar cel reprezentat în figura 1.5(b) este antisimetric, dar nu este pseudosimetric. Digraful reprezentat în figura 1.6(a) este pseudosimetric, dar nu este simetric și nici antisimetric, iar cel reprezentat în figura 1.6(b) este antisimetric și pseudosimetric.

Definiția 1.16. Se spune că digraful $G = (N, A)$ este *nesimetric* dacă există un arc $(x, y) \in A$ pentru care $(y, x) \notin A$.

Cu alte cuvinte, digraful $G = (N, A)$ este nesimetric dacă nu este simetric. Orice graf antisimetric este nesimetric. Reciproca nu este adevărată. Orice graf pseudosimetric care nu este simetric este nesimetric. Reciproca nu este adevărată.

Definiția 1.17. Se spune că digraful $G = (N, A)$ este *complet* dacă oricare ar fi $(x, y) \notin A$ implică $(y, x) \in A$.

Un graf simplu neorientat $G = (N, A)$ cu n noduri care este complet se notează cu K_n și are $n(n-1)/2$ muchii.

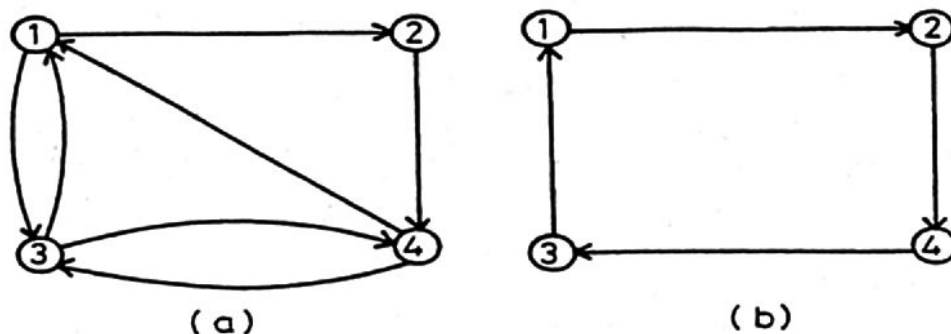


Fig.1.6

Exemplul 1.14. Digraful din figura 1.5(b) este antisimetric deci este nesimetric și digrafulurile reprezentate în figura 1.6 sunt pseudosimetrice care nu sunt simetrice, deci sunt nesimetrice. Digraful din figura 1.7(a) este nesimetric, dar nu este nici antisimetric și nici pseudosimetric.

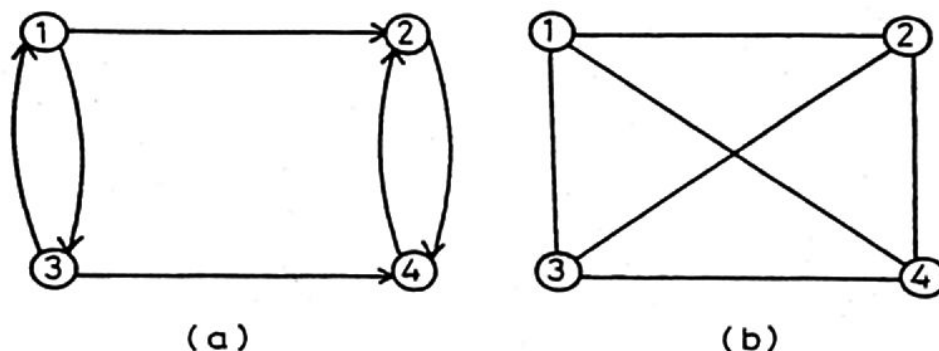


Fig.1.7

Digraful reprezentat în figura 1.5(b) este complet. Graful K_4 este reprezentat în figura 1.7(b).

Definiția 1.18. Se spune că digraful $G = (N, A)$ este *graf turneu* dacă este antisimetric și complet.

Denumirea de graf turneu se justifică prin faptul că un astfel de graf poate reprezenta un turneu sportiv în care fiecare jucător (echipă) joacă câte un meci cu toți (toate) ceilalți (celelalte) jucători (echipe).

Definiția 1.19. Se spune că digraful $G = (N, A)$ este *tranzitiv* dacă oricare ar fi $(x, y) \in A$ și $(y, z) \in A$ implică $(x, z) \in A$.

Exemplul 1.15. Digraful reprezentat în figura 1.5.(b) este un graf turneu și de asemenea este tranzitiv.

Definiția 1.20. Se spune că digraful $G = (N, A)$ este o *clică* dacă este simetric și complet.

Denumirea de clică se justifică prin faptul că un digraf simetric și complet poate reprezenta o coalțiție sociologică, politică etc. Noțiunea de clică are sens și pentru grafuri neorientate, astfel graful K_n este o clică.

Definiția 1.21. Se spune că digraful $G = (N, A)$ este *bipartit* dacă mulțimea nodurilor N admite o partiție în două submulțimi N_1 și N_2 ($N_1 \neq \emptyset, N_2 \neq \emptyset, N_1 \cap N_2 = \emptyset, N_1 \cup N_2 = N$), astfel încât orice arc $(x, y) \in A$ are una dintre extremități în N_1 , iar cealaltă extremitate în N_2 .

Un digraf bipartit se notează $G = (N_1, N_2, A)$ și se caracterizează prin inexistența ciclurilor care conțin un număr impar de arce. Un graf neorientat bipartit și complet $G = (N_1, N_2, A)$ cu $|N_1| = n_1$ și $|N_2| = n_2$ se notează K_{n_1, n_2} .

Exemplul 1.16. Digraful reprezentat în figura 1.8(a) este o clică. În figura 1.8.(b) este reprezentat graful $K_{2,3}$.

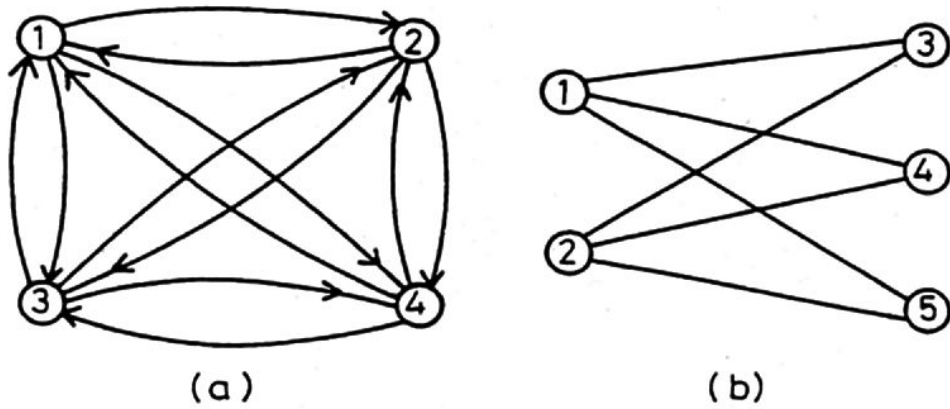


Fig.1.8

Definiția 1.22. Se spune că digraful $G = (N, A)$ este *planar* dacă este posibil să-l reprezentăm pe un plan astfel încât oricare două arce să se întâlnească eventual numai în extremitățile lor.

Analog se definește un graf simplu neorientat planar. Arcele (muchii) unui graf planar $G = (N, A)$ determină contururi care mărginesc regiuni numite *fețe*. Există o singură regiune din plan fără contur numită *față nemărginită*.

Exemplul 1.17. Digraful reprezentat în figura 1.5(b) este planar, deoarece poate fi reprezentat ca în figura 1.9.

Fețele 1,2,3 sunt fețele mărginite, iar fața 4 este fața nemărginită. Exemple de grafuri neplanare minimale sunt K_5 și $K_{3,3}$.

O altă clasă de grafuri este alcătuită din grafuri asociate unui graf dat.

În paragraful 1.1. s-a definit subgraful $G' = (N', A')$ al unui graf dat $G = (N, A)$.

Definiția 1.23. Se spune că digraful $\overline{G} = (\overline{N}, \overline{A})$ este *complementarul* digrafului $G = (N, A)$ dacă $\overline{N} = N$ și $\overline{A} = \{(x, y) \mid x, y \in N, x \neq y, (x, y) \notin A\}$.

Analog se definește complementarul unui graf simplu neorientat. Operația de complementare este involutivă, adică complementarul complementarului este graful inițial.

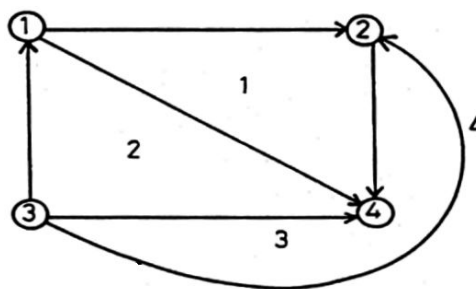


Fig.1.9

Exemplul 1.18. Digraful reprezentat în figura 1.10(b) este complementarul digrafului reprezentat în figura 1.10.(a)

Definiția 1.24. Se spune că digraful $G^{-1} = (N^{-1}, A^{-1})$ este *inversul* digrafului $G = (N, A)$ dacă $N^{-1} = N$ și A^{-1} se obține din A prin inversarea sensului arcelor.

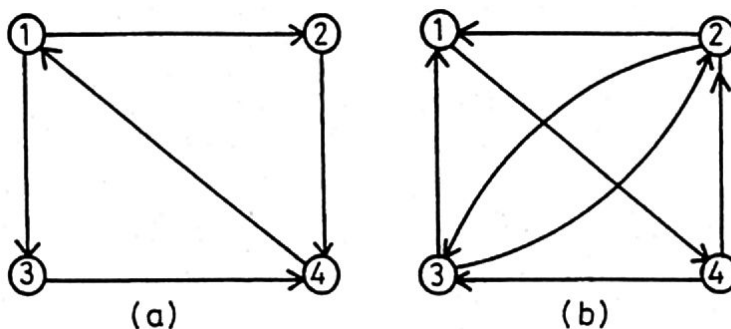


Fig.1.10

Operația de inversare este involutivă, adică inversul inversului este graful inițial ($((G^{-1})^{-1} = G)$). Graful autoreciproc ($G^{-1} = G$) este simetric.

Exemplul 1.19. Digraful reprezentat în figura 1.11(b) este inversul digrafului reprezentat în figura 1.11(a).

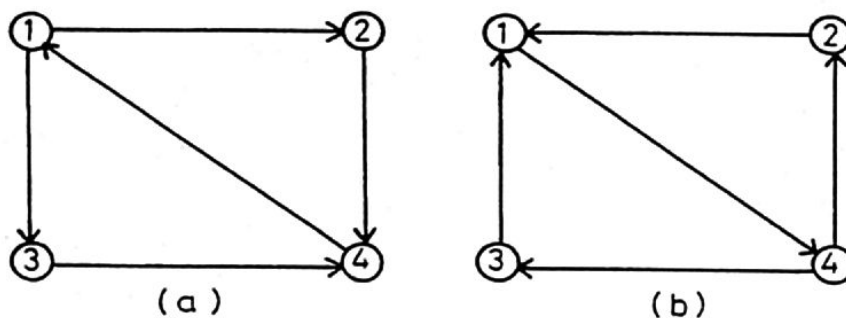


Fig.1.11

1.3 Operații cu grafuri

Definiția 1.25. *Suma carteziană* a două digrafuri $G_1 = (N_1, A_1)$ și $G_2 = (N_2, A_2)$ este notată $G_1 + G_2$ și este digraful $G = (N, A)$ definit astfel:

$$\begin{aligned} N &= N_1 \times N_2 = \{x_1x_2 | x_1 \in N_1, x_2 \in N_2\}, \\ A &= \{(x_1x_2, y_1y_2) | x_1, y_1 \in N_1, x_2, y_2 \in N_2, \\ &\quad x_1 = y_1 \text{ și } (x_2, y_2) \in A_2 \text{ sau } x_2 = y_2 \text{ și } (x_1, y_1) \in A_1\}. \end{aligned}$$

Definiția 1.26. *Produsul cartezian* al două digrafuri $G_1 = (N_1, A_1)$ și $G_2 = (N_2, A_2)$ este notat $G_1 \times G_2$ și este digraful $G = (N, A)$ definit astfel:

$$\begin{aligned} N &= N_1 \times N_2 = \{x_1x_2 | x_1 \in N_1, x_2 \in N_2\}, \\ A &= \{(x_1x_2, y_1y_2) | x_1, y_1 \in N_1, x_2, y_2 \in N_2, \\ &\quad (x_1, y_1) \in A_1 \text{ și } (x_2, y_2) \in A_2\}. \end{aligned}$$

Suma carteziană și produsul cartezian a două grafuri simple neorientate se definesc analog ca pentru două digrafuri. De asemenea suma carteziană și produsul cartezian a p grafuri, $p > 2$, se definesc asemănător ca pentru două grafuri. **Exemplul 1.20.** Digraful reprezentat în figura 1.13(a) este suma carteziană a digrafurilor reprezentate în figura 1.12.

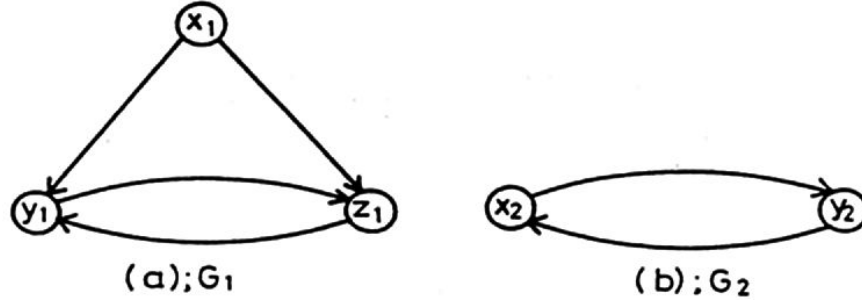


Fig.1.12

Arcul $(x_1x_2, x_1y_2) \in A$ deoarece $x_1 = x_1$ și $(x_2, y_2) \in A_2$; arcul $(x_1x_2, y_1x_2) \in A$ deoarece $x_2 = x_2$ și $(x_1, y_1) \in A_1$ etc. Digraful reprezentat în figura 1.13(b) este produsul cartezian al digrafurilor reprezentate în figura 1.12.

Arcul $(x_1x_2, z_1y_2) \in A$ deoarece $(x_1, z_1) \in A_1$ și $(x_2, y_2) \in A_2$; arcul $(y_1y_2, z_1x_2) \in A$ deoarece $(y_1, z_1) \in A_1$ și $(y_2, x_2) \in A_2$ etc.

1.4 Structuri de date utilizate în reprezentarea grafurilor

Performanța unui algoritm utilizat pentru rezolvarea unei probleme din teoria grafurilor depinde nu numai de structura algoritmului utilizat ci și de modul de reprezentare în calculator a topologiei grafului.

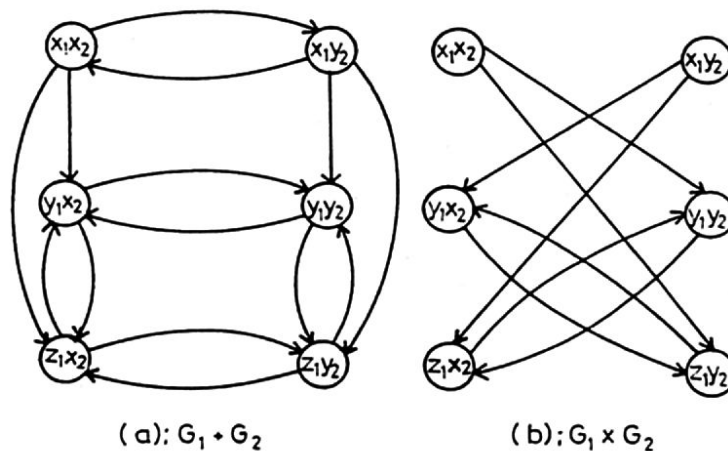


Fig.1.13

Fie un digraf $G = (N, A)$ cu $N = \{1, \dots, n\}$ și $A = \{1, \dots, m\}$. Se consideră funcția valoare $b : A \rightarrow \mathbb{R}$ și funcția capacitate $c : A \rightarrow \mathbb{R}^+$. Funcția valoare b reprezintă fie funcția lungime, fie funcția cost etc. Funcțiile b, c etc. se pot defini și pe mulțimea nodurilor.

Definiția 1.27. Un digraf $G = (N, A)$ pe care s-a/s-au definit funcția b sau/și funcția c se numește *rețea orientată* și se notează fie $G = (N, A, b)$, fie $G = (N, A, c)$, respectiv $G = (N, A, b, c)$.

Analog se definește o *rețea neorientată*.

În acest paragraf se vor prezenta cele mai uzuale structuri de date utilizate pentru reprezentarea rețelelor. Pentru reprezentarea unei rețele este necesar, în general, să memorăm două tipuri de informații:

- a) informații privind topologia rețelei;
- b) informații privind funcția b sau/și funcția c .

În acest paragraf se prezintă reprezentările rețelelor orientate. Reprezentările corespunzătoare rețelelor neorientate sunt similare cu reprezentările rețelelor orientate. La sfârșitul acestui paragraf sunt prezentate pe scurt și reprezentările rețelelor neorientate.

Reprezentarea prin *matricea de adiacență* constă în memorarea matricei de adiacență

$$M = (m_{ij})_{n \times n}$$

unde

$$m_{ij} = \begin{cases} 1 & \text{dacă } (i, j) \in A \\ 0 & \text{dacă } (i, j) \notin A \end{cases}$$

Dacă este necesar să memorăm funcția b sau/și funcția c , atunci memorăm matricea valoare

$$B = (b_{ij})_{n \times n}$$

unde

$$b_{ij} = \begin{cases} b(i, j) & \text{dacă } (i, j) \in A, \\ 0 & \text{dacă } (i, j) \notin A \end{cases}$$

sau/și matricea capacitate

$$C = (c_{ij})_{n \times n}$$

unde

$$c_{ij} = \begin{cases} c(i, j) & \text{dacă } (i, j) \in A, \\ 0 & \text{dacă } (i, j) \notin A \end{cases}$$

Reprezentarea prin *matricea de incidență* constă în memorarea matricei de incidență

$$\overline{M} = (\overline{m}_{ij})_{n \times m}$$

unde

$$\overline{m}_{ij} = \begin{cases} 1 & \text{dacă } j \in E^+(i), \\ -1 & \text{dacă } j \in E^-(i), \\ 0 & \text{dacă } j \notin E(i) \end{cases}$$

Exemplul 1.21. Considerăm rețeaua orientată din figura 1.14.

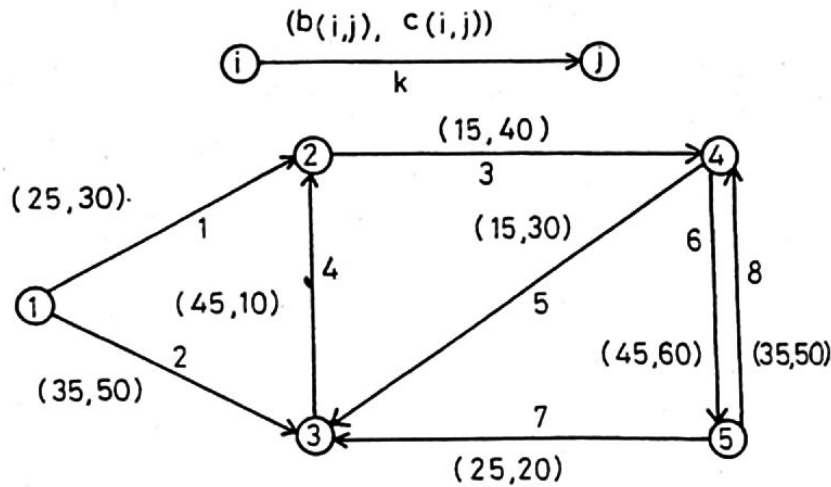


Fig.1.14

Matricele M, B, C, \overline{M} sunt următoarele:

$$M = \begin{bmatrix} 0 & 1 & 1 & 0 & 0 \\ 0 & 0 & 0 & 1 & 0 \\ 0 & 1 & 0 & 0 & 0 \\ 0 & 0 & 1 & 0 & 1 \\ 0 & 0 & 1 & 1 & 0 \end{bmatrix}, B = \begin{bmatrix} 0 & 25 & 35 & 0 & 0 \\ 0 & 0 & 0 & 15 & 0 \\ 0 & 45 & 0 & 0 & 0 \\ 0 & 0 & 15 & 0 & 45 \\ 0 & 0 & 25 & 35 & 0 \end{bmatrix}$$

$$C = \begin{bmatrix} 0 & 30 & 50 & 0 & 0 \\ 0 & 0 & 0 & 40 & 0 \\ 0 & 10 & 0 & 0 & 0 \\ 0 & 0 & 30 & 0 & 60 \\ 0 & 0 & 20 & 50 & 0 \end{bmatrix}, \overline{M} = \begin{bmatrix} 1 & 1 & 0 & 0 & 0 & 0 & 0 & 0 \\ -1 & 0 & 1 & -1 & 0 & 0 & 0 & 0 \\ 0 & -1 & 0 & 1 & -1 & 0 & -1 & 0 \\ 0 & 0 & -1 & 0 & 1 & 1 & 0 & -1 \\ 0 & 0 & 0 & 0 & 0 & -1 & 1 & 1 \end{bmatrix}$$

Matricele M, B, C au fiecare n^2 elemente și numai m elemente nenule. Matricea \overline{M} are nm elemente și numai $2m$ elemente nenule (pe fiecare coloană câte 2 elemente nenule, un 1 și un -1). Rezultă că reprezentarea prin matrice asociate rețelei este eficientă numai în cazul rețelelor dense ($m \gg n$). Pentru rețelele rare ($m \ll n^2$) este eficient să utilizăm liste de adiacență sau liste de incidență.

Lista nodurilor adiacente către exterior nodului i este $V^+(i) = \{j | (i, j) \in A\}$ și lista arcelor incidente către exterior nodului i este $E^+(i) = \{(i, j) | j \in V^+(i)\}$.

Considerăm că listele $V^+(i)$ și $E^+(i)$ sunt ordonate, și avem $|V^+(i)| = |E^+(i)| = \rho^+(i)$, $i = 1, \dots, n$.

Reprezentarea prin *liste de adiacență* poate fi utilizată în una din următoarele două variante:

- reprezentarea cu ajutorul tablourilor;
- reprezentarea cu ajutorul listelor simplu înlănțuite.

Reprezentarea cu ajutorul *tablourilor* constă în a defini două tablouri unidimensionale. Primul tablou, notat P , are $n+1$ elemente și reprezintă o listă de pointeri. Tabloul P se definește astfel: $P(1) = 1, P(i+1) = P(i) + \rho^+(i)$, $i = 1, \dots, n$. Al doilea tablou, notat V , are m elemente și reprezintă o listă de noduri. Tabloul V conține nodurile j din lista $V^+(i)$, în ordinea stabilită, între locațiile $P(i)$ și $P(i+1) - 1$, $i = 1, \dots, n$.

Reprezentarea cu ajutorul tablourilor poate fi realizată și prin utilizarea unui tablou bidimensional

$$T = \begin{bmatrix} T(1,1) & \dots & T(1,p) \\ T(2,1) & \dots & T(2,p) \end{bmatrix}$$

unde $p = n+m$. Elementele $T(1, k)$, $k = 1, \dots, p$ sunt noduri și elementele $T(2, k)$, $k = 1, \dots, p$ sunt pointeri. Prima linie a tabloului T se definește astfel:

$$T(1, k) = \begin{cases} k, & \text{pentru } k = 1, \dots, n, \\ V(k - n), & \text{pentru } k = n + 1, \dots, p \end{cases}$$

Elementul $T(1, k)$ reprezintă:

- nodul k , dacă $1 \leq k \leq n$,
- un nod j din $V^+(i)$, dacă $n + P(i) \leq k \leq n + P(i+1)$, $i = 1, \dots, n$.

A doua linie a tabloului T se definește astfel:

$$T(2, k) = \begin{cases} n + P(k), & \text{dacă } V^+(k) \neq \emptyset, \text{ pentru } k = 1, \dots, n \\ 0, & \text{dacă } V^+(k) = \emptyset, \text{ pentru } k = 1, \dots, n \\ k + 1, & \text{dacă } T(1, k) = j \text{ nu este ultimul nod din } V^+(i) \\ & \text{pentru } k = n + P(i), \dots, n + P(i+1) - 1, i = 1, \dots, n \\ 0, & \text{dacă } T(1, k) = j \text{ este ultimul nod din } V^+(i) \\ & \text{pentru } k = n + P(i), \dots, n + P(i+1) - 1, i = 1, \dots, n \end{cases}$$

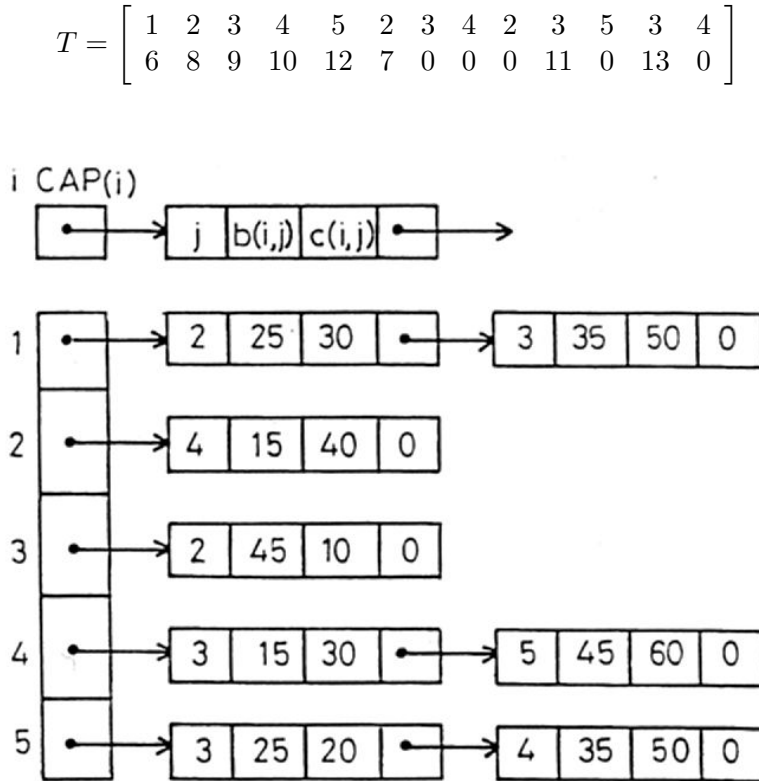
Elementul $T(2, k) \neq 0$ reprezintă adresa (coloana) din $T(1, k')$, adică $k' = T(2, k)$:

- a primului nod j din $V^+(k)$, dacă $1 \leq k \leq n$,
- a următorului nod j' a lui $j = T(1, k)$ din $V^+(i)$, dacă $n + P(i) \leq k < n + P(i + 1) - 1$, $i = 1, \dots, n$.

Reprezentarea cu ajutorul *listelor simplu înlănțuite* constă din n liste, fiecare listă corespunde la un nod i și are $\rho^+(i)$ locații. Fiecare locație corespunde unui arc (i, j) și conține mai multe câmpuri: un câmp pentru memorarea nodului j , un câmp pentru memorarea pointerului care indică legătura la următoarea locație și eventual un câmp sau două câmpuri pentru $b(i, j)$ sau/și $c(i, j)$. Dacă locația este ultima din lista înlănțuită atunci prin convenție în câmpul pointerului punem valoarea 0. Deoarece avem n liste, una pentru fiecare nod i cu $\rho^+(i)$ locații, este necesar un tablou unidimensional, notat CAP , cu n elemente ce conține pointeri care indică prima locație din fiecare listă înlănțuită. Dacă $\rho^+(i) = 0$ atunci $CAP(i) = 0$.

Exemplul 1.22. Considerând rețeaua din figura 1.14 avem următoarele reprezentări cu ajutorul tablourilor și cu ajutorul listelor simplu înlănțuite:

$V^+(1) = \{2, 3\}$, $\rho^+(1) = 2$, $V^+(2) = \{4\}$, $\rho^+(2) = 1$, $V^+(3) = \{2\}$, $\rho^+(3) = 1$, $V^+(4) = \{3, 5\}$, $\rho^+(4) = 2$, $V^+(5) = \{3, 4\}$, $\rho^+(5) = 2$; $P = (1, 3, 4, 5, 7, 9)$, $V = (2, 3, 4, 2, 3, 5, 3, 4)$; $n = 5$, $m = 8$, $n + m = 5 + 8 = 13$.



Reprezentarea prin liste de adiacență revine la descrierea matricei de adiacență linie cu linie. În mod similar se poate descrie matricea de incidență coloană cu coloană utilizând liste de incidență.

Reprezentarea prin *liste de incidență* constă în utilizarea tabloului unidimensional P al pointerilor și a unui tablou bidimensional notat E . Dacă reprezentăm o rețea $G = (N, A, b)$ sau o rețea $G = (N, A, c)$ atunci tabloul E are trei linii și m coloane și dacă reprezentăm rețeaua $G = (N, A, b, c)$ atunci tabloul E are patru linii și m coloane. Fiecare coloană k , corespunde unui arc (i, j) și anume $E(1, k) = i, E(2, k) = j, E(3, k) = b(i, j)$ sau $c(i, j)$ dacă rețeaua este $G = (N, A, b)$ sau $G = (N, A, c)$ și $E(1, k) = i, E(2, k) = j, E(3, k) = b(i, j), E(4, k) = c(i, j)$ dacă rețeaua este $G = (N, A, b, c)$. Tabloul E conține arcele din $E^+(i)$, în ordinea stabilită, și informațiile asociate acestor arce, de la coloana $P(i)$ inclusiv până la coloana $P(i+1) - 1$ inclusiv.

Exemplul 1.23. Considerăm rețeaua reprezentată în figura 1.14 Tablourile P și E sunt următoarele:

$$P = (1, 3, 4, 5, 7, 9)$$

$$E = \begin{bmatrix} 1 & 1 & 2 & 3 & 4 & 4 & 5 & 5 \\ 2 & 3 & 4 & 2 & 3 & 5 & 3 & 4 \\ 25 & 35 & 15 & 45 & 15 & 45 & 25 & 35 \\ 30 & 50 & 40 & 10 & 30 & 60 & 20 & 50 \end{bmatrix}$$

Un alt avantaj al reprezentării prin liste de adiacență sau liste de incidență este că permite reprezentarea rețelelor care conțin arce paralele, adică arce care au aceeași extremitate inițială și aceeași extremitate finală.

Reprezentarea prin liste de adiacență este avantajoasă când este implementată într-un limbaj care are posibilitatea să lucreze cu liste înlănțuite (PASCAL, C). În acest caz topologia rețelei se poate modifica ușor. Reprezentarea prin liste de incidență are avantajul că are nevoie de mai puțină memorie decât reprezentarea prin liste de adiacență. Alegerea unei reprezentări depinde de problema de rezolvat și de limbajul ales.

O rețea neorientată $G = (N, A, b, c)$ se transformă într-o rețea orientată $\tilde{G} = (\tilde{N}, \tilde{A}, \tilde{b}, \tilde{c})$ cu $\tilde{N} = N, \tilde{A} = \{(i, j), (j, i) \mid [i, j] \in A\}$, funcțiile \tilde{b} și \tilde{c} sunt definite în raport cu problema de rezolvat și \tilde{G} se reprezintă prin una din metodele descrise mai sus.

1.5 Noțiuni de complexitatea algoritmilor în teoria grafurilor

În acest paragraf se va nota cu $\lceil r \rceil$ cel mai mic întreg mai mare sau egal cu r pentru $r \in \mathbb{R}$.

Fie un digraf $G = (N, A)$ cu $|N| = n$ noduri și $|A| = m$ arce. Se consideră funcția valoare $b : A \rightarrow \mathbb{R}$ și funcția capacitate $c : A \rightarrow \mathbb{R}$. Funcția valoare b reprezintă fie funcția lungime, fie funcția cost etc. Fie $\bar{b} = \max\{b(x, y) \mid (x, y) \in A\}$ și $\bar{c} = \max\{c(x, y) \mid (x, y) \in A\}$.

Definiția 1.28. Prin *problemă* se înțelege o funcție total definită $P : I \rightarrow F$, unde I este mulțimea informațiilor inițiale (datele de intrare ale problemei) și F este mulțimea informațiilor finale (datele de ieșire ale problemei).

Se presupune că mulțimile I și F sunt nevide și cel mult numărabile.

Exemplul 1.24. În rețeaua $G = (N, A, b)$ se poate formula problema drumului minim, iar în rețeaua $G = (N, A, c)$ problema fluxului maxim.

Definiția 1.29. Se numește *instanță* a problemei P , precizarea problemei $P(i)$ pentru o valoare specificată $i \in I$.

Pentru o instanță $P(i)$ se va folosi și notația p , iar prin abuz de notație uneori vom scrie $p \in P$.

Exemplul 1.25. În problema drumului minim în rețeaua $G = (N, A, b)$, pentru a defini o instanță a acestei probleme este necesar să specificăm topologia digrafului $G = (N, A)$, nodurile sursă și destinație și funcția b .

Un *algoritm* este o procedură care rezolvă pas cu pas o instanță $p, p \in P$.

Definiția 1.30. Se spune că *algoritmul* α *rezolvă problema* P dacă algoritmul determină soluția oricărei instanțe $p \in P$.

Un algoritm α care rezolvă instanța p va porni de la o codificare a informației inițiale $i \in I$ și va furniza o codificare a rezultatului.

Definiția 1.31. Se numește *dimensiunea problemei* P un număr natural notat $d(p), p \in P$, care reprezintă lungimea unei codificări binare a informației inițiale.

În general, $d(p)$ este un număr natural care reprezintă dimensiunea structurală a informației inițiale, deoarece lungimea codificării binare a unei informații inițiale va fi mărginită de o funcție având ca argument dimensiunea sa structurală.

Exemplul 1.26. Să considerăm o problemă care are ca dată de intrare un digraf $G = (N, A)$ reprezentat prin matricea sa de adiacență M . Pentru această problemă trebuie $\lceil \log n \rceil$ biți pentru codul numărului n și n^2 biți pentru reprezentarea matricei. Dimensiunea problemei, este $\lceil \log n \rceil + n^2$. Pentru n suficient de mare se poate considera dimensiunea problemei egală cu n^2 .

Exemplul 1.27. Să considerăm o problemă care are ca dată de intrare, o rețea $G = (N, A, b)$. Presupunem că pentru reprezentarea digrafului $G = (N, A)$ se folosesc listele de adiacență P (lista de pointeri) și V (lista nodurilor). Dacă notăm cu $\rho^+(i)$ semigradul exterior al nodului $i \in N$, atunci lista P este un tablou unidimensional ce are $n + 1$ elemente cu $P(1) = 1$ și $P(i+1) = P(i) + \rho^+(i)$, $i = 1, 2, \dots, n$. Lista V este un tablou unidimensional ce are m elemente și $V(P(i))$ până la $V(P(i+1) - 1)$ conțin succesorii nodului i . Rezultă $1 \leq P(i) \leq m + 1$, $i = 1, \dots, n + 1$ și $1 \leq V(i) \leq n$, $i = 1, \dots, m$. Deci pentru a descrie această problemă sunt necesari:

- $\lceil \log n \rceil$ biți pentru codificarea lui n ;
- $\lceil \log m \rceil$ biți pentru codificarea lui m ;
- $(n + 1)\lceil \log(m + 1) \rceil$ biți pentru codificarea elementelor tabloului P ;
- $m\lceil \log n \rceil$ biți pentru codificarea elementelor tabloului V ;
- $m\lceil \log \bar{b} \rceil$ biți pentru codificarea valorilor numerice $b(x, y), (x, y) \in A$.

Rezultă că dimensiunea problemei este $\lceil \log n \rceil + \lceil \log m \rceil + (n + 1)\lceil \log(m + 1) \rceil + m\lceil \log n \rceil + m\lceil \log \bar{b} \rceil$. Pentru m și n suficienți de mari se poate considera că problema are dimensiunea $m\lceil \log n \rceil$.

În continuare se vor prezenta diferite abordări ale complexității unui algoritm.

Resursele de calcul asociate execuției unui algoritm sunt spațiul de memorie și timpul necesar de execuție. Ne vom ocupa numai de resursa timp, deoarece progresele tehnologice din ultima perioadă conduc la o scădere a importanței memoriei folosite de algoritm.

Vom nota $T'_\alpha(p)$ timpul de execuție necesar algoritmului α pentru rezolvarea instanței $p, p \in P$. Acest timp reprezintă numărul pașilor efectuați de algoritm pentru rezolvarea instanței p . Un pas al unui algoritm α este o operație elementară (instrucțiune elementară). În general, operațiile elementare sunt: operații de atribuire, operații aritmetice (+, -, *, /), operații logice (comparații). Se presupune, că execuția unei instrucțiuni elementare nu depinde de mărimea operanzilor și de timpul de memorare a rezultatelor. Aceasta înseamnă că resursa timp este studiată independent de sistemul de calcul pe care se face implementarea algoritmului.

În literatura de specialitate există trei tipuri de abordări ale complexității unui algoritm α : analiza empirică, analiza cazului mediu și analiza cazului cel mai defavorabil.

Obiectivul *analizei empirice* constă în studierea comportării în practică a unui algoritm. Se scrie un program pentru algoritmul respectiv și se testează performanțele programului pe diferite clase de instanțe ale problemei. Această analiză are câteva dezavantaje majore: (1) performanțele unui program depind de limbajul de programare, de calculatorul folosit și de priceperea programatorului care a scris programul; (2) de obicei această analiză este mare consumatoare de timp și este scumpă; (3) compararea algoritmilor prin această analiză poate să conducă la rezultate eronate.

Obiectivul *analizei cazului mediu* constă în studierea comportării în medie a unui algoritm, care presupune rezolvarea următoarelor două etape: (a) precizarea unei distribuții de probabilitate pe mulțimea instanțelor $p, p \in P$; (b) determinarea mediei variabilei aleatoare $T'_\alpha(p), T^m_\alpha(k) = M(\{T'_\alpha(p) \mid p \in P, d(p) = k\})$.

Analiza cazului mediu are, de asemenea, dezavantaje majore: (1) în general, este dificil să se determine o distribuție de probabilitate corectă pe mulțimea instanțelor $p, p \in P$; (2) această analiză depinde de distribuția de probabilitate aleasă; (3) în general, determinarea mediei $T^m_\alpha(k)$ se reduce la calculul unor sume finite care sunt evaluate cu mari dificultăți. Totuși această analiză este folosită în cazul când algoritmul are performanțe bune pentru majoritatea instanțelor și pentru un număr mic de instanțe, care apar rar în practică, algoritmul funcționează prost sau foarte prost.

Analiza *cazului cel mai defavorabil* elimină multe din dezavantajele prezentate mai sus. Această analiză constă în a determina $T_\alpha(k) = \sup\{T'_\alpha(p) \mid p \in P, d(p) = k\}$. Rezultă că analiza cazului cel mai defavorabil: (1) furnizează o margine superioară pentru numărul operațiilor elementare (instrucțiunilor elementare) necesare algoritmului α pentru rezolvarea oricărei instanțe $p, p \in P$; (2) este independentă de calculatorul pe care se face implementarea algoritmului; (3) face posibilă compararea algoritmilor; (4) are și avantajul că $T_\alpha(k)$ se determină mai ușor decât $T^m_\alpha(k)$. Totuși, analiza cazului cel mai defavorabil nu este perfectă. Un dezavantaj major este faptul că $T_\alpha(k)$ poate fi determinată de instanțe "patologice" care apar destul de rar în practică. Dar avantajele acestei analize depășesc dezavantajele și de aceea este cea mai folosită metodă pentru a măsura performanțele unui algoritm.

Deoarece determinarea exactă a lui $T_\alpha(k)$ este uneori dificilă, iar pe de altă parte, aceasta ar însemna considerarea unor detalii de implementare, se vor căuta margini superioare și inferioare pentru $T_\alpha(k)$, se va studia comportarea sa asimptotică.

În cele ce urmează se vor introduce notațiile O, Ω, Θ și se vor defini algoritmii polinomiali și cei exponențiali.

Fie funcția $f : \mathcal{N} \rightarrow \mathcal{N}$. Se folosesc următoarele notații:

$$O(f) = \{g | g : \mathcal{N} \rightarrow \mathcal{N}, \exists r_1 \in \mathbb{R}_+^*, \exists k_0 \in \mathcal{N} : g(k) \leq r_1 f(k), \forall k \geq k_0\};$$

$$\Omega(f) = \{g | g : \mathcal{N} \rightarrow \mathcal{N}, \exists r_2 \in \mathbb{R}_+^*, \exists k_0 \in \mathcal{N} : g(k) \geq r_2 f(k), \forall k \geq k_0\};$$

$$\Theta(f) = \{g | g : \mathcal{N} \rightarrow \mathcal{N}, g \in O(f) \cap \Omega(f)\}.$$

Se obișnuiește ca în loc de a scrie $g \in O(f)$ să se folosească notația $g = O(f)$ (similar pentru Ω și Θ).

Definiția 1.32. Se numește *complexitatea timp* (sau simplu *complexitate*) a algoritmului α comportarea asimptotică a lui $T_\alpha(k)$.

Definiția 1.33. Se spune că o problemă algoritmică P are *complexitatea* $O(f(k))$ dacă există un algoritm α care rezolvă problema P și algoritmul α are complexitatea $T_\alpha(k) = O(f(k))$.

Definiția 1.34. Se spune că o problemă algoritmică P are *complexitatea* $\Omega(f(k))$ dacă orice algoritm α care rezolvă problema P are complexitatea $T_\alpha(k) = \Omega(f(k))$.

Definiția 1.35. Se spune că un algoritm α pentru rezolvarea problemei P este *optimal* dacă problema P are complexitatea $\Omega(T_\alpha(k))$.

Demonstrarea optimalității unui algoritm α pentru o problemă P este o activitate foarte complicată. Există foarte puține rezultate de acest fel.

Definiția 1.36. Se numește *algoritm polinomial* un algoritm α cu complexitatea $O(f(k))$ unde $f(k)$ este un polinom în k . Un algoritm care nu este polinomial se numește *exponențial*.

Exemplul 1.28. Presupunem că o operație elementară necesită pentru execuție 10^{-6} secunde, adică $O(1) = 10^{-6}$ secunde. În tabelul de mai jos sunt prezentate complexitățile timp pentru câteva funcții, unde m înseamnă minute, z înseamnă zile și s înseamnă secole.

n	n	n^5	2^n	n^n
20	$0,33 \times 10^{-6} \text{ m}$	$5,33 \times 10^{-2} \text{ m}$	$1,66 \times 10^{-2} \text{ m}$	$3 \times 10^{10} \text{ s}$
40	$0,66 \times 10^{-6} \text{ m}$	$0,17 \times 10^1 \text{ m}$	$1,27 \times 10 \text{ z}$...

Exemplul 1.29. Să considerăm graful $G = (N, A)$ cu $N = \{1, \dots, n\}$, $A = \{1, \dots, m\}$ reprezentat prin matricea sa de adiacență M . Unele probleme de teoria grafurilor necesită calcularea matricei M^{n-1} , unde prin M^i notăm, în acest exemplu, puterea booleană de ordinul i a matricei M . Deci problema P constă în calculul matricei M^{n-1} .

Dintr-un exemplu prezentat mai sus rezultă că dimensiunea problemei este n^2 .

Dacă avem de efectuat produsul boolean a două matrice boolene (cu elemente 0 și 1) B și C pătratice de dimensiune n , atunci pentru calculul matricei produs $D = B \dot{\times} C$ trebuie determinate toate elementele $d_{ij} = b_{i1} \dot{\times} c_{1j} \dot{+} \dots \dot{+} b_{in} \dot{\times} c_{nj}$, unde $\dot{\times}, \dot{+}$ reprezintă înmulțirea booleană, respectiv adunarea booleană. Convenim să considerăm ca operație elementară perechea ordonată $(\dot{\times}, \dot{+})$. Rezultă că, pentru calculul unui element d_{ij} sunt necesare n operații elementare. Deci pentru calculul celor n^2 elemente d_{ij} sunt necesare n^3 operații elementare. Fie:

$$n - 1 = \sum_{i=0}^k a_i 2^i, a_k \neq 0, a_i \in \{0, 1\}.$$

În acest caz avem $M^{n-1} = M^{a_0} \dot{\times} (M^2)^{a_1} \dot{\times} \dots \dot{\times} (M^{2^k})^{a_k}$. Acest produs boolean conține cel mult $\lceil \log(n-1) \rceil$ înmulțiri booleene, deoarece dacă $a_i = 0$ atunci $(M^{2^i})^{a_i} = U$ (matricea unitate) și nu se mai efectuează înmulțirea. Considerăm cazul cel mai defavorabil cu $a_i = 1$, $i = 0, \dots, k$, $k = \lceil \log(n-1) \rceil - 1$ ($2^k < n-1 < 2^{k+1}$) și $k = \lceil \log(n-1) \rceil$ ($n-1 = 2^k$). Algoritmul necesită atunci

1) calculul matricelor booleene:

$$M, M^2 = M \dot{\times} M, \dots, M^{2^k} = M^{2^{k-1}} \dot{\times} M^{2^{k-1}}$$

ce reprezintă k înmulțiri booleene de matrice booleene;

2) calculul matricelor booleene:

$$M^3 = M \dot{\times} M^2, \quad M^7 = M^3 \dot{\times} M^4, \quad M^{15} = M^7 \dot{\times} M^8, \dots$$

ce reprezintă k înmulțiri booleene de matrice booleene.

Deci pentru a calcula M^{n-1} trebuie să efectuăm, în cazul cel mai defavorabil, $2k$ înmulțiri booleene de matrice booleene. Cum pentru înmulțirea booleană a două matrice booleene sunt necesare n^3 operații elementare, rezultă că pentru calculul matricei M^{n-1} sunt necesare $2n^3k$ operații elementare. Deoarece $k = \lceil \log(n-1) \rceil - 1$ și dimensiunea problemei este n^2 , rezultă că algoritmul pentru calculul matricei M^{n-1} are complexitatea $O(n^{3/2} \log n)$.

Referitor la problemele din teoria grafurilor, în practica curentă, se exprimă complexitatea unui algoritm în funcție de m, n, \bar{b}, \bar{c} . Cum problema este din teoria grafurilor se consideră că algoritmul pentru calculul matricei M^{n-1} are complexitatea $O(n^3 \log n)$.

În teoria grafurilor, referitor la complexitatea algoritmilor, avem următoarele noțiuni specifice. Dacă complexitatea algoritmului este $O(f(n, m, \log \bar{b}, \log \bar{c}))$, unde $f(n, m, \log \bar{b}, \log \bar{c})$ este o funcție polinomială de $n, m, \log \bar{b}, \log \bar{c}$, atunci se spune că algoritmul este *polinomial*. Un algoritm polinomial se spune că este algoritm *tare polinomial* dacă f este o funcție polinomială numai de n și m și algoritm *slab polinomial* altfel. În general, algoritmii tare polinomial sunt preferați față de algoritmii slab polinomial, deoarece ei pot rezolva probleme cu valori arbitrar de mari pentru funcțiile b și c . Remarcăm faptul că definiția algoritmului polinomial din teoria grafurilor se încadrează în definiția algoritmului polinomial pentru cazul general (Definiția 1.36). De asemenea, conform definiției 1.36, un algoritm din teoria grafurilor este *exponențial* dacă nu este polinomial. De exemplu, $O(2^n), O(n!), O(m \cdot n \cdot \bar{c})$ sunt complexități pentru algoritmi exponențiali. Se spune că un algoritm este *pseudopolinomial* dacă f este o funcție polinomială de m, n, \bar{b}, \bar{c} . Algoritmii pseudopolinomiali constituie o subclasă importantă a clasei algoritmilor exponențiali.

Evident, că sunt preferați algoritmii polinomiali față de algoritmii exponențiali și în cadrul algoritmilor exponențiali sunt preferați algoritmii pseudopolinomiali.

În continuare se vor prezenta anumite reguli de calcul pentru O, Ω, Θ . Mai întâi să precizăm că relațiile O, Ω, Θ pot fi considerate ca relații între funcții: O este relația "este dominată asimptotic de", Ω este relația "domină asimptotic pe" și Θ este relația "are același ordin de mărime ca". Se constată ușor că relațiile O și Ω sunt relații de preordine (reflexive și tranzitive) și că relația Θ este o relație de echivalență (reflexivă, simetrică și tranzitivă). Regulele de calcul pentru O, Ω, Θ sunt următoarele:

- 1) Reflexivitatea relațiilor O, Ω, Θ :
 $a) f = O(f), \quad b) f = \Omega(f), \quad c) f = \Theta(f).$
- 2) Simetria relației Θ :
 $g = \Theta(f) \text{ implică } f = \Theta(g).$
- 3) Transitivitatea relațiilor O, Ω, Θ :
 $a) g = O(f) \text{ și } f = O(h) \text{ implică } g = O(h),$
 $b) g = \Omega(f) \text{ și } f = \Omega(h) \text{ implică } g = \Omega(h),$
 $c) g = \Theta(f) \text{ și } f = \Theta(h) \text{ implică } g = \Theta(h).$
- 4) Fie $c \in \mathbb{R}_+^*$:
 $a) g = O(f) \text{ implică } cg = O(f),$
 $b) g = \Omega(f) \text{ implică } cg = \Omega(f),$
 $c) g = \Theta(f) \text{ implică } cg = \Theta(f).$
- 5) Fie $g_1 \geq g_2$ sau $g_1 \leq g_2$:
 $a) g_1 = O(f_1) \text{ și } g_2 = O(f_2) \text{ implică } g_1 + g_2 = O(\max(f_1, f_2)),$
 $b) g_1 = \Omega(f_1) \text{ și } g_2 = \Omega(f_2) \text{ implică } g_1 + g_2 = \Omega(\min(f_1, f_2)),$
 $c) g_1 = \Theta(f_1) \text{ și } g_2 = \Theta(f_2) \text{ implică } g_1 + g_2 = \Theta(\max(f_1, f_2)).$
- 6) Fie $g_1 \geq g_2$:
 $a) g_1 = O(f_1) \text{ și } g_2 = O(f_2) \text{ implică } g_1 - g_2 = O(f_1),$
 $b) g_1 = \Omega(f_1) \text{ și } g_2 = \Omega(f_2) \text{ implică } g_1 - g_2 = \Omega(f_2),$
 $c) g_1 = \Theta(f_1), g_2 = \Theta(f_2) \text{ și } f_1 = \Omega(f_2), f_2 = O(f_1) \text{ implică } g_1 - g_2 = \Theta(f_1).$
- 7) Fie $g_1 \geq g_2$ sau $g_1 \leq g_2$:
 $a) g_1 = O(f_1) \text{ și } g_2 = O(f_2) \text{ implică } g_1 \cdot g_2 = O(f_1 \cdot f_2),$
 $b) g_1 = \Omega(f_1) \text{ și } g_2 = \Omega(f_2) \text{ implică } g_1 \cdot g_2 = \Omega(f_1 \cdot f_2),$
 $c) g_1 = \Theta(f_1) \text{ și } g_2 = \Theta(f_2) \text{ implică } g_1 \cdot g_2 = \Theta(f_1 \cdot f_2).$

Aceste reguli sunt consecințe evidente ale definițiilor.

Deseori se pot compara funcțiile f și g calculând

$$\lim_{n \rightarrow \infty} \frac{g(n)}{f(n)}.$$

Se obțin următoarele proprietăți:

$$\lim_{n \rightarrow \infty} \frac{g(n)}{f(n)} = c > 0 \quad \text{implică} \quad g = \Theta(f) \quad (1.1)$$

$$\lim_{n \rightarrow \infty} \frac{g(n)}{f(n)} = 0 \quad \text{implică} \quad g = O(f) \quad \text{și} \quad g \neq \Theta(f) \quad (1.2)$$

$$\lim_{n \rightarrow \infty} \frac{g(n)}{f(n)} = \infty \quad \text{implică} \quad g = \Omega(f) \quad \text{și} \quad g \neq \Theta(f) \quad (1.3)$$

Aceste proprietăți rezultă din definiția limitei: de exemplu pentru proprietatea (1.1) avem: $\forall \epsilon > 0, \exists n_0 \in \mathbb{N}$ astfel încât $\forall n \geq n_0$ avem $\left| \frac{g(n)}{f(n)} - c \right| < \epsilon$ sau $\forall \epsilon > 0, \exists n_0 \in \mathbb{N}$ astfel încât $\forall n \geq n_0$ avem

$$(c - \epsilon)f(n) < g(n) < (c + \epsilon)f(n).$$

Reciprocile proprietăților (1.1), (1.2), (1.3) sunt false. În cazul când nu există limită, trebuie revenit la definițiile O, Ω, Θ pentru a putea compara g și f . De exemplu, dacă

$f(n) = 2n, g(n) = n$ pentru $n = 2k + 1$ și $g(n) = 2n$ pentru $n = 2k$, atunci limita de mai sus nu există, dar $g \in \Theta(f)$ deoarece pentru orice n avem $\frac{1}{2}f(n) \leq g(n) \leq f(n)$.

1.6 Aplicații

1.6.1 Rețele de comunicații

O rețea de comunicație se poate descrie printr-o rețea $G = (N, A, b, c)$. Astfel, pot fi descrise traseele dintre localități pe șosele, autostradă sau cale ferată, traseele din localități ale autobuzelor, troleibuzelor sau tramvaielor, traseele aeriene sau maritime, rețelele cristalografice, geografice, topografice, cartografice, cadastrale, hidrografice, de irigații, de drenaj, de alimentare cu apă, gaze sau energie electrică, de termoficare, telefonice, telecomunicații, telegrafice, radio, televiziune, calculatoare. De asemenea repartițiile de materiale sunt rețele de comunicații, fluxuri tehnologice, programele de investiții, de organizare a muncii, sistemul informațional. Totodată sunt rețele aparatul circulator al sângelui, sistemul nervos, sistemul limfatic etc.

Exemplul 1.30. În figura 1.15 este reprezentată rețeaua $G = (N, A, b)$ a traseelor pe șosele din județul Brașov, unde fiecare nod $x \in N$ reprezintă un oraș din județ, o muchie $[x, y] \in A$ reprezintă faptul că orașele x, y sunt conectate printr-o șosea modernizată și b reprezintă funcția distanță. S-a considerat rețeaua $G = (N, A, b)$ neorientată, deoarece pe o șosea $[x, y]$ se circulă în ambele sensuri. Pe fiecare muchie s-a trecut distanța în kilometri.

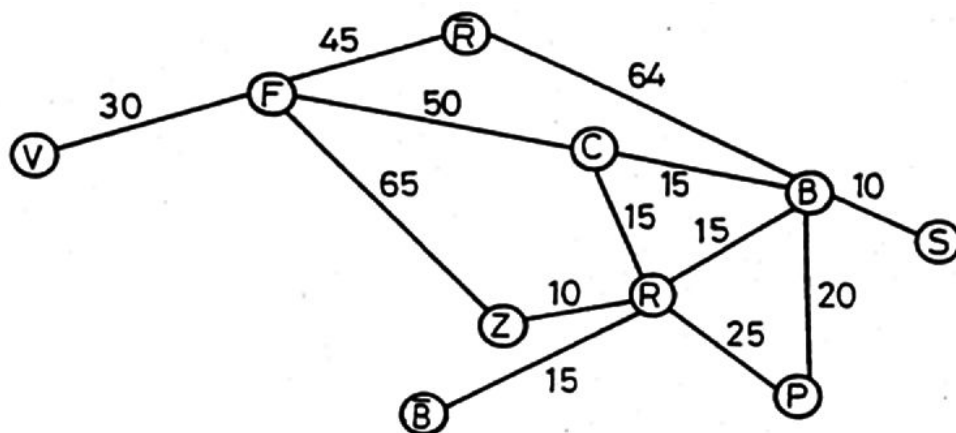


Fig.1.15 B - Brașov; \bar{B} - Bran; C - Codlea; F - Făgăraș; P - Predeal; R - Râșnov; \bar{R} - Rupea; S - Săcele; V - Victoria; Z - Zărnești

Exemplul 1.31. În digraful din figura 1.16. este schematizată circulația sângelui în corpul omenesc.

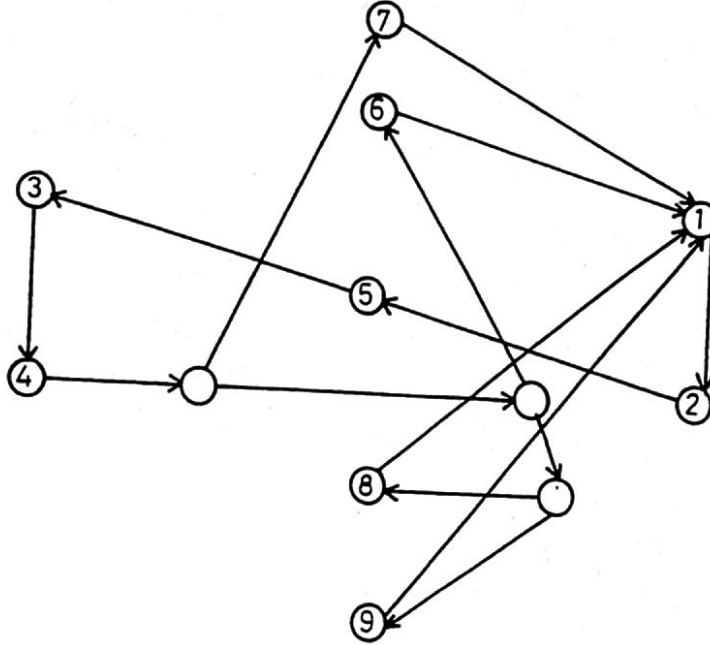


Fig.1.16 1 - auricul drept; 2 - ventricul drept; 3 - auricul stâng;
4 - ventricul stâng; 5 - plămâni; 6 - membre superioare;
7 - cap; 8 - trunchi celiac; 9 - membre inferioare.

Dacă pentru o persoană ar exista arcul $(1, 3)$, atunci această persoană ar avea boala lui Roger, iar dacă pentru o persoană se instituie comunicarea directă de la nodul 4 la nodul 2, în digraf ar apărea arcul $(4, 2)$, atunci persoana decedează.

Multe alte aplicații ale grafurilor vor fi prezentate în capitolele următoare.

1.6.2 Probleme de programare dinamică

Metoda programării dinamice se aplică problemelor de optimizare în care soluția poate fi privită ca rezultatul unui șir de decizii din mulțimea deciziilor $D = \cup_{i=1}^n D_{0i}$.

Fie sistemul S cu mulțimea stărilor X . Presupunem că trecerea sistemului S dintr-o stare în alta are loc numai în urma unei decizii. Un vector $\bar{x} = (x_0, \dots, x_n), x_i \in X, i = 0, \dots, n$ reprezintă o soluție și un vector $\bar{d} = (d_1, \dots, d_n), d_i \in D, i = 1, \dots, n$ reprezintă o politică a sistemului S . Un vector $\bar{x}_{ij} = (x_i, \dots, x_j)$ este o soluție parțială și un vector $\bar{d}_{ij} = (d_{i+1}, \dots, d_j), 0 \leq i < j \leq n$, este o subpolitică a sistemului S . Printre politicile \bar{d} care determină evoluția sistemului S dintr-o stare inițială x_0 într-o stare finală x_n poate exista o politică $\bar{d}^* = (d_1^*, \dots, d_n^*)$ care optimizează funcția obiectiv dată. Această politică se numește *politică optimă* și soluția $\bar{x}^* = (x_0^*, \dots, x_n^*)$ determinată de politica optimă \bar{d}^* se numește *soluție optimă*.

Principiul optimalității are următoarea formulare:

Dacă $\bar{x}^* = (x_0^*, \dots, x_n^*)$ este o soluție optimă atunci oricare soluție parțială $\bar{x}_{ij} = (x_i^*, \dots, x_j^*)$ a sa este optimă.

Deci programarea dinamică se poate aplica problemelor pentru care optimul total implică optimul parțial.

Analiza de luarea deciziilor începând cu starea inițială x_0 , continuând cu stările x_1, x_2, \dots și terminând cu starea finală x_n se numește *analiza prospectivă*. Analiza de luarea deciziilor începând cu starea finală x_n , continuând cu stările x_{n-1}, x_{n-2}, \dots și terminând cu starea inițială x_0 se numește *analiza retrospectivă*.

În analiza prospectivă, dacă sistemul S se află în starea x_{i-1} și se ia decizia $d_i \in D_{0i}(x_{i-1})$ atunci S trece în starea x_i , $i = 1, \dots, n$. Această evoluție poate fi descrisă prin relațiile:

$$x_i = t_{0i}(x_{i-1}, d_i), d_i \in D_{0i}(x_{i-1}), i = 1, \dots, n.$$

Fie $u_{0i}(x_i, d_i)$ utilitatea trecerii sistemului S de la starea x_{i-1} , la starea x_i , $i = 1, \dots, n$. utilitatea totală este funcția $f_{0n}(u_{01}, \dots, u_{0n})$ și reprezintă funcția obiectiv. Considerăm cazul aditiv $f_{0n}(u_{01}, \dots, u_{0n}) = u_{01} + \dots + u_{0n}$.

Fie X_{0i} , $0 \leq i \leq n$, mulțimea stărilor accesibile la momentul i . prin urmare, avem:

$$X_{0i} = \{y | y \in X, \text{ există } x \in X_{0i-1} \text{ și } d \in D_{0i}(x) \text{ astfel încât } y = t_{0i}(x, d)\}.$$

Oricărui proces secvențial de decizii i se poate asocia un digraf $G = (N, \Gamma)$ unde $N = \cup_{i=0}^n X_{0i}$, $\Gamma(x) = \{y | y \in X_{0i}, y = t_{0i}(x, d), d \in D_{0i}(x)\}$ pentru orice $x \in X_{0i-1}$. Digraful poate fi exprimat echivalent prin $G = (N, A)$, unde $(x, y) \in A$ dacă și numai dacă $y \in \Gamma(x)$. Un drum în digraful G de la starea $x_{i-1} \in X_{0i-1}$ la starea $x_j \in X_{0j}$, $1 \leq i < j \leq n$, determină în mod unic o subpolitică $\bar{d}_{ij} = (d_i, \dots, d_j)$ și reciproc. În particular, un drum de la starea inițială $x_0 \in X_{00}$ la starea finală $x_n \in X_{0n}$ determină în mod unic o politică $\bar{d} = (d_1, \dots, d_n)$ și reciproc. Digraful $G = (N, A)$ are o structură particulară deoarece mulțimea nodurilor N este partiționată în $n+1$ mulțimi X_{00}, \dots, X_{0n} și pentru orice arc $(x, y) \in A$, dacă $x \in X_{0i-1}$ atunci $y \in X_{0i}$. Un digraf $G = (N, A)$ cu aceste proprietăți se numește *digraf secvențial*. Într-un digraf secvențial $G = (N, A)$ nu există circuite. Definim funcția $v : A \rightarrow \mathbb{R}$ prin $v(x, y) = u_{0i}(x, d)$, dacă $x \in X_{0i-1}$, $d \in D_{0i}(x)$ pentru orice arc $(x, y) \in A$. Astfel, în cazul funcției obiectiv aditive, problema determinării unei politici optime este echivalentă cu problema determinării unui drum de valoare optimă (minimă sau maximă) în digraful $G = (N, A)$.

Exemplul 1.32. Se consideră sistemul S cu mulțimea stărilor $X = \{x_0, x_1, x_2, x_3\}$ și mulțimea stărilor inițiale $X_{00} = \{x_0\}$. Mulțimile deciziilor $D_{0i}(x)$ și transformările $t_{0i}(x, d)$ sunt următoarele:

$$\begin{aligned} D_{01}(x_0) &= \{d_1, d_2\}, t_{01}(x_0, d_1) = x_1, t_{01}(x_0, d_2) = x_2; \\ D_{02}(x_1) &= \{d_3, d_4\}, t_{02}(x_1, d_3) = x_1, t_{02}(x_1, d_4) = x_2; \\ D_{02}(x_2) &= \{d_5, d_6\}, t_{02}(x_2, d_5) = x_1, t_{02}(x_2, d_6) = x_0; \\ D_{03}(x_0) &= \{d_1, d_7\}, t_{03}(x_0, d_1) = x_1, t_{03}(x_0, d_7) = x_0, \\ D_{03}(x_1) &= \{d_3, d_4, d_8\}, t_{03}(x_1, d_3) = x_1, t_{03}(x_1, d_4) = x_2, t_{03}(x_1, d_8) = x_0, \\ D_{03}(x_2) &= \{d_5\}, t_{03}(x_2, d_5) = x_1. \end{aligned}$$

Rezultă că mulțimile X_{0i} ale stărilor accesibile sunt următoarele: $X_{00} = \{x_0\}$, $X_{01} = \{x_1, x_2\}$, $X_{02} = \{x_0, x_1, x_2\}$, $X_{03} = \{x_0, x_1, x_2\}$. Digraful secvențial $G = (N, \Gamma)$ este

definit în modul următor: $N = X_{00} \cup X_{01} \cup X_{02} \cup X_{03} = \{x_0, x_1, x_2\}$. Aplicația Γ este definită astfel:

Dacă $x \in X_{00}$ atunci $\Gamma(x) = \{x_1, x_2\}$ pentru $x = x_0$

Dacă $x \in X_{01}$ atunci

$$\Gamma(x) = \begin{cases} \{x_1, x_2\} & \text{pentru } x = x_1 \\ \{x_0, x_1\} & \text{pentru } x = x_2 \end{cases}$$

Dacă $x \in X_{02}$ atunci

$$\Gamma(x) = \begin{cases} \{x_0, x_1\} & \text{pentru } x = x_0 \\ \{x_0, x_1, x_2\} & \text{pentru } x = x_1 \\ \{x_1\} & \text{pentru } x = x_2 \end{cases}$$

Reprezentarea grafică a digrafului $G = (N, \Gamma)$ este prezentată în figura 1.17.

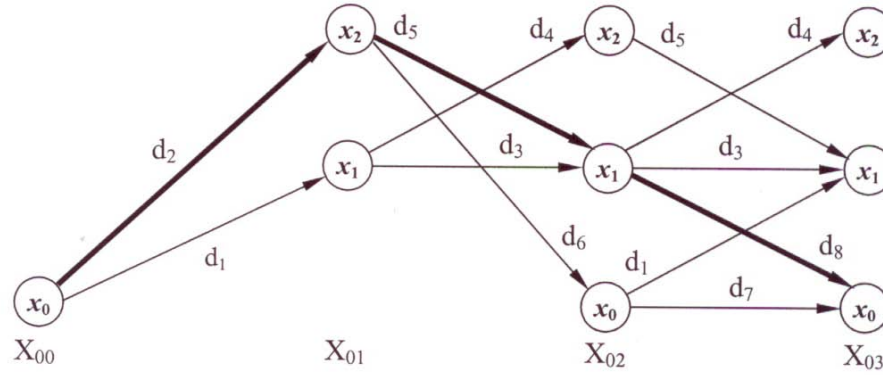


Fig.1.17

Drumul care corespunde stării inițiale x_0 și politicii (d_2, d_5, d_8) este trasat cu linie groasă.

Digraful secvențial $G = (N, \Gamma)$ asociat unui proces secvențial de decizii definit ca mai sus este un digraf dinamic care pune în evidență natura secvențială în timp a procesului. Se poate asocia procesului de decizii un alt digraf care este un digraf static și nu mai pune în evidență natura secvențială a procesului. În acest caz digraful static $G' = (N', \Gamma')$ se definește în modul următor.

$$N' = X, \Gamma'(x) = \{y | y \in X, y = t_0(x, d), d \in D_0(x)\}, x \in N'$$

$$t_0(x, d) = t_{0i}(x_{i-1}, d_i) = \dots = t_{0j}(x_{j-1}, d_j) \text{ dacă}$$

$$d = d_i = \dots = d_j, D_0(x) = \cup_{i=1}^n D_{0i}(x), x \in N'.$$

Exemplul 1.33. Se consideră sistemul S cu mulțimea stărilor X , mulțimea stărilor inițiale X_{00} , mulțimea deciziilor $D_{0i}(x)$ și transformările $t_{0i}(x, d)$ prezentate în exemplul 1.32. Reprezentarea grafică a digrafului $G' = (N', \Gamma')$ este prezentată în figura 1.18.

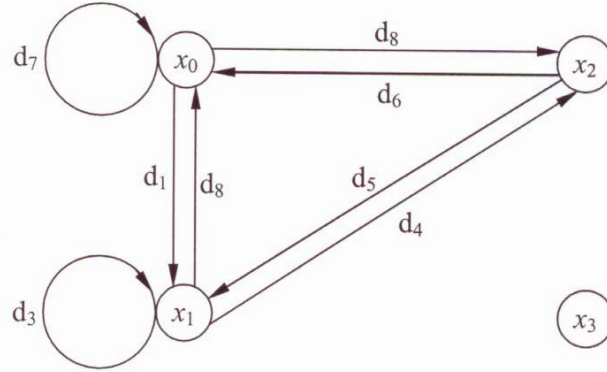


Fig. 1.18

Capitolul 2

Parcurgeri de grafuri

Problema parcurgerii unui digraf $G = (N, A)$, $N = \{1, \dots, n\}$, $A = \{1, \dots, m\}$ are următoarea formulare: să se genereze mulțimea $W \subset N$ a nodurilor y pentru care există drum de la un *nod sursă* dat s la nodul y în digraful G . Dacă există drum, în digraful G , de la nodul sursă s la nodul y atunci se spune că nodul y este *accesibil* din nodul s .

Algoritmii pe care îi vom prezenta pentru rezolvarea problemei parcurgerii unui digraf G sunt metode sistematice de *vizitare* a nodurilor y accesibile din s . Fiecare iterație a execuției oricărui algoritm de parcurgere stabilește pentru fiecare nod apartenența la una din următoarele trei *stări*:

- *nevizitat*;
- *vizitat și neanalizat*, adică un nod vizitat ai cărui succesori au fost parțial vizitați;
- *vizitat și analizat*, adică un nod vizitat ai cărui succesori au fost în totalitate vizitați.

Dacă nodul x este vizitat și neanalizat, există arc (x, y) și nodul y este nevizitat, atunci se poate *vizita* nodul y . În acest caz se spune că arcul (x, y) este arc *admisibil* și dacă nodul y este vizitat explorând arcul (x, y) se spune că nodul x este *predecesorul parcurgere* al nodului y .

În acest capitol se vor prezenta următorii algoritmi pentru parcurgerea unui digraf: algoritmul generic, algoritmul BF și algoritmul DF. Acești algoritmi utilizează următoarele notații comune:

- U mulțimea nodurilor nevizitate;
- V mulțimea nodurilor vizitate și neanalizate;
- W mulțimea nodurilor vizitate și analizate;
- p tabloul predecesor, care este unidimensional cu n elemente.

2.1 Parcurgerea generică a grafurilor

Se folosesc notațiile precizate mai sus și în plus notăm cu o *tabloul ordine* care este unidimensional și are n elemente.

Algoritmul parcurgerii generice (algoritmul PG) este următorul:

```

(1)  PROGRAM PG;
(2)  BEGIN
(3)     $U := N - \{s\}; V := \{s\}; W := \emptyset;$ 
(4)    FOR toți  $y \in N$  DO  $p(y) := 0;$ 
(5)     $k := 1; o(s) := 1;$ 
(6)    FOR toți  $y \in U$  DO  $o(y) := \infty;$ 
(7)    WHILE  $V \neq \emptyset$  DO
(8)      BEGIN
(9)        se selectează un nod  $x$  din  $V$ ;
(10)       IF există  $\text{arc}(x, y) \in A$  și  $y \in U$ 
(11)         THEN  $U := U - \{y\}; V := V \cup \{y\};$ 
            $p(y) := x; k := k + 1; o(y) := k$ 
(12)       ELSE  $V := V - \{x\}; W := W \cup \{x\};$ 
(13)     END;
(14)  END.

```

Teorema 2.1 *Algoritmul PG este convergent și la terminarea execuției determină mulțimea tuturor nodurilor care sunt accesibile din nodul sursă s în digraful $G = (N, A)$.*

Demonstrație Din liniile (10), (11) și (12) ale algoritmului rezultă că toate nodurile introduse în V sunt eliminate după ce sunt analizate. Deci după un număr finit de iterații se obține $V = \emptyset$ și execuția algoritmului se oprește. Pentru a arăta că la terminarea execuției, algoritmul determină mulțimea tuturor nodurilor care sunt accesibile din nodul sursă s în digraful $G = (N, A)$, trebuie să arătăm că la terminarea execuției algoritmului mulțimea W este:

$$W = \{y | y \in N \text{ și există drum de la } s \text{ la } y\}.$$

Din liniile (10), (11) și (12) ale algoritmului rezultă că în V sunt introduse numai noduri y care sunt accesibile din s și că după ce un nod $x \in V$ a fost analizat el este eliminat din V și introdus în W . Deoarece algoritmul se oprește când $V = \emptyset$ rezultă că W conține toate nodurile $y \in N$ care sunt accesibile din s și introduse în V . Să arătăm că W conține toate nodurile $y \in N$ care sunt accesibile din s . Prin reducere la absurd să presupunem că există un drum $D = (y_1, y_2, \dots, y_{k-1}, y_k)$ cu $y_1 = s$, $y_k = y$ în G și $y \notin W$. Rezultă că $y_k \notin V$. Deoarece $y_k \notin V$ și $(y_{k-1}, y_k) \in A$ deducem că $y_{k-1} \notin V$, astfel y_k ar fi fost introdus în V . Continuând procedeul vom deduce în final că $s = y_1 \notin V$. Aceasta contrazice faptul că în linia (3) a algoritmului inițializăm $V := \{s\}$. Rezultă că $y \in V$, deci $y \in W$ și teorema este demonstrată. ■

Teorema 2.2 *Algoritmul PG are complexitatea $O(m)$.*

Demonstrație Din liniile (10), (11) și (12) ale algoritmului rezultă că fiecare nod al digrafului G este introdus și eliminat din V cel mult o dată. Deoarece execuția algoritmului se termină când $V = \emptyset$ deducem că algoritmul execută cel mult $2n$ iterații. Fiecare arc $(x, y) \in A$ este explorat cel mult o dată pentru identificarea arcelor admisibile. Deci complexitatea algoritmului PG este $O(m + n) = O(m)$. ■

Un digraf $\hat{G} = (\hat{N}, \hat{A})$ se numește *arborescență* cu rădăcina s dacă este fără cicluri și $\hat{\rho}^-(s) = 0$, $\hat{\rho}^-(x) = 1$ pentru toate nodurile x din \hat{N} cu $x \neq s$.

Subgraful $G_p = (N_p, G_p)$ cu $N_p = \{y \in N \mid p(y) \neq 0\} \cup \{s\}$, $A_p = \{(p(y), y) \in A \mid y \in N_p - \{s\}\}$ se numește *subgraf predecesor* al digrafului $G = (N, A)$. Dacă $N_p = W$ și G_p este o arborescență atunci G_p se numește *arborescență parcurgere*. Arcele din A_p se numesc *arce arborescență*.

Teorema 2.3 *Algoritmul PG determină elementele tabloului p astfel încât subgraful predecesor $G_p = (N_p, A_p)$ este o arborescență parcurgere.*

Demonstrație Din liniile (10), (11) și (12) ale algoritmului rezultă că $p(y) := x$ numai dacă y este accesibil din s . Evident că la terminarea execuției algoritmului avem $N_p = W$. Din modul cum sunt definite N_p și A_p rezultă că G_p este o arborescență. Deci subgraful predecesor G_p este o arborescență parcurgere a digrafului $G = (N, A)$. ■

Observația 2.1. Mulțimea W este în general o submulțime a mulțimii nodurilor N . Pentru parcurgerea întregului digraf $G = (N, A)$ se utilizează algoritmul parcurgerii totale generice (algoritmul PTG). Algoritmul PTG este următorul:

```

(1)  PROGRAM PTG;
(2)  BEGIN;
(3)     $U := N - \{s\}$ ;  $V := \{s\}$ ;  $W := \emptyset$ ;
(4)    FOR toți  $y \in N$  DO  $p(y) := 0$ ;
(5)     $k := 1$ ;  $o(s) := 1$ ;
(6)    FOR toți  $y \in U$  DO  $o(y) := \infty$ ;
(7)    WHILE  $W \neq N$  DO
(8)      BEGIN
(9)        WHILE  $V \neq \emptyset$  DO
(10)       BEGIN
(11)         se selectează un nod  $x$  din  $V$ ;
(12)         IF există arc  $(x, y) \in A$  și  $y \in U$ 
(13)           THEN  $U := U - \{y\}$ ;  $V := V \cup \{y\}$ ;  $p(y) := x$ ;
(14)               $k := k + 1$ ;  $o(y) := k$ ;
(15)           ELSE  $V := V - \{x\}$ ;  $W := W \cup \{x\}$ ;
(16)         END;
(17)       se selectează  $s \in U$ ;  $U := U - \{s\}$ ;  $V := \{s\}$ ;
(18)            $k := k + 1$ ;  $o(s) := k$ ;
(19)       END;
(20)     END;
(21)  END.
```

Este evident că algoritmul PTG are complexitatea tot $O(m)$ și că vectorul p determină una sau mai multe arborescențe parcurgere.

Observația 2.2. Din modul cum se calculează $o(y) := k$, în linia (11) a algoritmului PG sau în liniile (13) sau (16) a algoritmului PTG, rezultă că y este al k -lea nod vizitat în parcurgerea digrafului $G = (N, A)$.

Observația 2.3. Algoritmul PG sau PTG poate fi aplicat și grafurilor neorientate. În acest caz subgraful predecesor $G_p = (N_p, A_p)$ este tot o arborescență sau mai multe arborescențe.

Observația 2.4. Drumul unic de la nodul sursă s la un nod y din arborescența parcurgere $G_p = (N_p, A_p)$ este furnizat de următoarea procedură:

```

(1)  PROCEDURA DRUM ( $G, s, y$ );
(2)  BEGIN;
(3)      se tipărește  $y$ ;
(4)      WHILE  $p(y) \neq 0$  DO
(5)      BEGIN
(6)           $x := p(y)$ ;
(7)          se tipărește  $x$ ;
(8)           $y := x$ 
(9)      END;
(10) END.

```

După ordinea de selectare și adăugare a nodurilor la mulțimea V se cunosc mai multe moduri de parcurgere a unui digraf $G = (N, A)$. Cele mai uzuale moduri de parcurgere sunt:

- parcurgerea se face ”mai întâi în lățime”, în engleză breadth first (BF);
- parcurgerea se face ”mai întâi în adâncime”, în engleză depth first (DF).

2.2 Parcurgerea BF a grafurilor

Fie digraful $G = (N, A)$ cu nodul sursă s și \mathcal{D}_x mulțimea drumurilor de la nodul sursă s la nodul $x \in N$. Numărul de arce ce compun un drum $D_x \in \mathcal{D}_x$ definește *lungimea* acestui drum pe care o notăm $l(D_x)$. *Distanța* de la nodul s la nodul x se definește în modul următor:

$$d(x) = \begin{cases} \min\{l(D_x) \mid D_x \in \mathcal{D}_x\} & \text{dacă } \mathcal{D}_x \neq \emptyset \\ \infty & \text{dacă } \mathcal{D}_x = \emptyset \end{cases}$$

Un drum $\hat{D}_x \in \mathcal{D}_x$ cu $l(\hat{D}_x) = d(x)$ se numește *cel mai scurt drum* de la nodul sursă s la nodul x .

Observația 2.5. Pentru orice arc $(x, y) \in A$ avem $d(y) \leq d(x) + 1$.

Într-adevăr dacă $\mathcal{D}_x = \emptyset$ atunci $d(x) = \infty$ și inegalitatea se păstrează. Dacă $\mathcal{D}_x \neq \emptyset$ atunci evident $\mathcal{D}_y \neq \emptyset$. Fie \hat{D}_x un cel mai scurt drum de la s la x , deci $l(\hat{D}_x) = d(x)$. Mulțimea \mathcal{D}_y poate conține un drum D_y astfel încât $l(D_y) < d(x) + 1$. Conform definiției distanței avem $d(y) \leq l(D_y)$ și rezultă că $d(y) < d(x) + 1$. Avem egalitate când un drum cel mai scurt \hat{D}_y de la s la y are lungimea $d(y) = l(\hat{D}_y) = d(x) + 1$, de exemplu $\hat{D}_y = \hat{D}_x \cup \{(x, y)\}$.

În algoritmul parcurgerii BF (algoritmul PBF) se folosesc aceleași notații ca în algoritmul PG cu deosebirea că în locul tabloului ordine o se utilizează tabloul lungime l care este unidimensional și are n elemente. Mulțimea nodurilor vizitate și neanalizate V este organizată, ca structură de date, ca o coadă.

Algoritmul PBF este următorul:

```

(1)  PROGRAM PBF;
(2)  BEGIN;
(3)     $U := N - \{s\}; V := \{s\}; W := \emptyset;$ 
(4)    FOR toți  $y \in N$  DO  $p(y) := 0;$ 
(5)     $l(s) := 0;$ 
(6)    FOR toți  $y \in U$  DO  $l(y) := \infty;$ 
(7)    WHILE  $V \neq \emptyset$  DO
(8)      BEGIN
(9)        se selectează cel mai vechi nod  $x$  introdus în  $V$ ;
(10)       FOR  $(x, y) \in A$  DO
(11)         IF  $y \in U$ 
(12)           THEN  $U := U - \{y\}; V := V \cup \{y\}; p(y) := x;$ 
               $l(y) := l(x) + 1;$ 
(13)        $V := V - \{x\}; W := W \cup \{x\};$ 
(14)     END;
(15)  END.

```

Teorema 2.4 (1) Algoritmul PBF calculează elementele tabloului l astfel încât $d(y) \leq l(y)$, $y \in N$;

(2) Dacă la iterația k oarecare a algoritmului PBF avem $V = \{x_1, \dots, x_r\}$ în această ordine, atunci $l(x_r) \leq l(x_1) + 1$ și $l(x_i) \leq l(x_{i+1})$, $i = 1, \dots, r - 1$.

Demonstrație (1) Utilizăm inducția după k numărul de iterații ale ciclului WHILE. Inițial $l(s) := 0$, $l(y) := \infty$ pentru $y \in U$ și evident $d(y) \leq l(y)$, $y \in N$. Presupunem că la iterația k avem $d(y) \leq l(y)$ pentru $y \in N$. La iterația $k + 1$ pot exista cazurile:

(c1) Există arc (x, y) admisibil ($(x, y) \in A$ și $y \in U$). În acest caz $l(y) = l(x) + 1$ și $d(y) \leq d(x) + 1 \leq l(x) + 1 = l(y)$ ($l(x)$ pentru $x \in V$ nu se modifică). Deci pentru toate arcele $(x, y) \in A$ și $y \in U$ avem $d(y) \leq l(y)$. Pentru celelalte noduri y , conform ipotezei inducției, avem $d(y) \leq l(y)$, deoarece la iterația $k + 1$ $l(y)$ nu se mai modifică.

(c2) Nu există arc (x, y) admisibil ($(x, y) \notin A$ sau $y \notin U$). În acest caz la iterația $k + 1$ nu se modifică nici un element $l(y)$ și conform ipotezei inducției $d(y) \leq l(y)$ pentru $y \in N$.

(2) Utilizăm inducția după k numărul de iterații ale ciclului WHILE. Inițial $V := \{s\}$. Deci $x_1 = s$, $x_r = s$ și $l(s) < l(s) + 1$, $l(s) = l(s)$. Presupunem că la iterația k avem $l(x_r) \leq l(x_1) + 1$ și $l(x_i) < l(x_{i+1})$, pentru $i = 1, \dots, r - 1$. La iterația $k + 1$ pot exista cazurile:

(c1) Există arc (x, y) admisibil ($(x, y) \in A$ și $y \in U$). În acest caz $V = \{x_1, \dots, x_r, x_{r+1}\}$, $x_1 = x$, $x_{r+1} = y$. Astfel $l(x_{r+1}) = l(y) = l(x) + 1 = l(x_1) + 1$. De asemenea, avem $l(x_r) \leq l(x_1) + 1 = l(x) + 1 = l(y) = l(x_{r+1})$ și inegalitățile $l(x_i) \leq l(x_{i+1})$, $i = 1, \dots, r - 1$ au rămas nemodificate.

(c2) Nu există arc (x, y) admisibil ($(x, y) \notin A$ sau $y \notin U$). În acest caz $V = \{x_2, \dots, x_r\}$. Avem $l(x_r) \leq l(x_1) + 1 \leq l(x_2) + 1$ și inegalitățile $l(x_i) \leq l(x_{i+1})$, $i = 1, \dots, r - 1$ au rămas nemodificate. ■

Teorema 2.5. Algoritmul PBF este convergent și determină:

(1) mulțimea tuturor nodurilor care sunt accesibile din nodul sursă s ;

(2) elementele tabloului l astfel încât $l(y) = d(y)$ pentru $y \in N$.

Demonstrație Convergența și punctul (1) se demonstrează la fel ca Teorema 2.1. Punctul (2) se demonstrează prin inducție după k numărul iterațiilor ciclului WHILE. Fie mulțimea $N_k = \{y \in N \mid d(y) = k\}$. Pentru $k = 0$ avem $N_0 = \{s\}$ și deci $d(s) = l(s) = 0$. Presupunem afirmația adevărată pentru k . Afirmația pentru $k + 1$ rezultă cu ușurință, deoarece, în conformitate cu Teorema 2.4 punctul (2), un nod $y \in N_{k+1}$ este vizitat plecând de la un nod $x \in N_k$ numai după ce toate nodurile din N_k sunt vizitate. Deci, dacă $y \in N_{k+1}$ și este vizitat explorând arcul (x, y) , $x \in N_k$, atunci, $l(y) = l(x) + 1 = d(x) + 1 = k + 1 = d(y)$. ■

Teorema 2.6. Algoritmul PBF are complexitatea $O(m)$.

Demonstrație Evident că algoritmul PBF are aceeași complexitate ca a algoritmului PG, adică $O(m)$. ■

În parcurgerea BF, dacă $N_p = W$ și subgraful predecesor $G_p = (N_p, A_p)$ este o arborescență atunci G_p se numește *arborescență parcurgere BF*.

Teorema 2.7. Algoritmul PBF determină elementele tabloului p astfel încât subgraful predecesor $G_p = (N_p, A_p)$ este o arborescență parcurgere BF.

Demonstrație Se demonstrează analog cu Teorema 2.3. ■

Observația 2.6. Algoritmul parcurgerii totale BF (algoritmul PTBF) se obține din algoritmul PBF analog cum s-a obținut algoritmul PTG din algoritmul PG.

Observația 2.7. Drumul unic de la nodul sursă s la un nod y din arborescența parcurgere BF este un cel mai scurt drum de la nodul sursă s la același nod y din digraful G , conform punctului (2) al Teoremei 2.5.

Observația 2.8. Algoritmul PBF sau PTBF se poate aplica și grafurilor neorientate. În acest caz subgraful predecesor $G_p = (N_p, A_p)$ este o arborescență sau mai multe arborescențe.

Observația 2.9. Drumul unic de la nodul sursă s la un nod y din arborescența parcurgere BF se poate determina cu PROCEDURA DRUM prezentată în Observația 2.4.

Exemplu 2.1. Se aplică algoritmul PBF digrafului din figura 2.1.

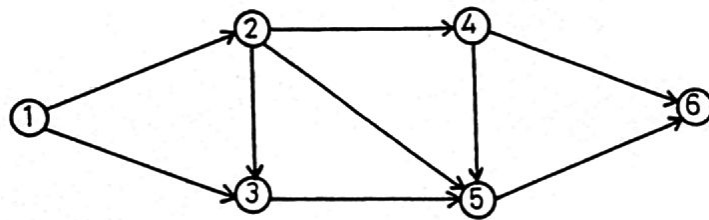


Fig.2.1

Inițializări: $s = 1$, $U = \{2, 3, 4, 5, 6\}$, $V = \{1\}$, $W = \emptyset$, $p = (0, 0, 0, 0, 0, 0)$, $l = (0, \infty, \infty, \infty, \infty, \infty)$.

Iterația 1: $x = 1$, $(1, 2) \in A$, $2 \in U$: $U = \{3, 4, 5, 6\}$, $V = \{1, 2\}$,

$p = (0, 1, 0, 0, 0, 0)$, $l = (0, 1, \infty, \infty, \infty, \infty)$; $(1, 3) \in A$,

$3 \in U$: $U = \{4, 5, 6\}$, $V = \{1, 2, 3\}$, $p = (0, 1, 1, 0, 0, 0)$,

$l = (0, 1, 1, \infty, \infty, \infty)$; $V = \{2, 3\}$; $W = \{1\}$.

Iterația 2: $x = 2$, $(2, 4) \in A$, $4 \in U$: $U = \{5, 6\}$, $V = \{2, 3, 4\}$,
 $p = (0, 1, 1, 2, 0, 0)$, $l = (0, 1, 1, 2, \infty, \infty)$; $(2, 5) \in A$,
 $5 \in U$: $U = \{6\}$, $V = \{2, 3, 4, 5\}$, $p = (0, 1, 1, 2, 2, 0)$,
 $l = (0, 1, 1, 2, 2, \infty)$; $V = \{3, 4, 5\}$; $W = \{1, 2\}$.
 Iterația 3: $x = 3$, $V = \{4, 5\}$, $W = \{1, 2, 3\}$.
 Iterația 4: $x = 4$, $(4, 6) \in A$, $6 \in U$: $U = \emptyset$, $V = \{4, 5, 6\}$,
 $p = (0, 1, 1, 2, 2, 4)$, $l = (0, 1, 1, 2, 2, 3)$; $V = \{5, 6\}$; $W = \{1, 2, 3, 4\}$.
 Iterația 5: $x = 5$, $V = \{6\}$, $W = \{1, 2, 3, 4, 5\}$.
 Iterația 6: $x = 6$, $V = \emptyset$, $W = \{1, 2, 3, 4, 5, 6\}$.
 $N_p = \{1, 2, 3, 4, 5, 6\} = W$.

Arborescența parcurgere BF este prezentată în figura 2.2.

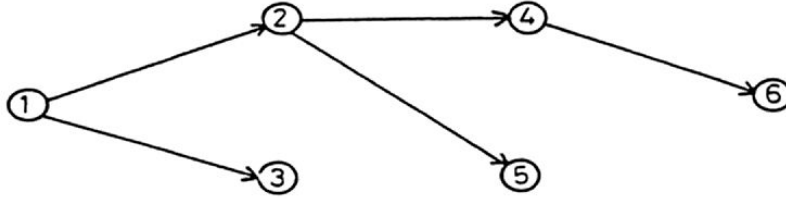


Fig.2.2

Drumul unic de la nodul 1 la nodul 6 se obține cu PROCEDURA DRUM în modul următor:

$y = 6$ este ultimul nod al drumului;

Iterația 1: $x = p(6) = 4$, $y = 4$.

Iterația 2: $x = p(4) = 2$, $y = 2$.

Iterația 3: $x = p(2) = 1$, $y = 1$.

Drumul este: 1, 2, 4, 6.

2.3 Parcurgerea DF a grafurilor

În algoritmul parcurgerii DF (algoritmul PDF) se folosesc aceleași notații ca în algoritmul PG cu deosebirea că în locul tabloului unidimensional *ordine* o se utilizează tablourile *timp* unidimensionale t_1 și t_2 care au fiecare n elemente. Mulțimea nodurilor vizitate și neanalizate V este organizată, ca structură de date, ca stivă.

Algoritmul PDF este următorul:

- (1) PROGRAM PDF;
- (2) BEGIN;
- (3) $U := N - \{s\}$; $V := \{s\}$; $W := \emptyset$;
- (4) FOR toți $y \in N$ DO $p(y) := 0$;
- (5) $t := 1$; $t_1(s) := 1$; $t_2(s) := \infty$;
- (6) FOR toți $y \in U$ DO $t_1(y) := \infty$; $t_2(y) := \infty$;

```

(7)   WHILE  $V \neq \emptyset$  DO
(8)   BEGIN
(9)       se selectează cel mai nou nod  $x$  introdus în  $V$ ;
(10)      IF există arc  $(x, y) \in A$  și  $y \in U$ 
(11)          THEN  $U := U - \{y\}$ ;  $V := V \cup \{y\}$ ;  $p(y) := x$ ;
               $t := t + 1$ ;  $t_1(y) := t$ 
(12)      ELSE  $V := V - \{x\}$ ;  $W := W \cup \{x\}$ ;  $t := t + 1$ ;  $t_2(x) := t$ ;
(13)  END;
(14)  END.

```

Din liniile (10), (11), (12) ale algoritmului PDF rezultă că elementul $t_1(y)$ reprezintă momentul când y devine nod vizitat și neanalizat și elementul $t_2(x)$ reprezintă momentul când x devine nod vizitat și analizat.

Deoarece algoritmul parcurgerii totale DF (algoritmul PTDF) are multiple aplicații, se va studia în continuare acest algoritm.

Algoritmul PTDF este următorul:

```

(1)   PROGRAM PTDF;
(2)   BEGIN;
(3)        $U := N - \{s\}$ ;  $V := \{s\}$ ;  $W := \emptyset$ ;
(4)       FOR toți  $y \in N$  DO  $p(y) := 0$ ;
(5)        $t := 1$ ;  $t_1(s) := 1$ ;  $t_2(s) := \infty$ ;
(6)       FOR toți  $y \in U$  DO  $t_1(y) := \infty$ ;  $t_2(y) := \infty$ ;
(7)       WHILE  $W \neq N$  DO
(8)       BEGIN
(9)           WHILE  $V \neq \emptyset$  DO
(10)          BEGIN
(11)              se selectează cel mai nou nod  $x$  introdus în  $V$ ;
(12)              IF există arc  $(x, y) \in A$  și  $y \in U$ 
(13)                  THEN  $U := U - \{y\}$ ;  $V := V \cup \{y\}$ ;  $p(y) := x$ ;
                       $t := t + 1$ ;  $t_1(y) := t$ 
(14)              ELSE  $V := V - \{x\}$ ;  $W := W \cup \{x\}$ ;
                       $t := t + 1$ ;  $t_2(x) := t$ ;
(15)          END;
(16)          se selectează  $s \in U$ ;  $U := U - \{s\}$ ;  $V := \{s\}$ ;
                       $t := t + 1$ ;  $t_1(s) := t$ ;
(17)      END;
(18)  END.

```

Fie mulțimea $S = \{s \mid s \in N, s \text{ selectate în linia (3) și linia (16)}\}$.

Teorema 2.8. *Algoritmul PTDF este convergent și determină mulțimile nodurilor accesibile din s , $s \in S$.*

Demonstrație. Se demonstrează la fel ca Teorema 2.1.■

Teorema 2.9 *Algoritmul PTDF are complexitatea $O(m)$.*

Demonstrație. Evident că algoritmul PTDF are aceeași complexitate ca a algoritmului PTG, adică $O(m)$. ■

Un digraf $\hat{G} = (\hat{N}, \hat{A})$ se numește *pădure* dacă este format din una sau mai multe arborescențe. Un graf neorientat $\hat{G} = (\hat{N}, \hat{A})$ se numește *pădure* dacă este format din unul sau mai mulți arbori.

În parcurgerea totală DF, dacă subgraful predecesor $G_p = (N_p, A_p)$, $N_p = \{y \mid p(y) \neq 0 \cup S$, $A_p = \{(p(y), y) \mid y \in N_p - S\}$ este o pădure și $N_p = W$, atunci G_p se numește *pădure parcurgere DF*.

Teorema 2.10. Algoritmul PTDF determină elementele tabloului p astfel încât subgraful predecesor $G_p = (N_p, A_p)$ este o pădure parcurgere DF.

Demonstrație. Se demonstrează analog ca Teorema 2.3. ■

Teorema 2.11. În orice parcurgere totală DF a unui digraf $G = (N, A)$ pentru oricare două noduri x și y , una din următoarele trei condiții este îndeplinită:

- (c1) intervalele $[t_1(x), t_2(x)]$ și $[t_1(y), t_2(y)]$ sunt disjuncte;
- (c2) intervalul $[t_1(x), t_2(x)]$ include strict intervalul $[t_1(y), t_2(y)]$ și x este un ascendent al lui y în pădurea parcurgere DF;
- (c3) intervalul $[t_1(x), t_2(x)]$ este inclus strict în intervalul $[t_1(y), t_2(y)]$ și x este un descendent al lui y în pădurea parcurgere DF.

Demonstrație. Există patru posibilități de considerat:

- (p1) $t_1(x) < t_1(y)$ și $t_2(x) < t_1(y)$. Rezultă $t_1(x) < t_2(x) < t_1(y) < t_2(y)$, adică (c1).
- (p2) $t_1(x) < t_1(y)$ și $t_2(x) > t_1(y)$. Rezultă că x este mai vechi decât y în V și deci x va fi introdus după y în W . Evident că x este ascendent al lui y în pădurea parcurgere DF și $t_2(x) > t_2(y)$, adică (c2).
- (p3) $t_1(x) > t_1(y)$ și $t_1(x) > t_2(y)$. Rezultă $t_1(y) < t_2(y) < t_1(x) < t_2(x)$, adică (c1).
- (p4) $t_1(x) > t_1(y)$ și $t_1(x) < t_2(y)$. Rezultă că x este mai nou decât y în V și deci x va fi introdus înaintea lui y în W . Evident că x este descendent al lui y în pădurea parcurgere DF și $t_2(x) < t_2(y)$, adică (c3). ■

Parcurgerea totală DF poate fi utilizată la clasificarea arcelor digrafului $G = (N, A)$ în raport cu pădurea parcurgere DF. În această clasificare există două clase de arce:

- arce arborescență;
- arce nonarborescență.

Mulțimea *arcelor arborescență*, notată P , este $P = A_p$. Aceste arce introduc, în timpul parcurgerii totale DF a digrafului $G = (N, A)$, noduri în mulțimea nodurilor vizitate și neanalizate V . Mulțimea *arcelor nonarborescență*, notată \bar{P} , este $\bar{P} = A - A_p$. Aceste arce introduc, în timpul parcurgerii totale DF a digrafului $G = (N, A)$, noduri în mulțimea nodurilor vizitate și analizate W .

Clasa arcelor nonarborescență \bar{P} este alcătuită din trei subclase:

- arce de înaintare;
- arce de revenire;
- arce de traversare.

Mulțimea arcelor de *înaintare*, notată I , este alcătuită din acele arce (x, y) pentru care nodul x este un ascendent al nodului y în pădurea parcurgere DF. Mulțimea *arcelor de revenire*, notată R , este alcătuită din acele arce (x, y) pentru care nodul x este un descendent al nodului y în pădurea parcurgere DF. Mulțimea *arcelor de traversare*,

notată T , este alcătuită din acele arce (x, y) pentru care nodul x nu este nici ascendent nici descendent al nodului y în pădurea parcurgere DF. Aceste trei mulțimi de arce nonarborescentă sunt disjuncte două câte două și $\bar{P} = I \cup R \cup T$.

Teorema 2.12. Într-o parcurgere totală DF a unui digraf $G = (N, A)$, arcul (x, y) este:

(1) un arc arborescentă sau de înaintare dacă și numai dacă $t_1(x) < t_1(y) < t_2(y) < t_2(x)$;

(2) un arc de revenire dacă și numai dacă $t_1(y) < t_1(x) < t_2(x) < t_2(y)$;

(3) un arc de traversare dacă și numai dacă $t_1(y) < t_2(y) < t_1(x) < t_2(x)$.

Demonstrație. Rezultă din Teorema 2.11 și definițiile clasificării arcelor. ■

Observația 2.10. Algoritmul PDF sau PTDF se poate aplica și grafurilor neorientate. În acest caz subgraful predecesor $G_p = (N_p, A_p)$ este tot o arborescență respectiv o pădure. Într-o parcurgere totală DF a unui graf neorientat $G = (N, A)$ avem $I = \emptyset$ și $T = \emptyset$. Într-adevăr, fie $[x, y] \in A$ și presupunem fără a restrânge generalitatea că $t_1(x) < t_1(y)$. În acest caz, nodul x este introdus înainte de nodul y în V și după nodul y în W . Dacă muchia $[x, y]$ este explorată de la x la y , atunci $[x, y]$ devine un arc arbore (x, y) . Dacă muchia $[x, y]$ este explorată de la y la x , atunci muchia $[x, y]$ devine un arc de revenire (y, x) , deoarece x este nod vizitat la acest timp.

Exemplul 2.2. Se aplică algoritmul PTDF digrafului reprezentat în figura 2.3.

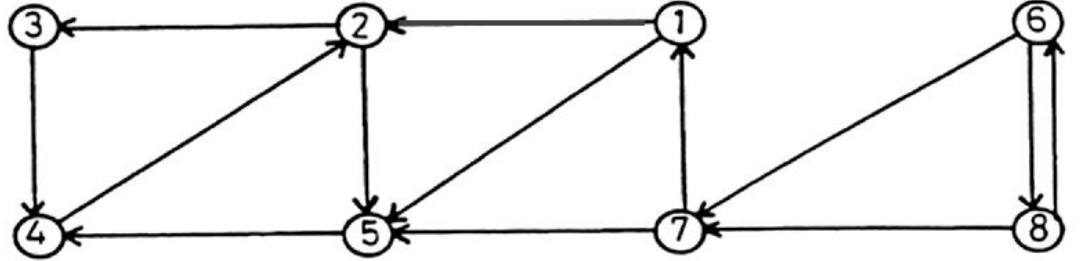


Fig.2.3

Inițializări: $s = 1, U = \{2, 3, 4, 5, 6, 7, 8\}, V = \{1\}, W = \emptyset$,

$p = (0, 0, 0, 0, 0, 0, 0, 0), t = 1, t_1 = (1, \infty, \infty, \infty, \infty, \infty, \infty, \infty),$

$t_2 = (\infty, \infty, \infty, \infty, \infty, \infty, \infty, \infty).$

Iterația 1: $x = 1, (1, 2) \in A, 2 \in U : U = \{3, 4, 5, 6, 7, 8\}, V = \{1, 2\},$

$p = (0, 1, 0, 0, 0, 0, 0, 0), t = 2, t_1 = (1, 2, \infty, \infty, \infty, \infty, \infty, \infty).$

Iterația 2: $x = 2, (2, 3) \in A, 3 \in U : U = \{4, 5, 6, 7, 8\}, V = \{1, 2, 3\},$

$p = (0, 1, 2, 0, 0, 0, 0, 0), t = 3, t_1 = (1, 2, 3, \infty, \infty, \infty, \infty, \infty).$

Iterația 3: $x = 3, (3, 4) \in A, 4 \in U : U = \{5, 6, 7, 8\}, V = \{1, 2, 3, 4\},$

$p = (0, 1, 2, 3, 0, 0, 0, 0), t = 4, t_1 = (1, 2, 3, 4, \infty, \infty, \infty, \infty).$

Iterația 4: $x = 4 : V = \{1, 2, 3\}, W = \{4\}, t = 5, t_2 = (\infty, \infty, \infty, 5, \infty, \infty, \infty, \infty).$

Iterația 5: $x = 3 : V = \{1, 2\}, W = \{4, 3\}, t = 6, t_2 = (\infty, \infty, 6, 5, \infty, \infty, \infty, \infty).$

Iterația 6: $x = 2, (2, 5) \in A, 5 \in U : U = \{6, 7, 8\}, V = \{1, 2, 5\}, p = (0, 1, 2, 3, 2, 0, 0, 0), t = 7, t_1 = (1, 2, 3, 4, 7, \infty, \infty, \infty).$

Iterația 7: $x = 5 : V = \{1, 2\}, W = \{4, 3, 5\}, t = 8, t_2 = (\infty, \infty, 6, 5, 8, \infty, \infty, \infty)$.
 Iterația 8: $x = 2 : V = \{1\}, W = \{4, 3, 5, 2\}, t = 9, t_2 = (\infty, 9, 6, 5, 8, \infty, \infty, \infty)$.
 Iterația 9: $x = 1 : V = \emptyset, W = \{4, 3, 5, 2, 1\}, t = 10, t_2 = (10, 9, 6, 5, 8, \infty, \infty, \infty)$.
 Actualizări: $s = 6, U = \{7, 8\}, V = \{6\}, t = 11, t_1 = (1, 2, 3, 4, 7, 11, \infty, \infty)$
 Iterația 10: $x = 6, (6, 7) \in A, 7 \in U : U = \{8\}, V = \{6, 7\}, p = (0, 1, 2, 3, 2, 0, 6, 0),$
 $t = 12, t_1 = (1, 2, 3, 4, 7, 11, 12, \infty)$.
 Iterația 11: $x = 7 : V = \{6\}, W = \{4, 3, 5, 2, 1, 7\}, t = 13, t_2 = (10, 9, 6, 5, 8, \infty, 13, \infty)$.
 Iterația 12: $x = 6, (6, 8) \in A, 8 \in U : U = \emptyset, V = \{6, 8\}, p = (0, 1, 2, 3, 2, 0, 6, 6),$
 $t = 14, t_1 = (1, 2, 3, 4, 7, 11, 12, 14)$.
 Iterația 13: $x = 8 : V = \{6\}, W = \{4, 3, 5, 2, 1, 7, 8\}, t = 15, t_2 = (10, 9, 6, 5, 8, \infty, 13, 15)$.
 Iterația 14: $x = 6 : V = \emptyset, W = \{4, 3, 5, 2, 1, 7, 8, 6\}, t = 16, t_2 = (10, 9, 6, 5, 8, 16, 13, 15)$.

În figura 2.4 se prezintă pădurea parcurgere DF formată din două arborescențe parcurgere DF și se prezintă intervalele $[t_1(x), t_2(x)]$.

Fiecare dreptunghi în care este înscris un nod x acoperă intervalul $[t_1(x), t_2(x)]$.
 Tabloul predecesor este $p = (0, 1, 2, 3, 2, 0, 6, 6)$.

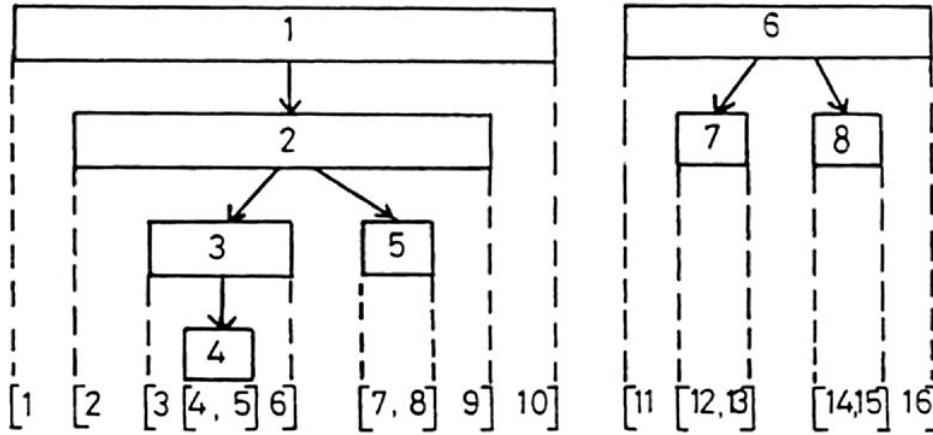


Fig.2.4

În figura 2.5 se prezintă redesenat graful din figura 2.3. Toate arcele arbore și de înaintare sunt orientate de sus în jos. Pe fiecare arc se specifică clasa la care aparține.

2.4 Aplicații

2.4.1 Sortarea topologică

Teorema 2.13. *Un digraf $G = (N, A)$ este fără circuite dacă și numai dacă orice parcurgere totală DF a lui G nu produce arce de revenire.*

Demonstrație. Presupunem că digraful G este fără circuite. Prin reducere la absurd presupunem că o parcurgere totală DF a lui G produce arce de revenire ($R \neq \emptyset$). Fie arcul $(z, x) \in R$. În acest caz nodul z este un descendent al nodului x în pădurea parcurgere DF. Deci există un drum D de la x la z în G . Atunci $\overset{\circ}{D} = D \cup \{z, x\}$ este un circuit în G și aceasta contrazice ipoteza că digraful G este fără circuite.

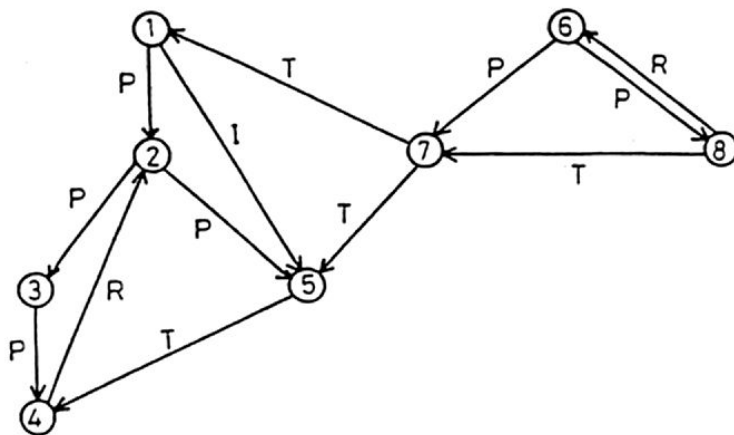


Fig. 2.5

Reciproc, presupunem că o parcurgere totală DF a digrafului G nu produce arce de revenire ($R = \emptyset$). Prin reducere la absurd presupunem că G conține un circuit $\overset{\circ}{D}$. Fie x primul nod vizitat din $\overset{\circ}{D}$ și fie arcul $(z, x) \in \overset{\circ}{D}$. Deoarece nodurile $x, z \in \overset{\circ}{D}$ rezultă faptul că există un drum D de la x la z . De asemenea x fiind primul nod vizitat din $\overset{\circ}{D}$ rezultă că nodul z devine un descendent al nodului x la pădurea PDF. Deci (z, x) este un arc de revenire ce contrazice ipoteza $R = \emptyset$. ■

Sortarea topologică a unui digraf $G = (N, A)$ fără circuite constă într-o ordonare liniară a nodurilor din N astfel încât dacă $(x, y) \in A$ atunci x apare înaintea lui y în ordonare.

Algoritmul sortare topologică (algoritmul ST) se obține din algoritmul PTDF făcând următoarele două completări:

- (1) în partea de inițializări (liniile (3)-(6)) se inițializează o listă a nodurilor;
- (2) în linia (16) după calculul lui $t_2(x)$, nodul x se introduce la începutul listei.

La terminarea algoritmului ST, lista furnizează sortarea topologică a digrafului $G = (N, A)$ fără circuite și nodurile x sunt plasate în listă în ordinea des-crescătoare a timpilor $t_2(x)$.

2.4.2 Componentele conexe ale unui graf

Definiția 2.1 Un digraf $G = (N, A)$ se numește *slab conex* sau *conex* dacă pentru oricare două noduri diferite x, y există un lanț care are aceste două noduri drept extremități.

Noțiunea de conexitate are sens și pentru grafuri neorientate.

Definiția 2.2. Se numește *componentă conexă* a unui digraf $G = (N, A)$ un subgraf $G' = (N', A')$ al lui G , care este conex și care este maximal în raport cu incluziunea față de această proprietate (oricare ar fi $x \in \overline{N'} = N - N'$, subgraful G'_x generat de $N'_x = N' \cup \{x\}$ nu este conex).

O componentă conexă $G' = (N', A')$ a unui digraf $G = (N, A)$ se poate identifica cu mulțimea N' care generează subgraful G' .

Deoarece în problema conexității sensul arcelor nu contează se va considera că grafurile sunt neorientate. Dacă $G = (N, A)$ este digraf atunci i se asociază graful neorientat $\hat{G} = (\hat{N}, \hat{A})$, unde $\hat{N} = N$, $\hat{A} = \{[x, y] \mid (x, y) \in A \text{ și } / \text{sau } (y, x) \in A\}$. Este evident că G și \hat{G} au aceleași componente conexe.

Algoritmul componentelor conexe (algoritmul CC) este o adaptare a algoritmului PTDF aplicat unui graf neorientat $G = (N, A)$. Nu se calculează tablourile timp t_1, t_2 și prin p notăm o variabilă scalară a cărei valoare reprezintă numărul componentelor conexe. Algoritmul CC este următorul:

```

(1)  PROGRAM CC;
(2)  BEGIN
(3)     $U := N - \{s\}; V := \{s\}; W := \emptyset; p := 1; N' = \{s\};$ 
(4)    WHILE  $W \neq N$  DO
(5)      BEGIN
(6)        WHILE  $V \neq \emptyset$  DO
(7)          BEGIN
(8)            se selectează cel mai nou nod  $x$  introdus în  $V$ ;
(9)            IF există muchie  $[x, y] \in A$  și  $y \in U$ 
(10)              THEN  $U := U - \{y\}; V := V \cup \{y\}; N' := N' \cup \{y\}$ 
(11)              ELSE  $V := V - \{x\}; W := W \cup \{x\};$ 
(12)            END;
(13)          se tipăresc  $p$  și  $N'$ ;
(14)          se selectează  $s \in U; U := U - \{s\}; V := \{s\}; p := p + 1;$ 
               $N' := \{s\};$ 
(15)        END;
(16)  END.
```

La terminarea algoritmului pot exista cazurile:

(c1) se tipărește o singură componentă conexă și în acest caz graful $G = (N, A)$ este conex;

(c2) se tipăresc mai multe componente conexe și în acest caz graful $G = (N, A)$ nu este conex, obținându-se toate componentele conexe ale lui G .

Teorema 2.14. *Algoritmul CC determină componentele conexe ale unui graf neorientat $G = (N, A)$.*

Demonstrație. La terminarea execuției ciclului WHILE se determină mulțimea N' a tuturor nodurilor accesibile printr-un lanț cu aceeași extremitate, nodul s . Mulțimea N' generează evident o componentă conexă $G' = (N', A')$. Deoarece la terminarea execuției algoritmului avem $W = N$ rezultă că algoritmul CC determină toate componentele conexe ale lui $G = (N, A)$. ■

Teorema 2.15. *Algoritmul CC are complexitatea $O(m)$.*

Demonstrație. Algoritmul CC are aceeași complexitate cu a algoritmului PTDF, adică $O(m)$. ■

Exemplul 2.3. Fie digraful din figura 2.6. Pentru a determina componentele conexe ale acestui digraf se transformă într-un graf neorientat reprezentat în figura 2.7 căruia i se aplică algoritmul CC.

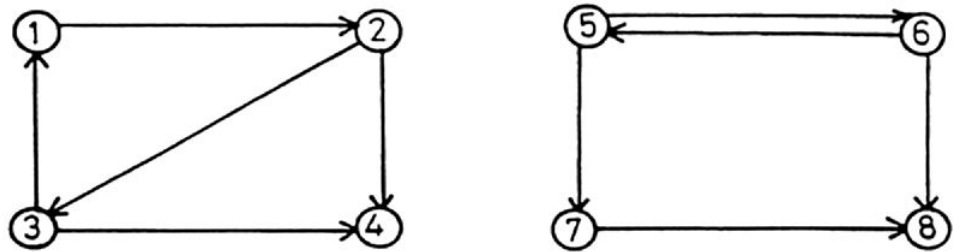


Fig.2.6

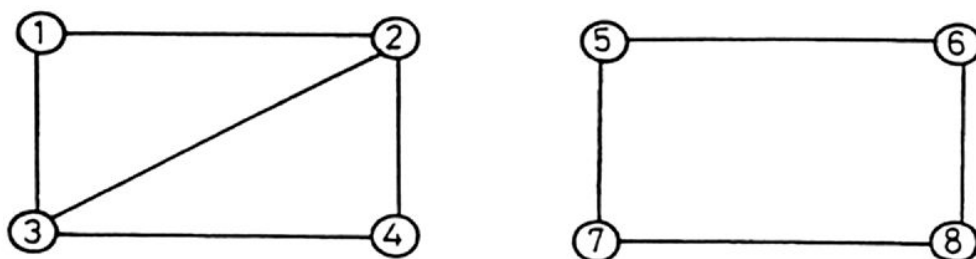


Fig.2.7

Inițializări: $s = 1, U = \{2, 3, 4, 5, 6, 7, 8\}, V = \{1\}, W = \emptyset, p = 1, N' = \{1\}$.

Iterația 1: $x = 1, [1, 2] \in A, 2 \in U : U = \{3, 4, 5, 6, 7, 8\}, V = \{1, 2\}, N' = \{1, 2\}$.

Iterația 2: $x = 2, [2, 3] \in A, 3 \in U : U = \{4, 5, 6, 7, 8\}, V = \{1, 2, 3\}, N' = \{1, 2, 3\}$.

Iterația 3: $x = 3, [3, 4] \in A, 4 \in U : U = \{5, 6, 7, 8\}, V = \{1, 2, 3, 4\}, N' = \{1, 2, 3, 4\}$.

Iterația 4: $x = 4 : V = \{1, 2, 3\}, W = \{4\}$.

Iterația 5: $x = 3 : V = \{1, 2\}, W = \{4, 3\}$.

Iterația 6: $x = 2, V = \{1\}, W = \{4, 3, 2\}$.

Iterația 7: $x = 1 : V = \emptyset, W = \{4, 3, 2, 1\}$.

Se tipăresc $p = 1$ și $N' = \{1, 2, 3, 4\}$

Actualizări: $s = 5, U = \{6, 7, 8\}, V = \{5\}, p = 2, N' = \{5\}$.

Iterația 8: $x = 5, [5, 6] \in A, 6 \in U : U = \{7, 8\}, V = \{5, 6\}, N' = \{5, 6\}$.

Iterația 9: $x = 6, [6, 8] \in A, 8 \in U : U = \{7\}, V = \{5, 6, 8\}, N' = \{5, 6, 8\}$.

Iterația 10: $x = 6, [8, 7] \in A, 7 \in U : U = \emptyset, V = \{5, 6, 8, 7\}, N' = \{5, 6, 8, 7\}$.

Iterația 11: $x = 7 : V = \{5, 6, 8\}, W = \{4, 3, 2, 1, 7\}$.

După încă trei iterații se obține $V = \emptyset, W = \{4, 3, 2, 1, 7, 8, 6, 5\}$ se tipăresc $p = 2, N' = \{5, 6, 8, 7\}$ și execuția algoritmului se oprește.

2.4.3 Componentele tare conexes ale unui graf

Definiția 2.3 Un digraf $G = (N, A)$ se numește *tare conex* dacă pentru oricare două noduri x, y există un drum de la x la y și un drum de la y la x .

Noțiunea de tare conexitate are sens numai pentru grafuri orientate.

Definiția 2.4. Se numește *componentă tare conexă* a unui digraf $G = (N, A)$ un subgraf $G' = (N', A')$ al lui G care este tare conex și care este maximal în raport cu incluziunea față de această proprietate (oricare ar fi $x \in \overline{N'} = N - N'$, subgraful G'_x generat de $N'_x = N' \cup \{x\}$ nu este tare conex).

O componentă tare conexă $G' = (N', A')$ a unui digraf $G = (N, A)$ se poate identifica cu mulțimea N' care generează subgraful G' .

Definiția 2.5. Se numește *digraf condensat* asociat digrafului $G = (N, A)$ digraful $\hat{G} = (\hat{N}, \hat{A})$, $\hat{N} = \{N'_1, \dots, N'_p\}$, $\hat{A} = \{(N'_i, N'_j) \mid N'_i, N'_j \in \hat{N}, \text{ există } (x, y) \in A \text{ cu } x \in N'_i, y \in N'_j\}$, unde N'_1, \dots, N'_p sunt componentele tare conexe ale digrafului $G = (N, A)$.

Algoritmul componentelor tare conexe (algoritmul CTC) este următorul:

- (1) PROGRAM CTC;
- (2) BEGIN
- (3) PROCEDURA PTDF(G);
- (4) PROCEDURA INVERSARE(G);
- (5) PROCEDURA PTDF(G^{-1});
- (6) PROCEDURA SEPARARE(G^{-1});
- (7) END.

Procedurile din program rezolvă următoarele probleme:

PROCEDURA PTDF(G) aplică algoritmul PTDF digrafului G ;

PROCEDURA INVERSARE(G) determină inversul G^{-1} al digrafului G ;

PROCEDURA PTDF(G^{-1}) aplică algoritmul PTDF digrafului G^{-1} , unde nodul s este selectat întotdeauna astfel încât $t_2(s) > t_2(x)$, $x \in U^{-1} - \{s\}$ cu t_2 calculat în PROCEDURA PTDF(G);

PROCEDURA SEPARARE(G^{-1}) extrage nodurile fiecărei arborescențe parcurgere DF din pădurea parcurgere DF obținută în PROCEDURA PTDF (G^{-1}) pentru separarea componentelor tare conexe.

Se spune că nodul $r(x) \in N$ este *ascendent rădăcină* al nodului x în parcurgerea totală DF a digrafului $G = (N, A)$ dacă $r(x)$ este accesibil din x și $t_2(r(x)) = \max\{t_2(z) \mid z \text{ este accesibil din } x\}$.

Teorema 2.16. În oricare parcurgere totală DF a unui digraf $G = (N, A)$:

(1) toate nodurile din aceeași componentă tare conexă aparțin la aceeași arborescență a pădurii parcurgere DF;

(2) pentru orice nod $x \in N$, ascendentul rădăcină $r(x)$ este un ascendent al lui x în pădurea parcurgere DF și nodurile $x, r(x)$ se găsesc în aceeași componentă tare conexă.

Demonstrație. Se recomandă cititorului comentariile bibliografice din acest capitol. ■

Teorema 2.17. Algoritmul CTC determină componentele tare conexe ale unui digraf $G = (N, A)$.

Demonstrație. Se bazează pe Teorema 2.16. ■

Teorema 2.18. Algoritmul CTC are complexitatea $O(m)$.

Demonstrație. Algoritmul CTC are aceeași complexitate cu a algoritmului PTDF, adică $O(m)$. ■

Exemplul 2.4. Fie digraful din figura 2.8. Pentru a determina componentele tare conexe ale acestui digraf se aplică algoritmul CTC.

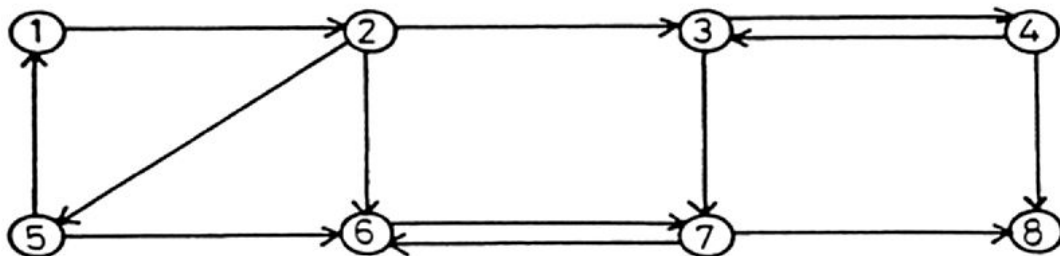


Fig.2.8

PROCEDURA PTDF determină $p = (5, 0, 0, 3, 2, 7, 3, 7)$, $t_1 = (13, 11, 1, 8, 12, 3, 2, 5)$, $t_2 = (14, 16, 10, 9, 15, 4, 7, 6)$. Inițial $s = 3$ și apoi $s = 2$.

PROCEDURA INVERSARE determină inversul G^{-1} al digrafului G și este reprezentat în figura 2.9.

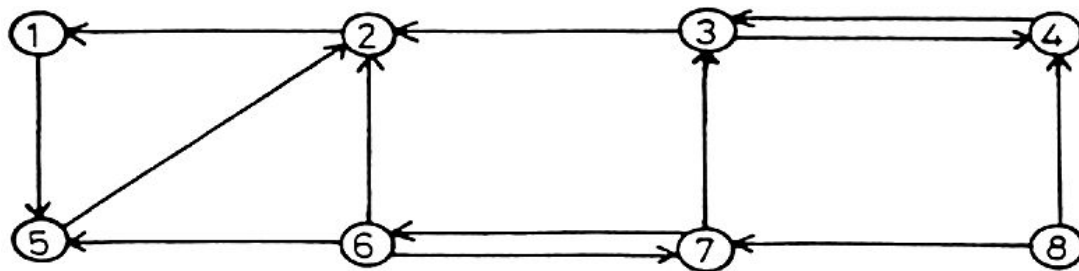


Fig.2.9

PROCEDURA PTDF aplicată digrafului G^{-1} determină: $p^{-1} = (2, 0, 0, 3, 1, 7, 0, 0)$, $t_1^{-1} = (2, 1, 7, 8, 3, 12, 11, 15)$, $t_2^{-1} = (5, 6, 10, 9, 4, 13, 14, 16)$ și nodurile s au fost selectate astfel încât $t_2(s) > t_2(t)$, $x \in U^{-1} - \{s\}$.

PROCEDURA SEPARARE determină componentele tare conexe reprezentate ca noduri ale digrafului condensat $\hat{G} = (\hat{N}, \hat{A})$, din figura 2.10.



Fig.2.10

Capitolul 3

Arbori și arborescențe

3.1 Cicluri și arbori

În acest paragraf se va lucra cu cicluri și cicluri elementare.

Fie digraful $G = (N, A)$ cu $N = \{1, \dots, n\}$ și $A = \{a_1, \dots, a_m\}$. Pentru un ciclu $\overset{\circ}{L}$ vom nota cu $\overset{\circ}{L}^+$ mulțimea arcelor directe și prin $\overset{\circ}{L}^-$ mulțimea arcelor inverse ale ciclului. Unui ciclu $\overset{\circ}{L}$ i se poate asocia un vector $\overset{\circ}{l} = (\overset{\circ}{e}_1, \dots, \overset{\circ}{e}_m)$, unde

$$\overset{\circ}{e}_i = \begin{cases} -1 & \text{dacă } a_i \in \overset{\circ}{L}^-, \\ 1 & \text{dacă } a_i \in \overset{\circ}{L}^+, \\ 0 & \text{dacă } a_i \notin \overset{\circ}{L} \end{cases}$$

În acest paragraf un ciclu $\overset{\circ}{L}$ va fi identificat uneori cu vectorul $\overset{\circ}{l}$ pe care îl definește, iar orice sumă de cicluri $\overset{\circ}{L}_1 + \dots + \overset{\circ}{L}_s$ va fi suma lor vectorială $\overset{\circ}{l}_1 + \dots + \overset{\circ}{l}_s$.

Teorema 3.1. *Orice ciclu $\overset{\circ}{L}$ al digrafului $G = (N, A)$ este o sumă de cicluri elementare fără arce comune.*

Demonstrație. Când se parcurge ciclul $\overset{\circ}{L}$ se obțin cicluri elementare $\overset{\circ}{L}_i$ ($i = 1, \dots, s'$), de fiecare dată când se ajunge într-un nod deja întâlnit. Ciclurile elementare nu au arce comune deoarece ciclul $\overset{\circ}{L}$ nu are arce care se repetă. ■

Definiția 3.1. Se spune că ciclurile $\overset{\circ}{l}_1, \dots, \overset{\circ}{l}_s$ sunt *independente* dacă egalitatea $r_1 \overset{\circ}{l}_1 + \dots + r_s \overset{\circ}{l}_s = 0$ cu r_1, \dots, r_s numere reale implică $r_1 = r_2 = \dots = r_s = 0$, altfel se spune că ciclurile $\overset{\circ}{l}_1, \dots, \overset{\circ}{l}_s$ sunt *dependente*.

Definiția 3.2. Se spune că ciclurile $\overset{\circ}{l}_1, \dots, \overset{\circ}{l}_s$ formează o *bază* de cicluri dacă sunt cicluri elementare independente și oricare alt ciclu $\overset{\circ}{l}$ se poate exprima sub forma $\overset{\circ}{l} = r_1 \overset{\circ}{l}_1 + \dots + r_s \overset{\circ}{l}_s$ cu r_1, \dots, r_s numere reale.

Numărul s al ciclurilor care formează o bază este *dimensiunea* subspațiului liniar $S_{\overset{\circ}{l}}$ al lui \mathfrak{R}^m generat de ciclurile digrafului $G = (N, A)$.

Exemplul 3.1. Fie digraful din figura 3.1. Ciclul $\overset{\circ}{L} = (a_1, a_4, a_9, a_8, a_7, a_6)$ este suma ciclurilor elementare fără arce comune $\overset{\circ}{L}_1 = (a_1, a_4, a_6)$ și $\overset{\circ}{L}_2 = (a_9, a_8, a_7)$ sau $\overset{\circ}{l} = \overset{\circ}{l}_1 + \overset{\circ}{l}_2$ cu $\overset{\circ}{l} = (1, 0, 0, 1, 0, 1, 1, -1, -1)$, $\overset{\circ}{l}_1 = (1, 0, 0, 1, 0, 1, 0, 0, 0)$, $\overset{\circ}{l}_2 = (0, 0, 0, 0, 0, 0, 1, -1, -1)$.

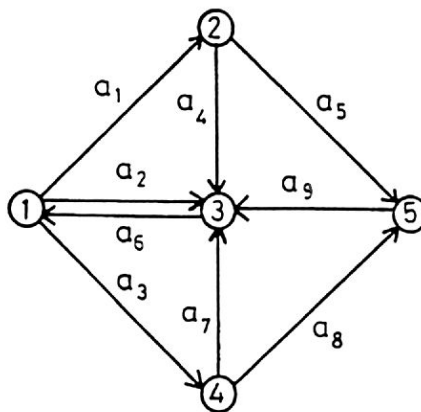


Fig.3.1

Evident că ciclurile $\overset{\circ}{l}, \overset{\circ}{l}_1, \overset{\circ}{l}_2$ sunt dependente.

Definiția 3.3. Se numește *număr cicromatic* al digrafului $G = (N, A)$ cu n noduri, m arce și p componente conexe numărul $\nu(G) = m - n + p$.

Teorema 3.2. *Subspațiul $S_{\overset{\circ}{l}}$ al lui \mathbb{R}^m , generat de ciclurile digrafului $G = (N, A)$, admite o bază formată din $\nu(G)$ cicluri elementare independente.*

Demonstrație. Vom arăta că digraful G admite $\nu(G) = m - n + p$ cicluri elementare independente. Pentru aceasta vom construi un șir de grafuri parțiale $G_i = (N, A_i)$ ale digrafului $G = (N, A)$ cu $\nu(G_i) = m_i - n + p_i$ cicluri elementare independente. Acest șir se construiește cu algoritmul următor.

- (1) PROGRAM CICLURI;
- (2) BEGIN
- (3) $A_0 := \emptyset$;
- (4) FOR $i := 1$ TO m DO $A_i := A_{i-1} \cup \{a_i\}$;
- (5) END.

Prin inducție după i vom arăta că $G_i = (N, A_i)$ admite $\nu(G_i) = m_i - n + p_i$ cicluri elementare independente. Pentru $i = 0$ avem $A_0 = \emptyset$ și obținem $m_0 = 0$, deci $\nu(G_0) = 0$. Deoarece $p_0 = n$ rezultă că $\nu(G_0) = m_0 - n + p_0$.

Presupunem afirmația adevărată pentru i și o demonstrăm pentru $i + 1$.

La iterația $i + 1$ poate exista unul din cazurile:

(c1) arcul a_{i+1} nu închide un nou ciclu elementar. Deci $\nu(G_{i+1}) = \nu(G_i)$ și $m_{i+1} = m_i + 1, p_{i+1} = p_i - 1$. Rezultă $\nu(G_{i+1}) = m_i - n + p_i = m_{i+1} - n + p_{i+1}$.

(c2) arcul a_{i+1} închide un nou ciclu elementar $\overset{\circ}{L}_k$. Deoarece arcul a_{i+1} aparține ciclului elementar $\overset{\circ}{L}_k$ și nu aparține ciclurilor elementare independente $\overset{\circ}{L}_1, \dots, \overset{\circ}{L}_{k-1}$ obținute până la această iterație, rezultă că ciclurile elementare $\overset{\circ}{L}_1, \dots, \overset{\circ}{L}_{k-1}, \overset{\circ}{L}_k$ sunt independente. Rezultă că $\nu(G_{i+1}) = \nu(G_i) + 1$, $m_{i+1} = m_i + 1$, $p_{i+1} = p_i$. Deci $\nu(G_{i+1}) = m_i - n + p_i + 1 = m_{i+1} - n + p_{i+1}$.

Deci afirmația este adevărată pentru orice i . La terminarea execuției algoritmului avem $G_m = G$, $m_m = m$, $p_m = p$ și $\nu(G) = \nu(G_m) = m_m - n + p_m = m - n + p$.

În continuare vom arăta că G nu admite mai mult de $\nu(G) = m - n + p$ cicluri elementare independente. Fie $\overset{\circ}{L}$ un ciclu elementar diferit de ciclurile $\overset{\circ}{L}_1, \dots, \overset{\circ}{L}_\nu$ construite cu algoritmul de mai sus. Din modul cum au fost determinate ciclurile elementare $\overset{\circ}{L}_1, \dots, \overset{\circ}{L}_\nu$ rezultă că oricare ar fi un arc a_j al ciclului $\overset{\circ}{L}$ există cel puțin un $\overset{\circ}{L}_i$, $i \in \{1, \dots, \nu\}$, astfel încât a_j aparține ciclului $\overset{\circ}{L}_i$. Deci există o relație $r_1 \overset{\circ}{l}_1 + \dots + r_\nu \overset{\circ}{l}_\nu + r \overset{\circ}{l} = 0$ fără ca $r_1 = \dots = r_\nu = r = 0$. Această relație implică faptul că ciclurile $\overset{\circ}{L}_1, \dots, \overset{\circ}{L}_\nu, \overset{\circ}{L}$ sunt dependente. Am demonstrat că $\dim(S_i^\circ) = \nu(G) = m - n + p$. ■

Definiția 3.4. Se spune că un digraf $G' = (N, A')$ este un *arbore* dacă este un digraf fără cicluri și conex. Se spune că digraful $G' = (N, A')$ este o *pădure* dacă fiecare componentă conexă a lui G' este un arbore.

Din definiție rezultă că o pădure este un digraf $G' = (N, A)$ fără cicluri. Noțiunile de arbore și pădure au sens și pentru grafuri neorientate.

Exemplul 3.2. Digraful reprezentat în figura 3.2. este o pădure compusă din doi arbori. Orientarea arcelor poate fi ignorată.

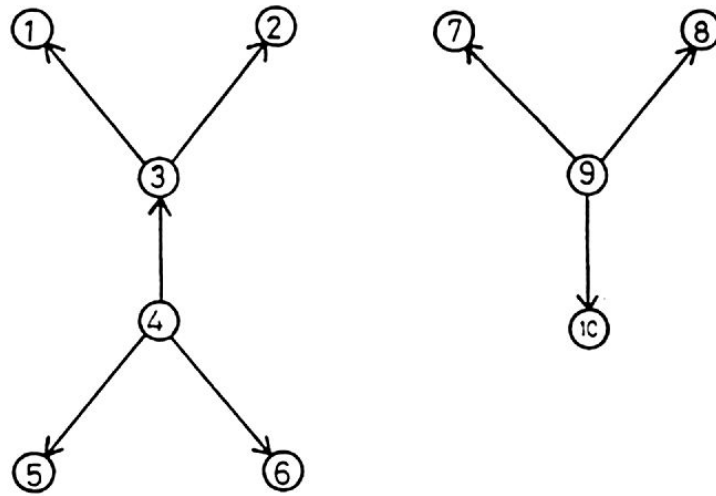


Fig.3.2

Teorema 3.3. Fie $G' = (N, A')$ un digraf cu $n \geq 2$. Proprietățile următoare sunt echivalente și caracterizează un arbore:

- (1). G' este fără cicluri și conex;
- (2). G' este fără cicluri și are $n - 1$ arce;
- (3). G' este conex și are $n - 1$ arce;
- (4). G' este fără cicluri și dacă se adaugă un singur arc între oricare două noduri atunci graful obținut $\tilde{G}' = (N, \tilde{A}')$ conține un ciclu unic;
- (5). G' este conex și dacă se elimină un arc oarecare, atunci digraful obținut $\hat{G}' = (N, \hat{A}')$ nu este conex;
- (6). G' are un lanț unic între oricare două noduri ale lui.

Demonstrație. (1) \Rightarrow (2). Din (1) rezultă că $\nu(G') = 0$ și $p' = 1$. Deci $m' - n + 1 = 0$, de unde $m' = n - 1$. Deducem că G' este fără cicluri și are $n - 1$ arce.

(2) \Rightarrow (3). Din (2) rezultă că $\nu(G') = 0$ și $m' - n + p' = n - 1 - n + p' = 0$, de unde $p' = 1$. Deducem că G' este conex și are $n - 1$ arce.

(3) \Rightarrow (4). Din (3) rezultă $p' = 1$ și $m' = n - 1$. Deci $\nu(G') = m' - n + p' = n - 1 - n + 1 = 0$ și G' este fără cicluri. Digraful $\tilde{G}' = (N, \tilde{A}')$ are $\tilde{p}' = p' = 1$, $\tilde{m}' = m' + 1 = n$ și $\nu(\tilde{G}') = \tilde{m}' - n + \tilde{p}' = 1$. Rezultă că \tilde{G}' are un singur ciclu.

(4) \Rightarrow (5). Din (4) rezultă $\nu(G') = 0$ și $p' = 1$. Într-adevăr, dacă $p' > 1$ atunci arcul adăugat la A' poate lega două componente conexe și \tilde{G}' nu conține ciclu. Din $\nu(G') = 0$ și $p' = 1$ rezultă $m' = n - 1$. Digraful $\hat{G}' = (N, \hat{A}')$ are $\hat{m}' = m' - 1 = n - 2$, $\nu(\hat{G}') = 0$, $\hat{p}' = 2$ și deci \hat{G}' nu este conex.

(5) \Rightarrow (6). Dacă G' este conex atunci între oricare două noduri există un lanț. Deoarece \hat{G}' este neconex rezultă că lanțul este unic.

(6) \Rightarrow (1). Dacă între oricare două noduri ale lui G' există un lanț unic atunci este evident că G' este conex și fără cicluri. ■

Teorema 3.4. Un digraf $G = (N, A)$ admite un subgraf parțial $G' = (N, A')$ care este un arbore dacă și numai dacă G este conex.

Demonstrație. Obținem subgraful parțial $G' = (N, A')$ cu următorul algoritm:

- (1) PROGRAM ARBORE1;
- (2) BEGIN
- (3) $A_m := A$;
- (4) FOR $i := m$ DOWNTO n DO
- (5) BEGIN
- (6) se selectează un arc a din A_i care nu deconexează G_i ;
- (7) $A_{i-1} := A_i - \{a\}$;
- (8) END;
- (9) END.

Se obține $G' = (N, A') = (N, A_{n-1})$. Din modul cum este construit G' rezultă că el este conex și are $n - 1$ arce. Deci G' este arbore.

Reciproca este evidentă. ■

Deoarece arborele G' construit în Teorema 3.4 are aceeași mulțime de noduri ca a digrafului G se numește *arbore parțial* al lui G .

Observația 3.1. Un arbore parțial $G' = (N, A')$ al digrafului $G = (N, A)$ se poate construi și cu algoritmul următor:

- (1) PROGRAM ARBORE2;
- (2) BEGIN
- (3) $A_0 := \emptyset$;
- (4) FOR $i := 0$ TO $n - 2$ DO
- (5) BEGIN
- (6) se selectează un arc a din $\bar{A}_i = A - A_i$ care nu formează
ciclu în G_i ;
- (7) $A_{i+1} := A_i \cup \{a\}$;
- (8) END;
- (9) END.

Se obține $G' = (N, A') = (N, A_{n-1})$. Deoarece G' este fără ciclu și are $n - 1$ arce el este un arbore.

Teorema 3.5. Dacă $G = (N, A)$ este un digraf conex, $G' = (N, A')$ este un arbore parțial al lui G și $\bar{A}' = A - A'$, atunci oricare arc $a_i \in \bar{A}'$ determină cu arcele din A' un ciclu unic \bar{L}_k și ciclurile $\bar{L}_1, \dots, \bar{L}_s$ obținute în acest mod cu toate arcele din \bar{A}' formează o bază de cicluri a digrafului G .

Demonstrație. Dacă arcul $a_i \in \bar{A}'$, atunci digraful $\tilde{G}' = (N, \tilde{A}')$ cu $\tilde{A}' = A' \cup \{a_i\}$ conține un ciclu \bar{L}_k conform proprietății (4) din Teorema 3.3. Ciclurile $\bar{L}_1, \dots, \bar{L}_s$ obținute în acest mod sunt independente, deoarece fiecare ciclu \bar{L}_k conține un arc a_i care nu este conținut de celelalte cicluri. Numărul acestor cicluri este $s = |\bar{A}'| = |A| - |A'| = m - (n - 1) = m - n + 1 = m - n + p = \nu(G)$. Deci ciclurile $\bar{L}_1, \dots, \bar{L}_s$ formează o bază de cicluri. ■

Teorema 3.5 ne furnizează un algoritm pentru a construi o bază de cicluri a unui digraf conex G .

Exemplul 3.3. Fie digraful $G = (N, A)$ reprezentat în figura 3.1. Un arbore parțial $G' = (N, A')$, $A' = \{a_1, a_2, a_3, a_5\}$ al digrafului G este reprezentat în figura 3.3. Avem $\bar{A}' = \{a_4, a_6, a_7, a_8, a_9\}$.

Se obțin ciclurile $\bar{L}_1 = (a_1, a_4, a_2)$, $\bar{L}_2 = (a_1, a_5, a_9, a_2)$, $\bar{L}_3 = (a_1, a_5, a_8, a_3)$, $\bar{L}_4 = (a_2, a_6)$, $\bar{L}_5 = (a_2, a_7, a_3)$.

3.2 Arbori parțiali minimi

3.2.1 Condiții de optimalitate

Se consideră un graf neorientat și conex $G = (N, A)$ cu $N = \{1, \dots, x, \dots, n\}$, $A = \{1, \dots, a, \dots, m\}$ și o funcție $b : A \rightarrow \mathbb{R}$ care asociază fiecărei muchii $a \in A$ un număr real $b(a)$ numit *valoarea* acestei muchii, care poate reprezenta lungime, cost etc.

Deoarece graful $G = (N, A)$ este conex, el admite un arbore parțial $G' = (N, A')$.

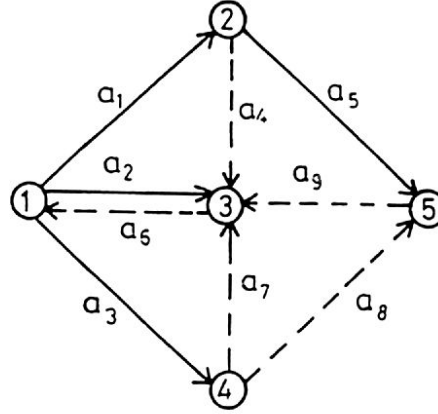


Fig.3.3

Valoarea unui arbore parțial $G' = (N, A')$, notată $b(G')$, este prin definiție

$$b(G') = \sum_{A'} b(a).$$

Dacă notăm cu \mathcal{A}_G mulțimea arborilor parțiali ai grafului G , atunci problema arborelui parțial minim este următoarea: să se determine $G' \in \mathcal{A}_G$ astfel încât $b(G') = \min\{b(G'') \mid G'' \in \mathcal{A}_G\}$.

Dacă eliminăm o muchie arbore oarecare $a = [x, \bar{x}]$ din A' atunci se obține o partiție a mulțimii nodurilor $N = X \cup \bar{X}$, $x \in X$, $\bar{x} \in \bar{X}$.

Mulțimea de muchii

$$[X, \bar{X}]_a = \{[y, \bar{y}] \mid [y, \bar{y}] \in A, y \in X, \bar{y} \in \bar{X}\}$$

se numește *tăietură* generată de eliminarea muchiei arbore $a = [x, \bar{x}]$ sau *cociclu* generat de eliminarea muchiei arbore $a = [x, \bar{x}]$.

Pentru problema arborelui parțial minim se pot formula condiții de optimalitate în două moduri: condiții de optimalitate ale tăieturii și condiții de optimalitate ale lanțului.

Teorema 3.6. (Condițiile de optimalitate ale tăieturii)

Fie $G = (N, A)$ un graf neorientat și conex. Un arbore parțial $G' = (N, A')$ al grafului G este minim dacă și numai dacă, pentru fiecare muchie arbore $a = [x, \bar{x}] \in A'$, avem:

$$b[x, \bar{x}] \leq b[y, \bar{y}] \text{ pentru toate muchiile } [y, \bar{y}] \in [X, \bar{X}]_a \quad (3.1)$$

Demonstrație. Presupunem că arborele parțial $G' = (N, A')$ al grafului $G = (N, A)$ este minim. Prin reducere la absurd presupunem că nu sunt satisfăcute condițiile (3.1). Atunci există o muchie arbore $a = [x, \bar{x}] \in A'$ și o muchie nonarbore $[y, \bar{y}] \in [X, \bar{X}]_a$ cu $b[x, \bar{x}] > b[y, \bar{y}]$. Arborele parțial $G'' = (N, A'')$ cu $A'' = A' - \{[x, \bar{x}]\} \cup \{[y, \bar{y}]\}$ are valoarea $b(G'') = b(G') - b[x, \bar{x}] + b[y, \bar{y}]$. Deoarece $b[x, \bar{x}] > b[y, \bar{y}]$ rezultă $b(G'') < b(G')$. Această relație contrazice faptul că arborele parțial G' este minim. Deci condițiile (3.1) sunt satisfăcute.

Presupunem că sunt satisfăcute condițiile (3.1). Prin reducere la absurd presupunem că arborele parțial $G' = (N, A')$ nu este minim. Atunci există un arbore parțial $G'_0 = (N, A'_0)$ cu $b(G'_0) < b(G')$. Deoarece $A'_0 \neq A'$, există o muchie $a = [x, \bar{x}] \in A'$ și $a = [x, \bar{x}] \notin A'_0$. Muchia $a = [x, \bar{x}]$ generează tăietura $[X, \bar{X}]_a$ și un ciclu L_a cu muchiile din A'_0 (vezi figura 3.4). Atunci există o muchie $[y, \bar{y}] \in L_a$ astfel încât $[y, \bar{y}] \in [X, \bar{X}]_a$, $[y, \bar{y}] \in A'_0$ și $[y, \bar{y}] \notin A'$. Deoarece condițiile (3.1) sunt satisfăcute avem $b[x, \bar{x}] \leq b[y, \bar{y}]$. Arborele parțial $G'' = (N, A'')$ cu $A'' = A' - \{[x, \bar{x}]\} \cup \{[y, \bar{y}]\}$ are valoarea $b(G'') = b(G') - b[x, \bar{x}] + b[y, \bar{y}]$. Rezultă $b(G') \leq b(G'')$ și G'' are în comun cu G'_0 cu o muchie mai mult decât G' . Iterând acest procedeu se obține un șir de arbori parțiali G', G'', \dots, G'_0 cu $b(G') \leq b(G'') \leq \dots \leq b(G'_0)$. Deci obținem $b(G') \leq b(G'_0)$ care contrazice presupunerea că $b(G'_0) < b(G')$. Rezultă că arborele parțial G' este minim. ■

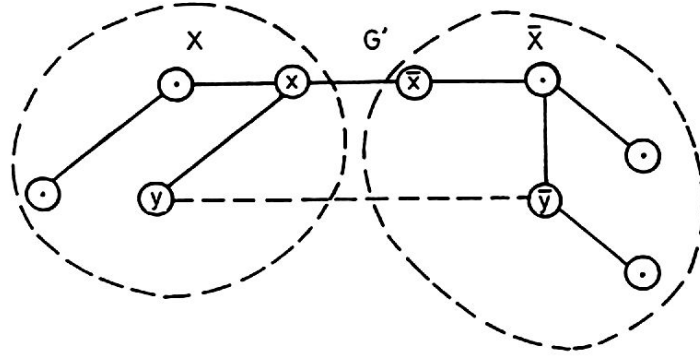


Fig.3.4

Între două noduri $y, \bar{y} \in N$ există un lanț unic $L'_{y\bar{y}}$ în arborele parțial $G' = (N, A')$ al grafului neorientat și conex $G = (N, A)$.

Teorema 3.7. (Condițiile de optimalitate ale lanțului)

Fie $G = (N, A)$ un graf neorientat și conex. Un arbore parțial $G' = (N, A')$ al grafului $G = (N, A)$ este minim dacă și numai dacă, pentru fiecare muchie nonarbore $[y, \bar{y}] \in \bar{A}'$, avem

$$b[x, \bar{x}] \leq b[y, \bar{y}] \text{ pentru toate muchiile } [x, \bar{x}] \in L'_{y\bar{y}} \quad (3.2)$$

Demonstrație. Presupunem că arborele parțial $G' = (N, A')$ al grafului $G = (N, A)$ este minim. Prin reducere la absurd presupunem că nu sunt satisfăcute condițiile (3.2). Atunci există o muchie nonarbore $[y, \bar{y}] \in \bar{A}'$ și o muchie arbore $[x, \bar{x}] \in L'_{y\bar{y}}$ cu $b[x, \bar{x}] > b[y, \bar{y}]$. Arborele parțial $G'' = (N, A'')$ cu $A'' = A' - \{[x, \bar{x}]\} \cup \{[y, \bar{y}]\}$ are valoarea $b(G'') = b(G') - b[x, \bar{x}] + b[y, \bar{y}]$. Rezultă că $b(G'') < b(G')$ care contrazice faptul că arborele parțial G' este minim. Deci condițiile (3.2) sunt satisfăcute.

Presupunem că sunt satisfăcute condițiile (3.2). Fie o muchie arbore oarecare $a = [x, \bar{x}] \in A'$ și $[X, \bar{X}]_a$ tăietura generată de muchia a . Se consideră o muchie oarecare nonarbore $[y, \bar{y}] \in [X, \bar{X}]_a$. Atunci există lanțul unic $L'_{y\bar{y}}$ în G' astfel încât $[x, \bar{x}] \in L'_{y\bar{y}}$ (vezi figura 3.4). Condițiile (3.2) implică faptul că $b[x, \bar{x}] \leq b[y, \bar{y}]$. Deoarece muchiile $[x, \bar{x}]$, $[y, \bar{y}]$ sunt oarecare rezultă că sunt satisfăcute condițiile (3.1). Conform Teoremei 3.6 arborele parțial G' este minim. ■

Observația 3.2. Suficiența Teoremei 3.7 a fost demonstrată utilizând suficiența Teoremei 3.6. Aceasta stabilește echivalența dintre condițiile de optimalitate ale tăieturii și condițiile de optimalitate ale lanțului.

În continuare se prezintă algoritmi pentru determinarea arborelui parțial minim. Mai întâi se prezintă algoritmul generic. Ceilalți algoritmi sunt cazuri speciale ale algoritmului generic.

3.2.2 Algoritmul generic

Fie $G = (N, A, b)$ o rețea neorientată și conexă cu mulțimea nodurilor $N = \{1, \dots, n\}$ și mulțimea muchiilor $A = \{1, \dots, a, \dots, m\}$, $a = [x, \bar{x}]$.

```

(1)  PROGRAM GENERIC;
(2)  BEGIN
(3)    FOR  $i := 1$  TO  $n$  DO
(4)      BEGIN
(5)         $N_i := \{i\}; A'_i := \emptyset;$ 
(6)      END;
(7)    FOR  $k := 1$  TO  $n - 1$  DO
(8)      BEGIN
(9)        se selectează  $N_i$  cu  $N_i \neq \emptyset;$ 
(10)       se selectează  $[y, \bar{y}]$  cu  $b[y, \bar{y}] := \min\{b[x, \bar{x}] \mid x \in N_i, \bar{x} \notin N_i\};$ 
(11)       se determină indicele  $j$  pentru care  $\bar{y} \in N_j;$ 
(12)        $N_i := N_i \cup N_j; N_j := \emptyset; A'_i = A'_i \cup A'_j \cup \{[y, \bar{y}]\}; A'_j = \emptyset;$ 
(13)       IF  $k = n - 1$ 
(14)         THEN  $A' := A'_i;$ 
(15)     END;
(16)  END.
```

Teorema 3.8. *Algoritmul generic determină un arbore parțial minim $G' = (N, A')$ al grafului $G = (N, A)$.*

Demonstrație. Prin inducție după k , numărul de iterații ale ciclului FOR de la linia (7) la linia (15), vom arăta că $G'_i = (N_i, A'_i)$ este conținut într-un arbore parțial minim al lui G' . Pentru $k = 0$ (înainte de prima iterație a ciclului) avem $G'_i = (\{i\}, \emptyset)$ și afirmația este adevărată. Presupunem afirmația adevărată pentru execuția a $k - 1$ iterații ale ciclului FOR. Aceasta înseamnă că $G'_i = (N_i, A'_i)$, determinat după execuția a $k - 1$ iterații ale ciclului FOR este conținut într-un arbore parțial minim $G' = (N, A')$ al lui G' .

După execuția a k iterații ale ciclului FOR, referitor la muchia $[y, \bar{y}]$ selectată în linia (10), pot exista cazurile:

- (c1) $[y, \bar{y}] \in A';$
- (c2) $[y, \bar{y}] \notin A'.$

În cazul (c1) demonstrația prin inducție după k s-a terminat. În cazul (c2), există în G' un lanț unic $L'_{y\bar{y}}$. Deoarece $y \in N_i$ și $\bar{y} \notin N_i$, evident că există o muchie $[x, \bar{x}]$ astfel încât $[x, \bar{x}] \in L'_{y\bar{y}}$ cu $x \in N_i$ și $\bar{x} \notin N_i$. Conform Teoremei 3.7 avem $b[x, \bar{x}] \leq b[y, \bar{y}]$.

Pe de altă parte, muchia $[y, \bar{y}]$ este selectată în linia (10) astfel încât $b[x, \bar{x}] \geq b[y, \bar{y}]$. Rezultă că $b[x, \bar{x}] = b[y, \bar{y}]$. Arborele parțial $G'' = (N, A'')$ cu $A'' = A' - \{[x, \bar{x}]\} \cup \{[y, \bar{y}]\}$ are valoarea $b(G'') = b(G') - b[x, \bar{x}] + b[y, \bar{y}] = b(G')$. Deci G'' este un arbore parțial minim al lui G și conține $G'_i = (N_i, A'_i)$.

Evident că pentru $k = n - 1$ $G'_i = (N_i, A'_i)$ are $N_i = N$, $|A'_i| = n - 1$ și $G' = G'_i$ este arborele parțial minim al grafului G . ■

Observația 3.3. Nu se poate da complexitatea precisă a algoritmului generic, deoarece ea depinde atât de modul de selectare a mulțimii N_i în linia (9) cât și de modul de implementare.

În algoritmii care vor fi prezentați în continuare se precizează selectarea din liniile (9) și (10) ale algoritmului generic.

3.2.3 Algoritmul Prim

Fie $G = (N, A, b)$ o rețea neorientată și conexă cu mulțimea nodurilor $N = \{1, \dots, n\}$ și mulțimea muchiilor $A = \{1, \dots, a, \dots, m\}$, $a = [x, \bar{x}]$. Graful G este reprezentat prin listele de incidență $E(x)$. Algoritmul utilizează două funcții: $v : N \rightarrow \mathbb{R}$ și $e : N \rightarrow A$ pentru a selecta mai ușor muchia $[y, \bar{y}]$ din linia (10) a algoritmului generic.

```

(1)  PROGRAM PRIM;
(2)  BEGIN
(3)     $v(1) := 0; N_1 := \emptyset; A' := \emptyset; \bar{N}_1 := N - N_1;$ 
(4)    FOR  $i := 2$  TO  $n$  DO
(5)       $v(i) := \infty;$ 
(6)    WHILE  $N_1 \neq N$  DO
(7)      BEGIN
(8)         $v(y) := \min\{v(\bar{x}) \mid \bar{x} \in \bar{N}_1\};$ 
(9)         $N_1 := N_1 \cup \{y\}; \bar{N}_1 := \bar{N}_1 - \{y\};$ 
(10)       IF  $y \neq 1$ 
(11)         THEN  $A' := A' \cup \{e(y)\};$ 
(12)       FOR  $[y, \bar{y}] \in E(y) \cap [N_1, \bar{N}_1]$  DO
(13)         IF  $v(\bar{y}) > b[y, \bar{y}]$ 
(14)         THEN BEGIN  $v(\bar{y}) := b[y, \bar{y}]; e(\bar{y}) := [y, \bar{y}];$ END;
(15)       END;
(16)    END.
```

Teorema 3.9. *Algoritmul Prim determină un arbore parțial minim $G' = (N, A')$ al grafului $G = (N, A)$.*

Demonstrație. Algoritmul Prim s-a obținut făcând următoarele două modificări în algoritmul generic:

- în linia (9) se selectează întotdeauna N_1 ;
- selectarea muchiei $[y, \bar{y}]$ în linia (10) se face cu ajutorul funcțiilor v și e .

Deci, conform Teoremei 3.8 algoritmul Prim este corect. ■

Teorema 3.10. *Algoritmul Prim are complexitatea $O(n^2)$.*

Demonstrație. Ciclul WHILE se execută de n ori. În fiecare iterație se execută, în linia (8), \bar{n}_1 comparații cu $\bar{n}_1 = |\bar{N}_1|$ și $1 \leq \bar{n}_1 < n$. Ciclul FOR se execută de cel mult $n - 1$ ori. Rezultă că algoritmul Prim are complexitatea $O(n^2)$. ■

Exemplul 3.4. Fie rețeaua $G = (N, A, b)$ reprezentată în figura 3.5(a). Să se determine un arbore parțial minim $G' = (N, A')$ al grafului $G = (N, A)$ cu algoritmul Prim.

Iterația 1: $v(1) = 0$, $N_1 = \{1\}$, $A' = \emptyset$; $v(2) = 35$, $e(2) = [1, 2]$, $v(3) = 40$, $e(3) = [1, 3]$.

Iterația 2: $v(2) = 35$, $N_1 = \{1, 2\}$, $A' = \{[1, 2]\}$; $v(3) = 25$, $e(3) = [2, 3]$, $v(4) = 10$, $e(4) = [2, 4]$.

Iterația 3: $v(4) = 10$, $N_1 = \{1, 2, 4\}$, $A' = \{[1, 2], [2, 4]\}$; $v(3) = 20$, $e(3) = [4, 3]$, $v(5) = 30$, $e(5) = [4, 5]$.

Iterația 4: $v(3) = 20$, $N_1 = \{1, 2, 4, 3\}$, $A' = \{[1, 2], [2, 4], [4, 3]\}$; $v(5) = 15$, $e(5) = [3, 5]$.

Iterația 5: $v(5) = 15$, $N_1 = \{1, 2, 4, 3, 5\}$, $A' = \{[1, 2], [2, 4], [4, 3], [3, 5]\}$; $[N_1, \bar{N}_1] = \emptyset$.

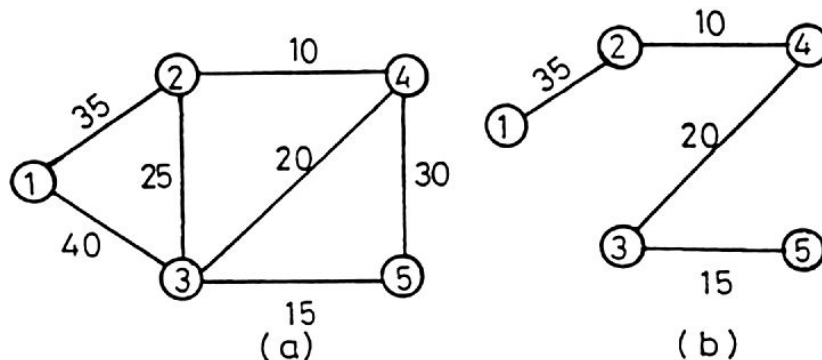


Fig.3.5

Arborele parțial minim $G' = (N, A')$ obținut este reprezentat în figura 3.5(b).

3.2.4 Algoritmul Kruskal

Fie $G = (N, A, b)$ o rețea neorientată și conexă cu mulțimea nodurilor $N = \{1, \dots, n\}$ și mulțimea muchiilor $A = \{1, \dots, a, \dots, m\}$, $a = [x, \bar{x}]$.

```

(1)  PROGRAM KRUSKAL;
(2)  BEGIN
(3)    SORTARE (G);
(4)     $A' := \emptyset$ ;
(5)    FOR  $i := 1$  TO  $m$  DO
(6)      IF  $a_i$  nu formează ciclu cu  $A'$ ;
(7)      THEN  $A' := A' \cup \{a_i\}$ ;
(8)  END.
```


- (1) PROCEDURA SORTARE (G);
- (2) BEGIN
- (3) se ordonează muchiile din A astfel încât $A = \{a_1, \dots, a_m\}$
 cu $b(a_1) \leq \dots \leq b(a_m)$;
- (4) END;

Teorema 3.11. *Algoritmul Kruskal determină un arbore parțial minim $G' = (N, A')$ al grafului $G = (N, A)$.*

Demonstrație. Algoritmul Kruskal s-a obținut folosind procedura SORTARE și condiția din linia (6) pentru selectările din linia (9) și (10) din algoritmul generic. Deci, conform Teoremei 3.8 algoritmul Kruskal este corect. ■

Observația 3.4. Complexitatea algoritmului Kruskal depinde de modul de implementare a procedurii din linia (3) și a condiției din linia (6). Astfel complexitatea poate fi $O(\max(m \log n, n^2))$ sau $O(m \log n)$ etc.

Exemplul 3.5. Fie rețeaua $G = (N, A, b)$ reprezentată în figura 3.5(a). Să se determine un arbore parțial minim $G' = (N, A')$ al grafului $G = (N, A)$ cu algoritmul Kruskal.

Procedura SORTARE ordonează muchiile din A și se obține $A = \{[2, 4], [3, 5], [3, 4], [2, 3], [4, 5], [1, 2], [1, 3]\}$.

Iterația 1: $A' = \{[2, 4]\}$

Iterația 2: $A' = \{[2, 4], [3, 5]\}$

Iterația 3: $A' = \{[2, 4], [3, 5], [3, 4]\}$

Iterația 4: $[2, 3]$ formează ciclu cu A'

Iterația 5: $[4, 5]$ formează ciclu cu A'

Iterația 6: $A' = \{[2, 4], [3, 5], [3, 4], [1, 2]\}$

Iterația 7: $[1, 3]$ formează ciclu cu A' .

Arborela parțial minim $G' = (N, A')$ obținut este prezentat în figura 3.5(b).

3.2.5 Algoritmul Boruvka

Fie $G = (N, A, b)$ o rețea neorientată și conexă cu mulțimea nodurilor $N = \{1, \dots, n\}$ și mulțimea muchiilor $A = \{1, \dots, a, \dots, m\}$, $a = [x, \bar{x}]$. Funcția valoare $b : A \rightarrow \mathbb{R}$ are toate valorile muchie diferite.

- (1) PROGRAM BORUVKA;
- (2) BEGIN
- (3) FOR $i := 1$ TO n DO
- (4) $N_i := \{i\}$;
- (5) $A' := \emptyset$; $M := \{N_1, \dots, N_n\}$;
- (6) WHILE $|A'| < n - 1$ DO
- (7) BEGIN
- (8) FOR $N_i \in M$ DO
- (9) BEGIN
- (10) se selectează $[y, \bar{y}]$ cu $b[y, \bar{y}] := \min\{b[x, \bar{x}] \mid x \in N_i, \bar{x} \notin N_i\}$;

- (11) se determină indicele j pentru care $\bar{y} \in N_j$;
- (12) $A' := A' \cup \{[y, \bar{y}]\}$;
- (13) END;
- (14) FOR $N_i \in M$ DO BEGIN $N_i := N_i \cup N_j$; $N_j := N_i$; END;
- (15) $M := \{\dots, N_i, \dots, N_j, \dots \mid N_i \cap N_j = \emptyset, \cup N_i = N\}$;
- (16) END;
- (17) END.

Mulțimile N_j din operația $N_i := N_i \cup N_j$ executată în linia (14) sunt cele determinate în linia (11).

Teorema 3.12. *Algoritmul Boruvka determină un arbore parțial minim $G' = (N, A')$ al grafului $G = (N, A)$.*

Demonstrație. Este evident că algoritmul Boruvka este o variantă a algoritmului generic. Ipoteza că funcția valoare b are toate valorile muchie diferite asigură că nu se creează cicluri în $G' = (N, A')$ în timpul execuției ciclului WHILE. Deci, conform Teoremei 3.8 algoritmul Boruvka este corect. ■

Teorema 3.13. *Algoritmul Boruvka are complexitatea $O(m \log n)$.*

Demonstrație. Deoarece numărul componentelor conexe N_i din M este cel puțin înjumătățit la fiecare iterație, ciclul WHILE este executat de cel mult $\log n$ ori. Operațiile din liniile (10), (11) au complexitatea $O(m)$. Deci algoritmul Boruvka are complexitatea $O(m \log n)$. ■

Observația 3.5. Algoritmul Boruvka este cunoscut în literatura de specialitate și sub numele de algoritmul Sollin.

Exemplul 3.6. Fie rețeaua $G = (N, A, b)$ reprezentată în figura 3.5(a). Să se determine un arbore parțial minim $G' = (N, A')$ al grafului $G = (N, A)$ cu algoritmul Boruvka.

Inițial $A' = \emptyset$, $M = \{\{1\}, \{2\}, \{3\}, \{4\}, \{5\}\}$.

Iterația 1.

$N_1, [y, \bar{y}] = [1, 2], N_j = N_2, A' = \{[1, 2]\}$;
 $N_2, [y, \bar{y}] = [2, 4], N_j = N_4, A' = \{[1, 2], [2, 4]\}$;
 $N_3, [y, \bar{y}] = [3, 5], N_j = N_5, A' = \{[1, 2], [2, 4], [3, 5]\}$;
 $N_4, [y, \bar{y}] = [4, 2], N_j = N_2, A' = \{[1, 2], [2, 4], [3, 5]\}$;
 $N_5, [y, \bar{y}] = [5, 3], N_j = N_3, A' = \{[1, 2], [2, 4], [3, 5]\}$;
 $M = \{N_4 = \{1, 2, 4\}, N_5 = \{3, 5\}\}$;

Iterația 2.

$N_4, [y, \bar{y}] = [4, 3], N_j = N_5, A' = \{[1, 2], [2, 4], [3, 5], [4, 3]\}$;
 $N_5, [y, \bar{y}] = [3, 4], N_j = N_4, A' = \{[1, 2], [2, 4], [3, 5], [4, 3]\}$;
 $M = \{N_5 = \{1, 2, 3, 4, 5\}\}$.

Arborele parțial minim $G' = (N, A')$ obținut este prezentat în figura 3.5(b).

3.3 Arborescențe

Definiția 3.5. Un nod $r \in N$ al unui digraf $G = (N, A)$ se numește *nod rădăcină* dacă pentru orice alt nod $x \in N$ există un drum de la r la x .

Observația 3.6. Noțiunea de nod rădăcină are sens numai pentru grafuri orientate. Un nod rădăcină nu există întotdeauna.

Exemplul 3.7. Nodul 1 al digrafului reprezentat în figura 3.6 este un nod rădăcină.

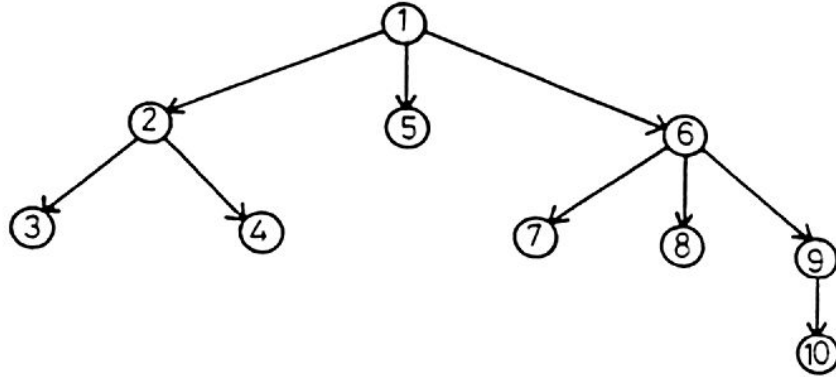


Fig.3.6

Definiția 3.6. Un digraf $G = (N, A)$ se numește *quasi-tare conex* dacă pentru oricare două noduri $x, y \in N$ există un nod $z \in N$ (care poate coincide cu x sau cu y) de la care pleacă un drum care ajunge în x și un drum care ajunge în y .

Observația 3.7. Un digraf tare conex este quasi tare conex, dar reciproca nu este adevărată. Un digraf quasi tare conex este conex, dar reciproca nu este adevărată.

Definiția 3.7. Un digraf $G' = (N, A')$ se numește *arborescență* dacă este fără cicluri și quasi tare conex.

Exemplul 3.8. Digraful reprezentat în figura 3.6 este o arborescență.

Teorema 3.14. *Un digraf $G = (N, A)$ admite un nod rădăcină dacă și numai dacă el este quasi tare conex.*

Demonstrație. Dacă digraful G admite un nod rădăcină atunci el este quasi tare conex deoarece pentru oricare două noduri $x, y \in N$ există un nod z (de exemplu nodul rădăcină r) de la care pleacă un drum care ajunge în x și un drum care ajunge în y .

Dacă digraful $G = (N, A)$, $|N| = n$ este quasi tare conex, atunci există un nod z_1 de la care pleacă un drum care ajunge în x_1 și un drum care ajunge în x_2 ; există un nod z_2 de la care pleacă un drum care ajunge în z_1 și un drum care ajunge în x_3 . Continuând acest procedeu există un nod z_{n-1} de la care pleacă un drum care ajunge în z_{n-2} și un drum care ajunge în x_n . Este evident că nodul $r = z_{n-1}$ este nod rădăcină al digrafului $G = (N, A)$. ■

Teorema 3.15. *Fie $G' = (N, A')$ un digraf de ordinul $n \geq 2$. Proprietățile următoare sunt echivalente și caracterizează o arborescență:*

- (1). G' este fără cicluri și quasi tare conex;
- (2). G' este quasi tare conex și are $n - 1$ arce;
- (3). G' este un arbore și admite un nod rădăcină r ;
- (4). G' conține un nod r și un drum unic de la nodul r la oricare alt nod $x \in N$;
- (5). G' este quasi tare conex și prin eliminarea unui arc oarecare se obține digraful $\hat{G}' = (N, \hat{A}')$ care nu este quasi tare conex;

(6). G' este conex și conține un nod r astfel încât $\rho^-(r) = 0$, $\rho^-(x) = 1$ pentru oricare nod $x \neq r$;

(7). G' este fără cicluri și conține un nod r astfel încât $\rho^-(r) = 0$, $\rho^-(x) = 1$ pentru oricare nod $x \neq r$.

Demonstrație.

(1) \Rightarrow (2). Dacă (1) este adevărată, atunci G' este conex și fără cicluri, adică G' este un arbore. Deci G' are $n - 1$ arce și (2) este adevărată.

(2) \Rightarrow (3). Dacă (2) este adevărată, atunci G' este conex și are $n - 1$ arce, adică G' este un arbore. În plus, conform Teoremei 3.14 G' admite un nod rădăcină r și (3) este adevărată.

(3) \Rightarrow (4). Dacă (3) este adevărată, atunci există un drum de la nodul r la oricare alt nod $x \in N$. Deoarece G' este arbore rezultă că acest drum este unic.

(4) \Rightarrow (5). Dacă (4) este adevărată, atunci nodul r este un nod rădăcină și conform Teoremei 3.14 G' este quasi tare conex. Fie un arc oarecare $(x, y) \in A'$. Construim digraful $\hat{G}' = (N, \hat{A}')$, unde $\hat{A}' = A' - \{(x, y)\}$. Prin reducere la absurd, presupunem că digraful \hat{G}' este quasi tare conex. Deci în \hat{G}' există un drum D_1 de la un nod z la nodul x și un drum D_2 de la nodul z la nodul y . Rezultă că în G' există două drumuri de la z la y (D_2 și $D_3 = D_1 \cup \{(x, y)\}$). Prin urmare există două drumuri de la r la y ce contrazice (4). Deci \hat{G}' nu este quasi tare conex și (5) este adevărată.

(5) \Rightarrow (6). Dacă (5) este adevărată, atunci G' este conex și conform Teoremei 3.14, admite un nod rădăcină r . Deci $\rho^-(r) \geq 0$ și $\rho^-(x) \geq 1$ pentru oricare nod $x \neq r$. Dacă $\rho^-(r) > 0$, atunci există cel puțin un arc $(y, r) \in A'$. Digraful $\hat{G}' = (N, \hat{A}')$ cu $\hat{A}' = A' - \{(y, r)\}$, admite evident nodul r ca nod rădăcină, adică \hat{G}' este quasi tare conex ce contrazice (5) și deci $\rho^-(r) = 0$. Dacă $\rho^-(x) > 1$, atunci există cel puțin două arce $(y, x), (z, x)$ în A' . Aceasta înseamnă că există cel puțin două drumuri distincte de la r la x . Digraful $\hat{G}' = (N, \hat{A}')$ cu $\hat{A}' = A' - \{(y, x)\}$ admite nodul r ca nod rădăcină, adică \hat{G}' este quasi tare conex ce contrazice (5) și deci $\rho^-(x) = 1$. Rezultă că (6) este adevărată.

(6) \Rightarrow (7). Dacă (6) este adevărată, atunci numărul de arce al digrafului $G' = (N, A')$ este $m' = \sum_N \rho^-(x) = n - 1$, adică G' este un arbore. Rezultă că G' este fără cicluri și (7) este adevărată.

(7) \Rightarrow (1). Dacă (7) este adevărată, atunci nodul r este evident un nod rădăcină. Conform Teoremei 3.14 digraful G' este quasi tare conex și (1) este adevărată. ■

Teorema 3.16. *Un digraf $G = (N, A)$ admite un subgraf parțial $G' = (N, A')$ care este o arborescență dacă și numai dacă el este quasi tare conex.*

Demonstrație. Dacă digraful G admite un subgraf parțial G' care este o arborescență atunci el admite un nod rădăcină r și conform Teoremei 3.14 digraful G este quasi tare conex.

Reciproc, dacă digraful G este quasi tare conex, atunci conform proprietății (5) din Teorema 3.15 se poate obține un subgraf parțial $G' = (N, A')$ care este o arborescență cu procedura următoare:

```

(1)  PROCEDURA ARBORESCENTA;
(2)  BEGIN
(3)     $A' := A$ ;
(4)    FOR  $i := 1$  TO  $m$  DO
(5)      IF prin eliminarea arcului  $a_i \in A'$  noul digraf rămâne quasi
        tare conex
(6)      THEN  $A' := A' - \{a_i\}$ 
(7)  END.

```

3.4 Aplicații

Problema arborelui parțial minim apare în aplicații în două moduri: direct și indirect. În aplicațiile directe se dorește conectarea unor puncte prin legături care au asociate lungimi sau costuri. Punctele reprezintă entități fizice ca utilizatori ai unui sistem sau componente ale unui cip care trebuie conectate între ele sau cu un alt punct ca procesorul principal al unui calculator. În aplicațiile indirecte problema practică nu apare evident ca o problemă a arborelui parțial minim și în acest caz este necesar să modelăm problema practică astfel încât să o transformăm într-o problemă a arborelui parțial minim. În continuare se vor prezenta câteva aplicații directe și indirecte ale arborelui parțial minim.

3.4.1 Proiectarea unui sistem fizic

Proiectarea unui sistem fizic constă în proiectarea unei rețele care conectează anumite componente. Sistemul fizic trebuie să nu aibă redundanțe ceea ce conduce la determinarea unui arbore parțial minim. Se prezintă în continuare câteva exemple.

1. Conectarea terminalelor din tablourile electrice astfel încât lungimea totală a firelor folosite să fie minimă.
2. Construirea unei rețele de conducte care să lege un număr de orașe astfel încât lungimea totală a conductelor să fie minimă.
3. Conectarea telefonică a unor comune dintr-o zonă izolată astfel încât lungimea totală a liniilor telefonice care leagă oricare două comune să fie minimă.
4. Determinarea configurației unei rețele de calculatoare astfel încât costul conectării în rețea să fie minim.

Fiecare dintre aceste aplicații este o aplicație directă a problemei arborelui parțial minim. În continuare se prezintă două aplicații indirecte.

3.4.2 Transmiterea optimă a mesajelor

Un serviciu de informații are n agenți într-o anumită țară. Fiecare agent cunoaște o parte din ceilalți agenți și poate stabili întâlniri cu oricare din cei pe care îi cunoaște. Orice mesaj transmis la întâlnirea dintre agentul i și agentul j poate să ajungă la inamic cu probabilitatea $p(i, j)$. Conducătorul grupului vrea să transmită un mesaj confidențial tuturor agenților astfel încât probabilitatea totală ca mesajul să fie interceptat să fie minimă.

Dacă reprezentăm agenții prin noduri și fiecare întâlnire posibilă dintre doi agenți printr-o muchie, atunci în graful rezultat $G = (N, A)$ dorim să identificăm un arbore parțial $G' = (N, A')$ care minimizează probabilitatea interceptării dată de expresia $(1 - \prod_{A'}(1 - p(i, j)))$. Deci vrem să determinăm un arbore parțial $G' = (N, A')$ care maximizează $(\prod_{A'}(1 - p(i, j)))$. Putem determina un astfel de arbore dacă definim lungimea arcului (i, j) ca fiind $\log(1 - p(i, j))$ și rezolvând problema arborelui parțial maxim.

3.4.3 Problema lanțului minimax între oricare două noduri

Într-o rețea $G = (N, A, b)$, definim valoarea unui lanț $L_{z\bar{z}}$ de la nodul z la nodul \bar{z} ca fiind valoarea maximă a muchiilor din $L_{z\bar{z}}$. Problema lanțului minimax între oricare două noduri constă în a determina între oricare două noduri z, \bar{z} un lanț de valoare minimă.

Problema lanțului minimax apare în multe situații. De exemplu, considerăm o navă spațială care trebuie să intre în atmosfera Pământului. Nava trebuie să treacă prin zone cu temperaturi diferite pe care le putem reprezenta prin muchii într-o rețea. Pentru a ajunge pe suprafața Pământului trebuie aleasă o traiectorie astfel încât temperatura maximă la care urmează să fie expusă nava să fie minimă.

Problema lanțului minimax între oricare două noduri din rețeaua $G = (N, A, b)$ este o problemă a arborelui parțial minim. Fie $G' = (N, A')$ un arbore parțial minim al grafului $G = (N, A)$ și $L'_{z\bar{z}}$ lanțul unic de la z la \bar{z} în G' . Dacă $[x, \bar{x}]$ este muchia din $L'_{z\bar{z}}$ cu valoarea maximă atunci lanțul $L'_{z\bar{z}}$ are valoarea $b[x, \bar{x}]$. Muchia $a = [x, \bar{x}]$ generează tăietura $[X, \bar{X}]_a$ și conform condițiilor de optimalitate ale tăieturii avem

$$b[x, \bar{x}] \leq b[y, \bar{y}] \text{ pentru toate muchiile } [y, \bar{y}] \in [X, \bar{X}]_a$$

Oricare alt lanț $L_{z\bar{z}}$ de la z la \bar{z} conține o muchie $[y, \bar{y}] \in [X, \bar{X}]_a$ și valoarea acestui lanț este, conform condițiilor de mai sus, cel puțin $b[x, \bar{x}]$. Rezultă că $L'_{z\bar{z}}$ este un lanț de valoare minimă de la z la \bar{z} . Deci lanțul unic dintre oricare două noduri din G' este un lanț de valoare minimă dintre oricare două noduri din G .

În continuare se prezintă două aplicații ale arborilor binari.

Capitolul 4

Distanțe și drumuri minime

4.1 Principalele probleme de drum minim

Se consideră un digraf $G = (N, A)$ cu $N = \{1, \dots, n\}$, $A = \{a_1, \dots, a_m\}$ și o funcție valoare $b : A \rightarrow \mathbb{R}$ care asociază fiecărui arc $a \in A$ un număr real $b(a)$ numit *valoarea arcului* a . Această valoare poate fi interpretată ca lungime sau cost etc.

Vom nota cu D_{xyk} un drum în digraful G de la nodul x la nodul y și cu $\mathcal{D}_{xy} = \{D_{xy1}, \dots, D_{xyr}\}$ mulțimea acestor drumuri.

Valoarea unui drum $D_{xyk} = (a_1, \dots, a_q)$, notată $b(D_{xyk})$, este numărul $b(D_{xyk}) = b(a_1) + \dots + b(a_q)$.

Definiția 4.1. Un drum D_{xyp} cu valoarea $b(D_{xyp}) = \min\{b(D_{xyk}) \mid D_{xyk} \in \mathcal{D}_{xy}\}$ se numește *drum de valoare minimă* sau *drum minim*. Valoarea $b(D_{xyp})$ a drumului minim D_{xyp} se numește *distanță* de la nodul x la nodul y și o notăm $d(x, y)$.

Există două probleme cu dificultăți privind această definiție. Prima, poate să nu existe drum de la nodul x la nodul y și a doua, poate exista drum D_{xyk} cu valoare arbitrar de mică. Prima problemă poate fi rezolvată dacă se definește $d(x, y) = \infty$. A doua problemă provine din posibilitatea existenței circuitelor de valoare negativă în rețeaua $G = (N, A, b)$.

Exemplul 4.1. În rețeaua reprezentată în figura 4.1, putem determina un drum de valoare arbitrar de mică de la nodul 1 la nodul 5 utilizând circuitul de valoare negativă (2, 3, 4, 2), ori de câte ori este necesar.

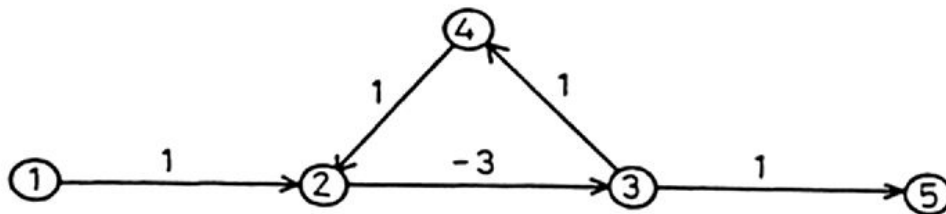


Fig.4.1

Vom presupune că rețeaua $G = (N, A, b)$ nu conține circuite cu valoare negativă.

Principalele probleme de drum minim care apar în aplicații practice sau sunt subprobleme în rezolvarea altor probleme de optimizare în rețele sunt următoarele:

(PDM1) Determinarea unui drum minim D_{stp} de la un nod precizat s la un alt nod precizat t și a valorii $b(D_{stp})$.

(PDM2) Determinarea unui drum minim D_{syp} de la un nod precizat s la nodul y și a valorii $b(D_{syp})$, pentru toate nodurile $y \in N$, $y \neq s$.

(PDM3) Determinarea unui drum minim D_{xyp} de la un nod x la nodul y și a valorii $b(D_{xyp})$, pentru toate nodurile $x, y \in N$, $x \neq y$.

Dacă $G' = (N', A')$ este un graf neorientat și $b' : A' \rightarrow \mathbb{R}^+$, atunci problemele de lanț minim din rețeaua neorientată $G' = (N', A')$ pot fi reduse la problemele de drum minim din rețeaua orientată $G = (N, A, b)$ cu $N = N'$, $A = \{(x, y), (y, x) \mid [x, y] \in A'\}$ și $b(x, y) = b(y, x) = b'[x, y]$.

PDM1 se poate rezolva utilizând un algoritm de rezolvare a PDM2 la care se adaugă un test suplimentar de oprire; PDM3 se poate rezolva iterând după s un algoritm de rezolvare a PDM2. Există însă algoritmi eficienți care rezolvă direct PDM3. De aceea în acest capitol se vor prezenta algoritmi de rezolvare pentru PDM2 și PDM3.

Observația 4.1. Dacă $d(x, y) = \infty$ atunci considerăm că există un drum D_{xyk} cu $b(D_{xyk}) = \infty$.

4.2 Ecuațiile lui Bellman

Fie rețeaua orientată $G = (N, A, b)$ și presupunem că G nu conține circuite cu valoare negativă. Pentru reprezentarea rețelei G se va folosi matricea valoare adiacență $B = (b_{ij})$ cu $i, j \in N$, unde

$$b_{ij} = \begin{cases} b(i, j) & \text{dacă } i \neq j \text{ și } (i, j) \in A; \\ 0 & \text{dacă } i = j; \\ \infty & \text{dacă } i \neq j \text{ și } (i, j) \notin A. \end{cases}$$

Fără a restrânge generalitatea presupunem că nodul s este nodul 1. Dacă $D_{1jp} = ((1, h), \dots, (k, i), (i, j))$ este un drum minim de la nodul 1 la nodul j , atunci $D_{1ip} = ((1, h), \dots, (k, i))$ este un drum minim de la nodul 1 la nodul i , altfel contrazicem faptul că D_{1jp} este drum minim. Astfel distanțele $u_j = d(1, j)$ trebuie să satisfacă ecuațiile lui Bellman:

$$u_1 = 0, \quad u_j = \min\{u_i + b_{ij} \mid i \neq j\}, \quad j = 2, \dots, n. \quad (4.1)$$

Fără a restrânge generalitatea, putem presupune că nodul 1 este un nod rădăcină al rețelei orientate G .

Teorema 4.1. Dacă în rețeaua orientată $G = (N, A, b)$ nodul 1 este nod rădăcină și G conține numai circuite $\overset{\circ}{D}$ cu $b\left(\overset{\circ}{D}\right) > 0$ atunci G conține o arborescență parțială $G' = (N, A')$ cu nodul rădăcină 1 și drumul unic de la 1 la oricare alt nod j din G' este un drum minim D_{1jp} din G .

Demonstrație. Dacă în rețeaua orientată $G = (N, A, b)$ nodul 1 este nod rădăcină atunci conform Teoremei 3.14 și Teoremei 3.16, G admite o arborescență parțială

$G' = (N, A')$ cu nodul rădăcină 1. Considerăm un nod j și determinăm un drum D_{1jp} , $u_j = b(D_{1jp})$, cu următorul procedeu. Deoarece sunt verificate ecuațiile (4.1), selectăm un arc (i, j) astfel încât $u_j = u_i + b_{ij}$. În continuare selectăm un arc (k, i) astfel încât $u_i = u_k + b_{ki}$ etc. până când se ajunge la nodul 1. Presupunem prin reducere la absurd că nu se ajunge în nodul 1. Aceasta este posibil dacă procedeul conduce la un circuit $\overset{\circ}{D} = (v, w, \dots, q, v)$. Avem următoarele ecuații: $u_v = u_q + b_{qv} = \dots = u_v + b_{vw} + \dots + b_{qv}$. Rezultă că $b(\overset{\circ}{D}) = b_{vw} + \dots + b_{qv} = u_v - u_v = 0$, care contrazice ipoteza că rețeaua G conține circuite $\overset{\circ}{D}$ cu $b(\overset{\circ}{D}) > 0$. Deci procedeul determină un drum D_{1jp} cu $u_j = b(D_{1jp})$. Astfel, aplicând procedeul pentru toate nodurile j , pentru care nu s-a determinat deja un drum D_{1jp} , se obține arborescența parțială $G' = (N, A')$ cu proprietatea din enunțul teoremei. ■

Următoarea teoremă întărește rezultatul din Teorema 4.1.

Teorema 4.2. *Dacă în rețeaua orientată $G = (N, A, b)$ nodul 1 este nod rădăcină și G nu conține circuite $\overset{\circ}{D}$ cu $b(\overset{\circ}{D}) < 0$, atunci G conține o arborescență parțială $G' = (N, A')$ cu nodul rădăcină 1 și drumul unic de la 1 la oricare alt nod j din G' este un drum minim D_{1jp} din G .*

Demonstrație. Dacă în rețeaua orientată $G = (N, A, b)$ nodul 1 este nod rădăcină, atunci conform Teoremei 3.14 și Teoremei 3.16, G admite o arborescență parțială $G' = (N, A')$ cu nodul rădăcină 1. Considerăm un nod j și un drum minim $D_{1jp} = ((1, h), \dots, (k, i), (i, j))$. Atunci avem:

$$d(1, j) = d(1, i) + b(i, j).$$

Deoarece nodul j a fost selectat arbitrar, putem să selectăm un arc (i, j) care verifică condiția anterioară pentru orice nod $j \neq 1$. În acest mod putem alege $n - 1$ arce și fie A' mulțimea acestor arce. Este evident că în digraful $G' = (N, A')$ sunt verificate relațiile $\rho^{-1} = 0$, $\rho^{-}(j) = 1$, $j = 2, \dots, n$. Rezultă că $G' = (N, A')$ este o arborescență parțială cu nodul rădăcină 1. Drumul unic de la 1 la j din G' este un drum minim D_{1jp} din G , deoarece fiecare arc din A' verifică condiția de mai sus. ■

4.3 Algoritmi pentru distanțe și drumuri minime

4.3.1 Algoritmul Dijkstra

Fie rețeaua orientată $G = (N, A, b)$ cu $b : A \rightarrow \mathbb{R}^+$. În acest caz ecuațiile lui Bellman (4.1) pot fi rezolvate cu algoritmul Dijkstra. Lista nodurilor adiacente către exterior nodului x este $V^+(x) = \{y \mid (x, y) \in A\}$. Algoritmul Dijkstra este următorul:

- (1) PROGRAM DIJKSTRA;
- (2) BEGIN
- (3) $W := N$; $d(s) := 0$; $p(s) := 0$;
- (4) FOR $y \in N - \{s\}$ DO
- (5) BEGIN
- (6) $d(y) := \infty$; $p(y) := 0$;
- (7) END;

```

(8)   WHILE  $W \neq \emptyset$  DO
(9)   BEGIN
(10)      se selectează un nod  $x \in W$  astfel încât  $d(x)$  este minimă;
(11)       $W := W - \{x\}$ ;
(12)      FOR  $y \in W \cap V^+(x)$  DO
(13)         IF  $d(x) + b(x, y) < d(y)$ 
(14)            THEN BEGIN  $d(y) := d(x) + b(x, y)$ ;  $p(y) := x$ ; END;
(15)      END;
(16)   END.

```

Teorema 4.3. *Algoritmul Dijkstra determină distanțele $d(s, y)$ și drumurile minime D_{syp} , $y \in N$, $y \neq s$, în raport cu nodul sursă s din rețeaua orientată $G = (N, A, b)$ cu $b : A \rightarrow \mathbb{R}^+$.*

Demonstrație. Din modul cum este calculată în algoritm valoarea $d(y)$ rezultă că $d(y)$ reprezintă valoarea unui drum de la nodul s la nodul y din rețeaua G . Deci are loc relația $d(s, y) \leq d(y)$ pentru fiecare nod $y \in N$. Trebuie să arătăm că $d(s, y) = d(y)$ pentru fiecare $y \in N$. Pentru aceasta vom demonstra prin inducție după ordinea în care nodurile sunt eliminate din W că $d(y) \leq d(s, y)$ pentru fiecare nod $y \in N$.

Primul nod eliminat este s și evident că $d(s) = 0 = d(s, s)$. Presupunem că $d(y) \leq d(s, y)$ pentru toate nodurile y care au fost eliminate din W înaintea nodului z . Fie $D_{szp} = (x_0, x_1, \dots, x_{k-1}, x_k)$ un drum minim de la $x_0 = s$ la $x_k = z$. Atunci pentru $h = 1, \dots, k$ avem

$$d(s, x_h) = \sum_{i=1}^h b(x_{i-1}, x_i)$$

Fie j indicele maxim astfel încât x_j a fost eliminat din W înaintea lui z . Deoarece $x_{j+1} \in W$, $x_{j+1} \in V^+(x_j)$ rezultă că după eliminarea lui x_j din W avem $d(x_{j+1}) \leq d(x_j) + b(x_j, x_{j+1})$. Această inegalitate se păstrează și când este eliminat nodul z din W , deoarece $d(x_j)$ rămâne nemodificată ($x_j \notin W$) și $d(x_{j+1})$ poate numai să descrească. De asemenea, din ipoteza inducției avem $d(x_j) = d(s, x_j)$. Astfel

$$d(x_{j+1}) \leq d(x_j) + b(x_j, x_{j+1}) = d(s, x_j) + b(x_j, x_{j+1}) = d(s, x_{j+1}) \leq d(s, z) \quad (4.2)$$

Pot exista următoarele două cazuri:

(c₁) $j = k - 1$. În acest caz $x_{j+1} = x_k = z$. Din relația (4.2) rezultă $d(z) \leq d(s, z)$;
(c₂) $j < k - 1$. În acest caz $x_{j+1} \neq x_k = z$. Dacă $d(s, z) < d(z)$, atunci din relația (4.2) rezultă că $d(x_{j+1}) < d(z)$. Conform liniei (10) din algoritm deducem că x_{j+1} este eliminat din W înaintea lui z . Aceasta contrazice modul de alegere a indicelui j . Astfel și în acest caz avem $d(z) \leq d(s, z)$.

Am demonstrat că $d(y) = d(s, y)$ pentru fiecare $y \in N$, $y \neq s$. Orice drum minim D_{syp} de la nodul s la nodul y se determină cu elementele tabloului predecesor p . ■

Teorema 4.4. *Algoritmul Dijkstra are complexitatea $O(n^2)$.*

Demonstrație. Pentru selectarea nodului $x \in W$ astfel încât $d(x)$ este minimă sunt necesare cel mult $n - 1$ comparații. Ciclul FOR se execută de cel mult $n - 1$ ori. Ciclul WHILE se execută de n ori. Deci algoritmul are complexitatea $O(n^2)$. ■

Observația 4.2. Algoritmul Dijkstra poate să conducă la rezultate eronate dacă rețeaua $G = (N, A, b)$ conține și arce cu valoare negativă, chiar dacă nu conține circuite cu valoare negativă. În acest caz estimarea din relația (4.2) nu mai este valabilă întotdeauna. De exemplu, dacă se aplică algoritmul Dijkstra rețelei reprezentate în figura 4.2 se determină drumul minim $D_{13p} = (1, 3)$ cu $b(D_{13p}) = 1$.

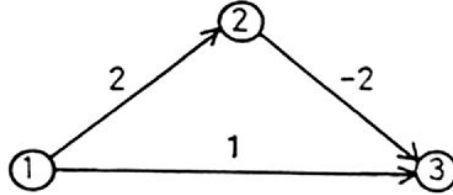


Fig.4.2

În realitate $D_{13p} = (1, 2, 3)$ cu $b(D_{13p}) = 0$.

Algoritmul lui Dijkstra poate fi implementat în mai multe moduri în funcție de structurile de date utilizate. Astfel, fiecare implementare poate avea o altă complexitate. Aceste aspecte vor fi prezentate în ultimul paragraf al acestui capitol.

Exemplul 4.2. Se consideră rețeaua reprezentată în figura 4.3. Să se aplice algoritmul Dijkstra acestei rețele.

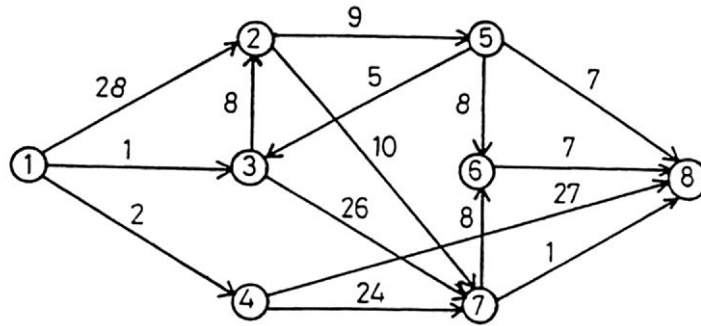


Fig.4.3

Inițializări: $W = \{1, 2, 3, 4, 5, 6, 7, 8\}$, $d = (0, \infty, \infty, \infty, \infty, \infty, \infty, \infty)$, $p = (0, 0, 0, 0, 0, 0, 0, 0)$;
 Iterația 1: $x = 1$, $W = \{2, 3, 4, 5, 6, 7, 8\}$, $d = (0, 28, 1, 2, \infty, \infty, \infty, \infty)$, $p = (0, 1, 1, 1, 0, 0, 0, 0)$;
 Iterația 2: $x = 3$, $W = \{2, 4, 5, 6, 7, 8\}$, $d = (0, 9, 1, 2, \infty, \infty, 27, \infty)$, $p = (0, 3, 1, 1, 0, 0, 3, 0)$;
 Iterația 3: $x = 4$, $W = \{2, 5, 6, 7, 8\}$, $d = (0, 9, 1, 2, \infty, \infty, 26, 29)$, $p = (0, 3, 1, 1, 0, 0, 4, 4)$;
 Iterația 4: $x = 2$, $W = \{5, 6, 7, 8\}$, $d = (0, 9, 1, 2, 18, \infty, 19, 29)$, $p = (0, 3, 1, 1, 2, 0, 2, 4)$;
 Iterația 5: $x = 5$, $W = \{6, 7, 8\}$, $d = (0, 9, 1, 2, 18, 26, 19, 25)$, $p = (0, 3, 1, 1, 2, 5, 2, 5)$;
 Iterația 6: $x = 7$, $W = \{6, 8\}$, $d = (0, 9, 1, 2, 18, 26, 19, 20)$, $p = (0, 3, 1, 1, 2, 5, 2, 7)$;
 Iterația 7: $x = 8$, $W = \{6\}$, $d = (0, 9, 1, 2, 18, 26, 19, 20)$, $p = (0, 3, 1, 1, 2, 5, 2, 7)$;
 Iterația 8: $x = 6$, $W = \emptyset$, $d = (0, 9, 1, 2, 18, 26, 19, 20)$, $p = (0, 3, 1, 1, 2, 5, 2, 7)$.

Să determinăm D_{18p} . Avem $p(8) = 7, p(7) = 2, p(2) = 3, p(3) = 1$ și $D_{18p} = (1, 3, 2, 7, 8)$ cu $b(D_{18p}) = d(1, 8) = d(8) = 20$.

Arborescența parțială $G' = (N, A')$ este reprezentată în figura 4.4.

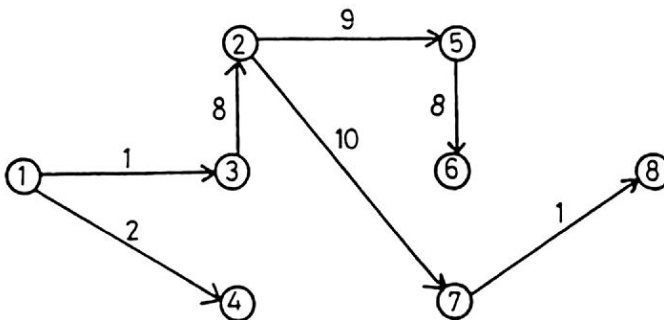


Fig.4.4

4.3.2 Algoritmul Bellman-Ford

Fie rețeaua orientată $G = (N, A, b)$ cu $b : A \rightarrow \mathbb{R}$ și G nu conține circuite $\overset{\circ}{D}$ cu valoarea $b(\overset{\circ}{D}) < 0$. În acest caz ecuațiile lui Bellman (4.1.) pot fi rezolvate cu algoritmul Bellman-Ford. Lista nodurilor adiacente către interior nodului y este $V^-(y) = \{x \mid (x, y) \in A\}$. Algoritmul Bellman-Ford este următorul:

```

(1)  PROGRAM BELLMAN-FORD;
(2)  BEGIN
(3)     $d(s) := 0; p(s) := 0;$ 
(4)    FOR  $y \in N - \{s\}$  DO
(5)      BEGIN
(6)         $d(y) := \infty; p(y) := 0;$ 
(7)      END;
(8)    REPEAT
(9)      FOR  $y \in N$  DO
(10)         $d'(y) := d(y);$ 
(11)      FOR  $y \in N$  DO
(12)        IF  $V^-(y) \neq \emptyset$ 
(13)          THEN BEGIN
(14)            se selectează  $x \in V^-(y)$  astfel încât  $d'(x) + b(x, y)$ 
              este minimă;
(15)            IF  $d'(x) + b(x, y) < d'(y)$ 
(16)              THEN BEGIN  $d(y) := d'(x) + b(x, y);$ 
               $p(y) := x;$  END;
(17)          END;
(18)    UNTIL  $d(y) = d'(y)$  pentru toate nodurile  $y \in N$ ;
(19)  END.

```

Teorema 4.5. Algoritmul Bellman-Ford determină distanțele $d(s, y)$ și drumurile minime D_{syp} , $y \in N$, $y \neq s$, în raport cu nodul sursă s din rețeaua orientată $G = (N, A, b)$ cu $b : A \rightarrow \mathbb{R}$ și G nu conține circuite \hat{D} cu valoarea $b(\hat{D}) < 0$.

Demonstrație. Mai întâi precizăm că liniile de la (12) la (17) sunt echivalente, referitor la valorile $d(y)$ cu

$$d(y) = \min\{d'(y), \min\{d'(x) + b(x, y) \mid x \in V^-(y)\}\}.$$

Dacă notăm cu $d_0(y)$ valorile definite în liniile (3), (6) și prin $d_{k+1}(y)$ valorile calculate în timpul iterației $k + 1$ a ciclului REPEAT, atunci conform celor precizate mai sus avem

$$d_{k+1}(y) = \min\{d_k(y), \min\{d_k(x) + b(x, y) \mid x \in V^-(y)\}\}.$$

Prin $\ell(D_{syi})$ notăm numărul de arce ale drumului D_{syi} de la nodul s la nodul y și prin \mathcal{D}_{sy} mulțimea acestor drumuri. Vom arăta prin inducție după k faptul că

$$d_k(y) = \min\{b(D_{syi}) \mid D_{syi} \in \mathcal{D}_{sy}, \ell D_{syi} \leq k\}.$$

Pentru $k = 0$ afirmația este evident adevărată. Presupunem că afirmația este adevărată pentru k . Să arătăm că

$$d_{k+1}(y) = \min\{b(D'_{syi}) \mid D'_{syi} \in \mathcal{D}_{sy}, \ell D_{syi} \leq k + 1\}.$$

$$\begin{aligned} \text{Avem } \min\{b(D'_{syi}) \mid D'_{syi} \in \mathcal{D}_{sy}, \ell D_{syi} \leq k + 1\} &= \\ &= \min\{\min\{b(D'_{syi}) \mid D'_{syi} \in \mathcal{D}_{sy}, \ell D_{syi} \leq k\}, \\ &\min\{b(D'_{syi}) \mid D'_{syi} \in \mathcal{D}_{sy}, \ell D_{syi} = k + 1\}\} = \\ &= \min\{d_k(y), \min\{d_k(x) + b(x, y) \mid x \in V^-(y)\}\} = d_{k+1}(y). \end{aligned}$$

Dacă G nu conține circuite \hat{D} cu valoarea $b(\hat{D}) < 0$, atunci un drum minim de la s la y poate să conțină cel mult $n - 1$ arce. Deci condiția din linia (18) este satisfăcută după cel mult n iterații ale ciclului REPEAT și $d(y) = d(s, y)$ pentru toți $y \in N$, $y \neq s$. Un drum minim D_{syp} de la nodul s la nodul y se determină cu elementele tabloului predecesor p . ■

Teorema 4.6. Algoritmul Bellman-Ford are complexitatea $O(mn)$.

Demonstrație. În Teorema 4.5 am arătat că ciclul REPEAT se execută de cel mult n ori. O iterație a ciclului REPEAT are complexitatea $O(m)$. Deci algoritmul are complexitatea $O(mn)$. ■

Observația 4.3. Dacă eliminăm liniile (9), (10), (18), înlocuim în linia (8) REPEAT prin FOR $k = 1$ TO n DO și valorile $d'(x), d'(y)$ prin $d(x)$ respectiv $d(y)$, atunci se obține posibilitatea testării existenței unui circuit de valoare negativă în rețeaua $G = (N, A, b)$. Într-adevăr, dacă după execuția algoritmului există un arc (x, y) astfel încât $d(x) + b(x, y) < d(y)$, atunci înseamnă că $d(x)$ descrește nelimitat, lucru posibil numai dacă un drum D_{sxi} conține un circuit \hat{D} cu $b(\hat{D}) < 0$.

Exemplul 4.3. Se consideră rețeaua reprezentată în figura 4.5.

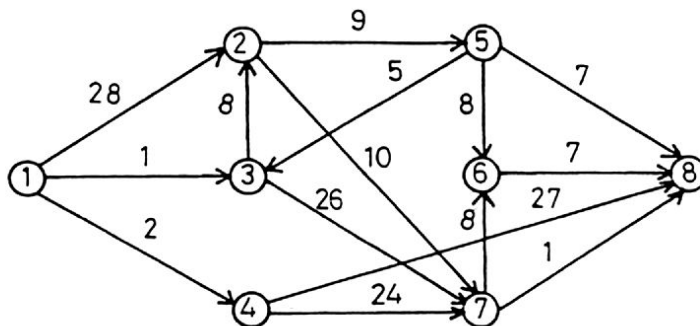


Fig.4.5

Avem $V^-(1) = \emptyset$, $V^-(2) = \{1, 3\}$, $V^-(3) = \{1, 5\}$, $V^-(4) = \{1\}$, $V^-(5) = \{2\}$, $V^-(6) = \{5, 7\}$, $V^-(7) = \{2, 3, 4\}$, $V^-(8) = \{4, 5, 6, 7\}$.

Inițializări: $d = (0, \infty, \infty, \infty, \infty, \infty, \infty, \infty)$, $p = (0, 0, 0, 0, 0, 0, 0, 0)$.

Iterația 1: $d' = (0, \infty, \infty, \infty, \infty, \infty, \infty, \infty)$;

$y = 1 : d(1) = 0, p(1) = 0$;

$y = 2 : x = 1, d(2) = 28, p(2) = 1$;

$y = 3 : x = 1, d(3) = 1, p(3) = 1$;

$y = 4 : x = 1, d(4) = 2, p(4) = 1$;

$y = 5 : x = 2, d(5) = \infty, p(5) = 0$;

$y = 6 : x = 5, d(6) = \infty, p(6) = 0$;

$y = 7 : x = 2, d(7) = \infty, p(7) = 0$;

$y = 8 : x = 4, d(8) = \infty, p(8) = 0$;

S-a obținut $d = (0, 28, 1, 2, \infty, \infty, \infty, \infty)$, $p = (0, 1, 1, 1, 0, 0, 0, 0)$.

Iterația 2: $d' = (0, 28, 1, 2, \infty, \infty, \infty, \infty)$,

$d = (0, 9, 1, 2, 37, \infty, 26, 29)$, $p = (0, 3, 1, 1, 2, 0, 4, 4)$.

Iterația 3: $d' = (0, 9, 1, 2, 37, \infty, 26, 29)$,

$d = (0, 9, 1, 2, 28, 34, 19, 27)$, $p = (0, 3, 1, 1, 2, 7, 2, 7)$.

Iterația 4: $d' = (0, 9, 1, 2, 18, 34, 19, 27)$,

$d = (0, 9, 1, 2, 18, 26, 19, 20)$, $p = (0, 3, 1, 1, 2, 5, 2, 7)$.

Iterația 5: $d' = (0, 9, 1, 2, 18, 26, 19, 20)$,

$d = (0, 9, 1, 2, 18, 26, 19, 20)$, $p = (0, 3, 1, 1, 2, 5, 2, 7)$.

4.3.3 Algoritmul Floyd-Warshall

Fie rețeaua orientată $G = (N, A, b)$. Se pune problema rezolvării PDM3, adică determinarea distanței $d(i, j)$ și a unui drum minim D_{ijp} între oricare două noduri $i, j \in N, i \neq j$. Dacă $b : A \rightarrow \mathbb{R}^+$, atunci PDM3 se poate rezolva iterând după $s \in N$ algoritmul Dijkstra și se obține un algoritm cu complexitatea $O(n^3)$. Dacă $b : A \rightarrow \mathbb{R}$ și G nu conține circuite $\overset{\circ}{D}$ cu valoarea $b(\overset{\circ}{D}) < 0$, atunci PDM3 se poate rezolva iterând după $s \in N$ algoritmul Bellman-Ford și se obține un algoritm cu complexitatea $O(mn^2)$. Algoritmul Floyd-Warshall rezolvă PDM3 în cazul $b : A \rightarrow \mathbb{R}$ și G nu conține circuite $\overset{\circ}{D}$ cu valoarea $b(\overset{\circ}{D}) < 0$. Acest algoritm are complexitatea $O(n^3)$. Evident că

algoritmul Floyd-Warshall este mai avantajos în rezolvarea PDM3 decât iterarea după nodul s a algoritmului Dijkstra sau a algoritmului Bellman-Ford.

Considerăm rețeaua orientată $G = (N, A, b)$ reprezentată prin matricea valoare adiacentă $B = (b_{ij}), i, j \in N$ cu

$$b_{ij} = \begin{cases} b(i, j) & \text{dacă } i \neq j \text{ și } (i, j) \in A; \\ 0 & \text{dacă } i = j; \\ \infty & \text{dacă } i \neq j \text{ și } (i, j) \notin A. \end{cases}$$

Algoritmul Floyd-Warshall determină matricea distanțelor $D = (d_{ij}), i, j \in N$ și matricea predecesor $P = (p_{ij}), i, j \in N$.

```
(1)  PROGRAM FLOYD-WARSHALL;
(2)  BEGIN
(3)    FOR  $i := 1$  TO  $n$  DO
(4)      FOR  $j := 1$  TO  $n$  DO
(5)        BEGIN
(6)           $d_{ij} := b_{ij}$ ;
(7)          IF  $i \neq j$  AND  $d_{ij} < \infty$ 
(8)            THEN  $p_{ij} := i$ 
(9)            ELSE  $p_{ij} := 0$ 
(10)         END;
(11)     FOR  $k := 1$  TO  $n$  DO
(12)       FOR  $i := 1$  TO  $n$  DO
(13)         FOR  $j := 1$  TO  $n$  DO
(14)           IF  $d_{ik} + d_{kj} < d_{ij}$ 
(15)             THEN BEGIN  $d_{ij} := d_{ik} + d_{kj}$ ;  $p_{ij} := p_{kj}$ ; END;
(16)         END.
```

Un drum minim D_{ijp} de la nodul i la nodul j se determină cu algoritmul următor:

```
(1)  PROGRAM DRUM;
(2)  BEGIN
(3)     $k := n$ ;  $x_k := j$ ;
(4)    WHILE  $x_k \neq i$  DO
(5)      BEGIN
(6)         $x_{k-1} := p_{ix_k}$ ;
(7)         $k := k - 1$ ;
(8)      END;
(9)  END.
```

Drumul minim este $D_{ijp} = (x_k, x_{k+1}, \dots, x_{n-1}, x_n) = (i, x_{k+1}, \dots, x_{n-1}, j)$.

Teorema 4.7. Algoritmul Floyd-Warshall determină matricea distanțelor D și matricea predecesor P ale rețelei orientate $G = (N, A, b)$ cu $b : A \rightarrow \mathbb{R}$ și cu proprietatea că G nu conține circuite $\overset{\circ}{D}$ cu valoarea $b(\overset{\circ}{D}) < 0$.

Demonstrație. Fie D_0, P_0 matricele definite în liniile (3) la (10) și D_k, P_k matricele calculate în liniile (11) la (15) la iterația k . Prin inducție după k arătăm că $D_k = (d_{ij}^k)$ este matricea valorilor drumurilor minime de la i la j având nodurile interioare din $\{1, \dots, k\}$. Pentru $k = 0$ avem $D_0 = B$ și afirmația este evident adevărată. Presupunem afirmația adevărată pentru $k - 1$. Liniile (14), (15) la iterația k sunt echivalente cu $d_{ij}^k = \min\{d_{ij}^{k-1}, d_{ik}^{k-1} + d_{kj}^{k-1}\}$. Din ipoteza inductivă și principiul optimalității lui Bellman rezultă că $D_k = (d_{ij}^k)$ este matricea valorilor drumurilor minime de la i la j având nodurile interioare din $\{1, \dots, k\}$. Deoarece G nu conține circuite $\overset{\circ}{D}$ cu valoarea $b(\overset{\circ}{D}) < 0$ și în conformitate cu cele precizate mai sus rezultă că D_n este matricea distanțelor. De asemenea, din modul cum se determină p_{ij} rezultă că P_n este matricea predecesor cu ajutorul căreia se determină drumurile minime D_{ijp} . ■

Teorema 4.8. Algoritmul Floyd-Warshall are complexitatea $O(n^3)$.

Demonstrație. Evident. ■

Observația 4.4. Dacă se definește $b_{ii} = \infty$, $i \in N$, atunci elementul $d_{ii} < \infty$ reprezintă valoarea unui circuit minim ce trece prin i . Dacă $b_{ii} = 0$, $i \in N$ și se renunță la ipoteza restrictivă că oricare circuit $\overset{\circ}{D}$ are valoarea $b(\overset{\circ}{D}) \geq 0$, atunci se obține posibilitatea testării existenței circuitelor de valoare negativă în rețeaua orientată $G = (N, A, b)$. Într-adevăr, dacă $d_{ii} < 0$ atunci rețeaua conține un circuit de valoare negativă care trece prin nodul i .

Exemplul 4.4. Se consideră rețeaua reprezentată în figura 4.6.

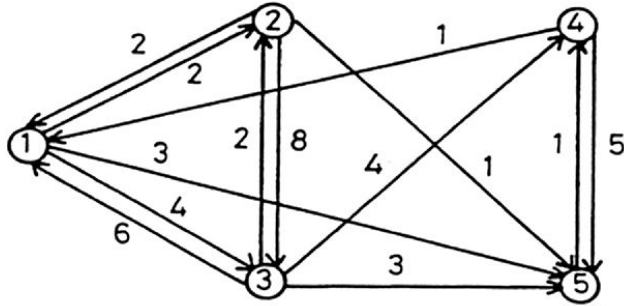


Fig.4.6

$$D_0 = \begin{bmatrix} 0 & 2 & 4 & \infty & 3 \\ 2 & 0 & 8 & \infty & 1 \\ 6 & 2 & 0 & 4 & 3 \\ 1 & \infty & \infty & 0 & 5 \\ \infty & \infty & \infty & 1 & 0 \end{bmatrix}, \quad P_0 = \begin{bmatrix} 0 & 1 & 1 & 0 & 1 \\ 2 & 0 & 2 & 0 & 2 \\ 3 & 3 & 0 & 3 & 3 \\ 4 & 0 & 0 & 0 & 4 \\ 0 & 0 & 0 & 5 & 0 \end{bmatrix}$$

$$D_1 = \begin{bmatrix} 0 & 2 & 4 & \infty & 3 \\ 2 & 0 & 6 & \infty & 1 \\ 6 & 2 & 0 & 4 & 3 \\ 1 & 3 & 5 & 0 & 4 \\ \infty & \infty & \infty & 1 & 0 \end{bmatrix}, \quad P_1 = \begin{bmatrix} 0 & 1 & 1 & 0 & 1 \\ 2 & 0 & 1 & 0 & 2 \\ 3 & 3 & 0 & 3 & 3 \\ 4 & 1 & 1 & 0 & 1 \\ 0 & 0 & 0 & 5 & 0 \end{bmatrix}$$

$$\begin{aligned}
D_2 &= \begin{bmatrix} 0 & 2 & 4 & \infty & 3 \\ 2 & 0 & 6 & \infty & 1 \\ 4 & 2 & 0 & 4 & 3 \\ 1 & 3 & 5 & 0 & 4 \\ \infty & \infty & \infty & 1 & 0 \end{bmatrix}, & P_2 &= \begin{bmatrix} 0 & 1 & 1 & 0 & 1 \\ 2 & 0 & 1 & 0 & 2 \\ 2 & 3 & 0 & 3 & 3 \\ 4 & 1 & 1 & 0 & 1 \\ 0 & 0 & 0 & 5 & 0 \end{bmatrix} \\
D_3 &= \begin{bmatrix} 0 & 2 & 4 & 8 & 3 \\ 2 & 0 & 6 & 10 & 1 \\ 4 & 2 & 0 & 4 & 3 \\ 1 & 3 & 5 & 0 & 4 \\ \infty & \infty & \infty & 1 & 0 \end{bmatrix}, & P_3 &= \begin{bmatrix} 0 & 1 & 1 & 3 & 1 \\ 2 & 0 & 1 & 3 & 2 \\ 2 & 3 & 0 & 3 & 3 \\ 4 & 1 & 1 & 0 & 1 \\ 0 & 0 & 0 & 5 & 0 \end{bmatrix} \\
D_4 &= \begin{bmatrix} 0 & 2 & 4 & 8 & 3 \\ 2 & 0 & 6 & 10 & 1 \\ 4 & 2 & 0 & 4 & 3 \\ 1 & 3 & 5 & 0 & 4 \\ 2 & 4 & 6 & 1 & 0 \end{bmatrix}, & P_4 &= \begin{bmatrix} 0 & 1 & 1 & 3 & 1 \\ 2 & 0 & 1 & 3 & 2 \\ 2 & 3 & 0 & 3 & 3 \\ 4 & 1 & 1 & 0 & 1 \\ 4 & 1 & 1 & 5 & 0 \end{bmatrix} \\
D_5 &= \begin{bmatrix} 0 & 2 & 4 & 4 & 3 \\ 2 & 0 & 6 & 2 & 1 \\ 4 & 2 & 0 & 4 & 3 \\ 1 & 3 & 5 & 0 & 4 \\ 2 & 4 & 6 & 1 & 0 \end{bmatrix}, & P_5 &= \begin{bmatrix} 0 & 1 & 1 & 5 & 1 \\ 2 & 0 & 1 & 5 & 2 \\ 2 & 3 & 0 & 3 & 3 \\ 4 & 1 & 1 & 0 & 1 \\ 4 & 1 & 1 & 5 & 0 \end{bmatrix}
\end{aligned}$$

Să determinăm drumul minim $D_{52p} : x_5 = 2, x_4 = p_{52} = 1, x_3 = p_{51} = 4, x_2 = p_{54} = 5$, deci $D_{52p} = (5, 4, 1, 2)$ cu $b(D_{52p}) = b(5, 4) + b(4, 1) + b(1, 2) = 1 + 1 + 2 = 4 = d(5, 2)$.

4.4 Aplicații

4.4.1 Rețele de comunicații

O rețea $G = (N, A, b)$ poate reprezenta o rețea de comunicație cu nodurile N și rutele directe între noduri formând mulțimea arcelor A . Dacă $b(a)$ reprezintă lungimea arcului a , atunci PDM1, PDM2, PDM3 definite în paragraful 4.1 reprezintă probleme naturale care se pun în astfel de rețele: determinarea drumului/drumurilor cel/celor mai scurt/scurte. Un exemplu concret a fost prezentat în paragraful 1.6.

O problemă specială constă în determinarea drumului cel mai sigur de la nodul s la nodul t . Dacă $p(i, j)$ este o *probabilitate* de funcționare a arcului $(i, j) \in A$ atunci, presupunând că arcele funcționează independent unele de altele, probabilitatea de funcționare a drumului D este: $p(D) = \prod_D p(i, j)$. Considerând $b(i, j) = -\log p(i, j)$, problema drumului minim de la s la t semnifică determinarea drumului cel mai sigur de la s la t .

4.4.2 Problema rucsacului

Problema rucsacului este un model clasic în literatura cercetărilor operaționale.

Un excursionist trebuie să decidă ce obiecte să includă în rucsacul său în vederea unei călătorii. El are de ales între p obiecte, obiectul i are greutatea g_i (în kilograme) și o utilitate u_i adusă de introducerea obiectului i în rucsac. Obiectivul excursionistului este să maximizeze utilitatea călătoriei astfel încât greutatea obiectelor introduse în rucsac să nu depășească g kilograme. Această problemă a rucsacului are următoarea formulare ca problemă de programare în numere întregi:

$$\max \sum_{i=1}^p u_i x_i$$

$$\sum_{i=1}^p g_i x_i \leq g$$

$$x_i \in \{0, 1\} \text{ pentru } i = 1, \dots, p$$

Această problemă se poate rezolva utilizând metode ale programării dinamice. În continuare vom formula problema rucsacului ca o problemă de drum optim într-o rețea. Această aplicație pune în evidență legătura dintre modelele de programare dinamică discretă și problemele de drum optim într-o rețea.

Asociem problemei rucsacului o problemă de drum optim într-o rețea $G = (N, A, b)$ care se definește în modul următor. Mulțimea nodurilor este $N = N_0 \cup N_1 \cup \dots \cup N_p \cup N_{p+1}$, unde $N_0 = \{s\}$, $N_i = \{i(0), \dots, i(g)\}$, $i = 1, \dots, p$, $N_{p+1} = \{t\}$. Submulțimile de noduri $N_0, N_1, \dots, N_p, N_{p+1}$ reprezintă straturi ale mulțimii nodurilor: N_0 stratul corespunzător nodului sursă s , N_1, \dots, N_p straturile corespunzătoare obiectelor $1, \dots, p$ și N_{p+1} stratul corespunzător nodului stoc t . Nodul $i(k)$ are semnificația că obiectele $1, \dots, i$ au consumat k unități din capacitatea rucsacului. Nodul $i(k)$ are cel mult două arce incidente către exterior, corespunzătoare următoarelor două decizii:

(1) nu se include obiectul $i + 1$ în rucsac;

(2) se include obiectul $i + 1$ în rucsac, dacă $k + g_{i+1} \leq g$.

Arcul corespunzător primei decizii este $(i(k), (i + 1)(k))$ cu $b(i(k), (i + 1)(k)) = 0$ și arcul corespunzător celei de a doua decizii (cu condiția $k + g_{i+1} \leq g$) este $(i(k), (i + 1)(k + g_{i+1}))$ cu $b(i(k), (i + 1)(k + g_{i+1})) = u_{i+1}$. Nodul sursă s are două arce incidente către exterior: $(s, 1(0))$ cu $b(s, 1(0)) = 0$ și $(s, 1(g_1))$ cu $b(s, 1(g_1)) = u_1$ corespunzătoare celor două decizii de a nu include sau de a include obiectul 1 în rucsac. Se introduc și arcele $(p(k), t)$ cu $b(p(k), t) = 0$, $k = 0, \dots, g$.

Fiecare soluție admisibilă a problemei rucsacului definește un drum de la nodul sursă s la nodul stoc t ; soluția admisibilă și drumul au aceeași utilitate. Invers, fiecare drum de la nodul sursă s la nodul stoc t definește o soluție admisibilă a problemei rucsacului cu aceeași utilitate.

Exemplul 4.5. Ilustrăm formularea prezentată mai sus pentru o problemă a rucsacului cu patru obiecte care au greutatea și utilitățile indicate în tabelul de mai jos.

i	1	2	3	4
u_i	40	15	20	10
g_i	4	2	3	1

Figura 4.7 arată rețeaua $G = (N, A, b)$ asociată problemei rucsacului presupunând că rucsacul are capacitatea de $g = 6$.

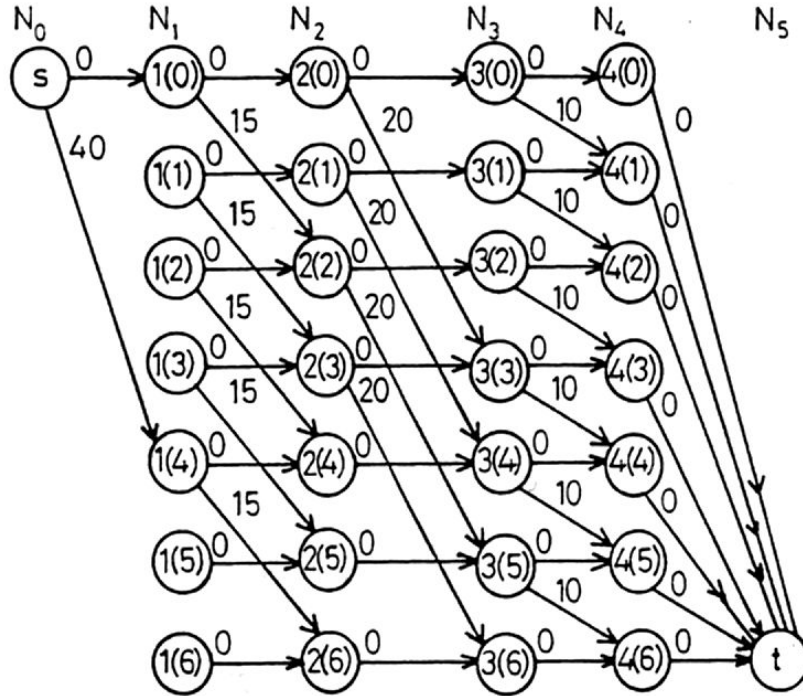


Fig.4.7

Drumul $D = (s, 1(0), 2(2), 3(5), 4(5), t)$ implică soluția care include obiectele 2 și 3 în rucsac și exclude obiectele 1 și 4.

Correspondența dintre problema rucsacului și rețeaua asociată $G = (N, A, b)$ arată că dacă în rețeaua G se determină un drum de utilitate maximă (drum maxim) de la nodul sursă s la nodul stoc t se rezolvă problema rucsacului. Putem transforma problema drumului maxim într-o problemă de drum minim prin definirea costurilor arcelor egale cu valorile negative ale utilităților arcelor. Deoarece rețeaua $G = (N, A, b)$ este o rețea secvențială (arcele sunt de la stratul N_i la stratul N_{i+1} , $i = 0, 1, \dots, p$) ea nu conține circuite și deci în G nu există circuite \vec{D} cu $b(\vec{D}) < 0$. Astfel problema drumului minim în rețeaua G poate fi rezolvată cu algoritmul Bellman-Ford, eventual ușor modificat.

4.4.3 Programarea proiectelor

Pentru executarea unui proiect complex (de exemplu, construcția unui baraj, a unui centru comercial sau a unui avion), diferitele activități trebuie să fie bine coordonate pentru a evita pierderea de timp și bani. Problemele practice sunt complexe datorită restricțiilor de utilizare concurrentă a resurselor (oameni, utilaje etc.) de către diversele activități. Ne limităm la cazul simplu unde avem restricții pe secvența cronologică a activităților: există unele activități care nu pot începe înaintea terminării altor activități.

Se cere să se determine un plan de organizare a proiectului astfel încât timpul total de execuție să fie minim. Două metode foarte similare pentru rezolvarea acestei probleme, numite *Critical Path Method (CPM)* și *Project Evaluation and Review Technique (PERT)* au fost dezvoltate între anii 1956 și 1958 de două grupuri diferite. CPM a fost introdus de E.I. du Pont de la Nemours & Company pentru programarea proiectelor de construcții și PERT a fost introdus de Remington Rand de la U.S. Navy pentru programarea cercetării și dezvoltării activităților din cadrul programului rachetei Polaris. CPM - PERT este bazată pe determinarea drumurilor maxime într-o rețea orientată fără circuite. Vom utiliza o formulare în care activitățile proiectului sunt reprezentate prin noduri; alternativ, se pot reprezenta prin arce.

Asociem proiectului o rețea orientată $G = (N, A, b)$ în modul următor. Mulțimea nodurilor $N = \{1, \dots, n\}$ este mulțimea activităților proiectului. Mulțimea arcelor este $A = \{(i, j) \mid i, j \in N, \text{ activitatea } j \text{ urmează imediat după (nu există activități intermediare) activitatea } i\}$. Dacă τ_i este timpul de execuție al activității i , atunci valoarea arcului (i, j) este $b(i, j) = \tau_i$. Observăm că G este fără circuite, deoarece altfel activitățile dintr-un circuit niciodată nu pot să înceapă. În acest caz G conține cel puțin un nod y cu $\rho^-(y) = 0$ și cel puțin un nod x cu $\rho^+(x) = 0$. Construim rețeaua extinsă $\tilde{G} = (\tilde{N}, \tilde{A}, \tilde{b})$ unde $\tilde{N} = \tilde{N}_1 \cup \tilde{N}_2 \cup \tilde{N}_3$, $\tilde{N}_1 = \{s\}$, $\tilde{N}_2 = N$, $\tilde{N}_3 = \{t\}$, $\tilde{A} = \tilde{A}_1 \cup \tilde{A}_2 \cup \tilde{A}_3$, $\tilde{A}_1 = \{(s, y) \mid y \in \tilde{N}_2, \rho^-(y) = 0\}$, $\tilde{A}_2 = A$, $\tilde{A}_3 = \{(x, t) \mid x \in \tilde{N}_2, \rho^+(x) = 0\}$, $\tilde{b}(s, y) = 0$, $(s, y) \in \tilde{A}_1$, $\tilde{b}(x, y) = b(x, y)$, $(x, y) \in \tilde{A}_2$, $\tilde{b}(x, t) = \tau_x$, $(x, t) \in \tilde{A}_3$. Nodul sursă s este nod rădăcină al rețelei \tilde{G} și considerăm \tilde{G} sortată topologic.

Notăm cu $\tilde{d}(i)$ timpul cel mai devreme posibil la care poate să înceapă activitatea i . Deoarece toate activitățile predecesoare activității i au fost terminate, obținem următorul sistem de ecuații:

$$\tilde{d}(s) = 0, \tilde{d}(j) = \max\{\tilde{d}(i) + \tilde{b}(i, j) \mid (i, j) \in \tilde{A}\}.$$

Acest sistem de ecuații este similar sistemului ecuațiilor lui Bellman și descrie drumurile maxime din \tilde{G} . La fel ca în cazul sistemului ecuațiilor lui Bellman sistemul de mai sus are soluție unică și poate fi rezolvat recursiv deoarece \tilde{G} este sortată topologic. Timpul minim de execuție al proiectului este $T = \tilde{d}(t)$ valoarea maximă a drumului de la s la t . Dacă proiectul este terminat la timpul T , timpul cel mai târziu $T(i)$ la care putem începe activitatea i este dat recursiv de

$$T(t) = T, T(i) = \min\{T(j) - \tilde{b}(i, j) \mid (i, j) \in \tilde{A}\}.$$

Astfel, $T(t) - T(i)$ este valoarea drumului maxim de la i la t . Evident, considerăm $T(s) = 0$. Rezerva de timp a activității i este $r(i) = T(i) - \tilde{d}(i)$. Toate activitățile i având rezerva $r(i) = 0$ se numesc *activități critice*, deoarece ele trebuie să înceapă la timpul $T(i) = \tilde{d}(i)$, astfel orice întârziere a lor conduce la întârzierea execuției proiectului. Observăm că fiecare drum maxim de la s la t conține numai activități critice; pentru acest motiv fiecare astfel de drum este numit *drum critic*. În general există mai multe drumuri critice.

Exemplul 4.6. Considerăm simplificat construcția unei case. Lista activităților, a timpilor necesari acestor activități și activitățile predecesoare fiecărei activități sunt prezentate în tabelul de mai jos.

Nod	Activitate	Timp	Activitate predecesoare
1	Pregătirea șantierului de lucru	3	-
2	Furnizarea materialelor de construcții	2	-
3	Săparea șanțurilor pentru fundație	2	1,2
4	Construirea fundației	2	3
5	Construirea zidurilor	7	4
6	Construirea suporturilor acoperișului	3	5
7	Acoperirea acoperișului	1	6
8	Instalații exterioare casei	3	4
9	Tencuire exterioară	2	7,8
10	Punerea ferestrelor	1	7,8
11	Punerea tavanelor (plafoanelor)	3	5
12	Pregătirea grădinii	4	9,10
13	Instalații exterioare casei	5	11
14	Izolarea pereților	3	10,13
15	Zugrăvirea pereților	3	14
16	Mutarea	5	15

Rețeaua orientată $\tilde{G} = (\tilde{N}, \tilde{A}, \tilde{b})$ este reprezentată în figura 4.8.

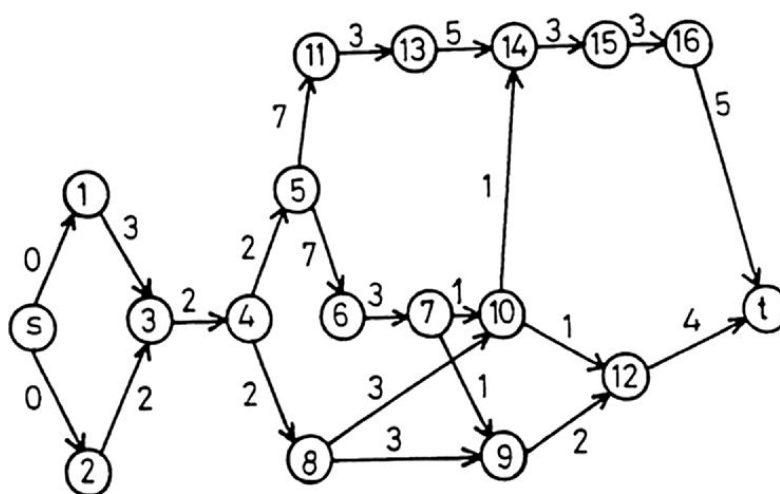


Fig.4.8

Utilizând sistemul de ecuații de mai sus calculăm consecutiv $\tilde{d}(s) = 0, \tilde{d}(1) = 0, \tilde{d}(2) = 0, \tilde{d}(3) = 3, \tilde{d}(4) = 5, \tilde{d}(5) = 7, \tilde{d}(8) = 7, \tilde{d}(6) = 14, \tilde{d}(11) = 14, \tilde{d}(13) = 17, \tilde{d}(7) = 17, \tilde{d}(9) = 18, \tilde{d}(10) = 18, \tilde{d}(12) = 20, \tilde{d}(14) = 22, \tilde{d}(15) = 25, \tilde{d}(16) = 28, \tilde{d}(t) = 33$. Analog calculăm $T(t) = 33, r(t) = 0; T(16) = 28, r(16) = 0; T(15) = 25, r(15) = 0; T(12) = 29, r(12) = 9; T(14) = 22, r(14) = 0; T(9) = 27, r(9) = 9; T(10) = 21, r(10) = 3; T(7) = 20, r(7) = 3; T(13) = 17, r(13) = 0; T(6) = 17, r(6) = 3; T(11) = 14, r(11) = 0; T(5) = 7, r(5) = 0; T(8) = 18, r(8) = 11; T(4) = 5, r(4) = 0; T(3) = 3, r(3) = 0; T(1) = 0, r(1) = 0; T(2) = 1, r(2) = 1; T(s) = 0, r(s) = 0$. Astfel,

activitățile critice sunt $s, 1, 3, 4, 5, 11, 13, 14, 15, 16, t$ și ele formează (în această ordine) drumul critic (care este, în acest caz, unic).

Capitolul 5

Probleme euleriene și hamiltoniene

5.1 Probleme euleriene

Definiția 5.1. Într-un graf neorientat $G = (N, A)$ se numește *lanț* (respectiv *ciclu eulerian*), un lanț (respectiv ciclu) simplu care trece prin toate muchiile grafului G .

Observația 5.1. Noțiunea de lanț (respectiv ciclu) eulerian are sens și pentru multigrafuri neorientate. Aceste noțiuni au fost introduse de matematicianul elvețian Euler care a publicat în 1736 rezolvarea problemei podurilor din Königsberg (azi Kaliningrad). Acest articol este considerat originea teoriei grafurilor. Orașul Königsberg, care pe timpul lui Euler era în Prusia de Est, este traversat de râul Pregel, care curge de o parte și de alta a insulei Kneiphof și are șapte poduri, ca în figura 5.1(a).

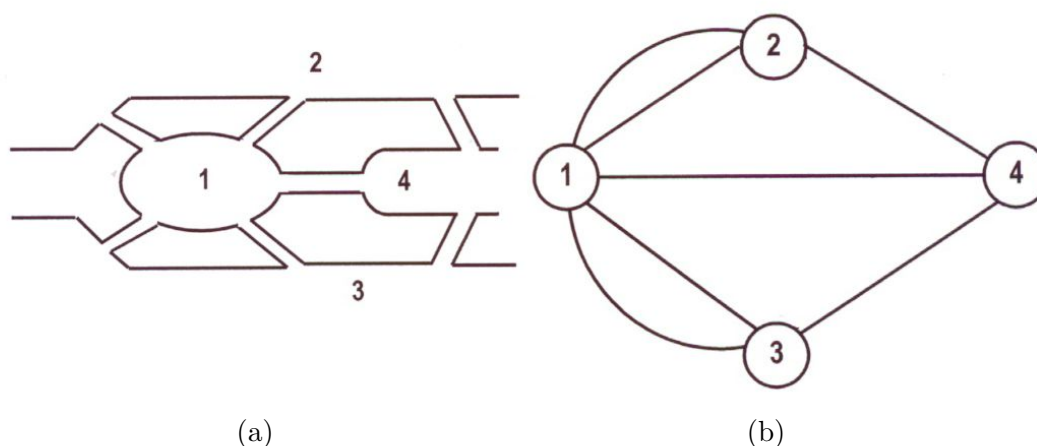


Fig.5.1

Un pieton primbându-se, va putea să traverseze numai o singură dată fiecare pod înainte de a se întoarce la locul de pornire? Această problemă a pasionat locuitorii orașului Königsberg, până în anul 1736 când Euler a arătat că nu este posibil. Modelul lui Euler pentru problemă a fost un graf neorientat cu patru vârfuri, câte un vârf pentru fiecare regiune de uscat și cu șapte muchii, câte o muchie pentru fiecare pod. Acest graf este reprezentat în figura 5.1(b). În terminologia teoriei grafurilor, problema constă în a determina un ciclu eulerian.

Exemplul 5.1. Graful neorientat din figura 5.2(a) conține lanțul eulerian $L = (a_1, a_4, a_2, a_3, a_7, a_8, a_5, a_6, a_{12}, a_{11}, a_9, a_{10}, a_{13}, a_{14}, a_{15})$, de la nodul 1 la nodul 7, dar nu conține nici un ciclu eulerian.

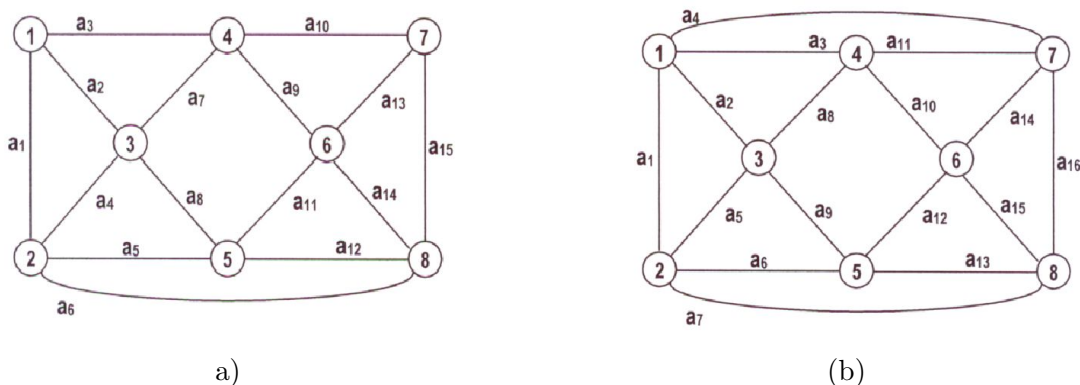


Fig.5.2

Graful neorientat din figura 5.2(b) conține ciclul eulerian $\overset{\circ}{L} = (a_1, a_5, a_2, a_3, a_8, a_9, a_6, a_{13}, a_{12}, a_{10}, a_{11}, a_{14}, a_{15}, a_{16}, a_4)$ de la nodul 1 la nodul 1.

În continuare expresia turneu eulerian neorientat desemnează fie un lanț eulerian, fie un ciclu eulerian.

Teorema 5.1. *Un graf neorientat $G = (N, A)$, conține un lanț (respectiv un ciclu) eulerian dacă și numai dacă G este conex și numărul nodurilor cu grad impar este 2 (respectiv 0).*

Demonstrație. Dacă $G = (N, A)$, conține un turneu eulerian neorientat atunci evident că G este conex și numărul nodurilor cu grad impar este fie 2, fie 0, după cum turneul este fie lanț, fie ciclu, deoarece dacă se ajunge într-un nod y pe muchia $[x, y]$ se poate întotdeauna pleca din acest nod pe o altă muchie $[y, z]$ cu excepția primului nod și a ultimului nod în cazul unui lanț eulerian. Reciproca se demonstrează prin inducție după numărul m al muchiilor. Pentru grafurile neorientate cu $m = 2$ afirmația este evident adevărată. Presupunem afirmația adevărată pentru grafurile neorientate cu $|A| < m$ și vom arăta că afirmația este adevărată și pentru grafurile neorientate cu $A = m > 2$. Dacă G conține două noduri cu grade impare, le notăm cu x_1 și x_n . Construim un turneu eulerian neorientat T plecând de la un nod x_i ($x_i = x_1$ dacă există două noduri cu grade impare) și se parcurg muchii neutilizate. Când se ajunge într-un nod $x_j \neq x_i$ ($x_j \neq x_n$) se poate pleca din x_j , deoarece este evident că s-au utilizat un număr impar de muchii incidente în x_j . După un număr k de muchii parcurse o singură dată, nu se mai poate pleca din nodul curent x_j deoarece toate muchiile incidente la x_j

au fost utilizate. În acest caz există două posibilități:

- $p_1)$ $x_j = x_n$, când G conține 2 noduri cu grade impare;
- $p_2)$ $x_j = x_i$, când G conține 0 noduri cu grade impare.

Turneul neorientat construit până la acest pas îl notăm cu T' și are k muchii. Dacă avem $k = m$ atunci evident $T' \equiv G$ și $T \equiv T'$. Dacă avem $k < m$ atunci prin eliminarea din G a tuturor muchiilor din T' se obțin un subgraf $\overline{G}' = (N, \overline{A}')$ care are evident toate nodurile cu grade pare.

Fie $\overline{C}'_1, \dots, \overline{C}'_p$ componentele conexe ale subgrafului \overline{G}' . Prin ipoteza inducției componente conexe admit ciclurile euleriene $\overset{\circ}{L}'_1, \dots, \overset{\circ}{L}'_p$. Deoarece G este conex turneul eulerian neorientat T' trebuie să treacă prin cel puțin un nod din fiecare componentă conexă a lui \overline{G}' , să spunem, prin nodurile $y_i \in \overline{C}'_i$, $i = 1, \dots, p$, în această ordine. Atunci turneul eulerian neorientat T este următorul:

$$T = L_{x_i y_1} \cup \overset{\circ}{L}'_1 \cup L_{y_1 y_2} \cup \dots \cup \overset{\circ}{L}'_p \cup L_{y_p x_j}, \text{ unde } L_{x_i y_1} \cup \dots \cup L_{y_p x_j} = T'.$$

Dacă $x_j = x_n$ atunci T este un lanț eulerian, iar dacă $x_j = x_i$ atunci T este un ciclu eulerian. ■

Observația 5.2. Teorema 5.1 este valabilă și pentru multigrafuri neorientate.

În continuare se prezintă un algoritm pentru determinarea unui ciclu eulerian. În acest algoritm se utilizează următoarele notații:

W reprezintă lista nodurilor vizitate în ordinea în care au fost vizitate;

s reprezintă nodul sursă din care se pleacă inițial;

x reprezintă nodul curent vizitat;

A' reprezintă mulțimea muchiilor deja parcurse și $\overline{A}' = A - A'$;

$\overline{V}'(x)$ reprezintă lista nodurilor din $\overline{G}' = (N, \overline{A}')$ adiacente cu x .

- (1) PROGRAM CICLUE;
- (2) BEGIN
- (3) $W := \{s\}; x := s; A' := \emptyset; \overline{A}' := A;$
- (4) WHILE $|\overline{V}'(s)| > 0$ DO
- (5) BEGIN
- (6) IF $|\overline{V}'(s)| > 1$
- (7) THEN se selectează y din $\overline{V}'(x)$ astfel încât $[x, y]$, prin eliminare, nu mărește numărul componentelor conexe ale lui $\overline{G}' = (N, \overline{A}')$
- (8) ELSE se selectează unicul nod y din $\overline{V}'(x)$;
- (9) $\overline{V}'(x) := \overline{V}'(x) - \{y\}; \overline{V}'(y) := \overline{V}'(y) - \{x\};$
- (10) $A' := A' \cup \{[x, y]\} \quad \overline{A}' := \overline{A}' - \{[x, y]\};$
- (11) $x := y;$
- (12) se adaugă x la urma listei W ;
- (13) END;
- (14) END.

Teorema 5.2 Algoritmul CICLEUE determină un ciclu eulerian $\overset{\circ}{L}$ al unui graf neorientat $G = (N, A)$ conex și gradul fiecărui nod este un număr par.

Demonstrație. Mai întâi arătăm că este posibil întotdeauna determinarea, cu ajutorul instrucțiunii IF din liniile (6), (7) și (8), a unui nod y care urmează a fi vizitat. Deoarece $G = (N, A)$ este conex și gradul fiecărui nod este număr par rezultă că inițial $|\bar{V}'(x)| > 1$ pentru fiecare nod x din N . La fiecare iterație a instrucțiunii WHILE, în linia (9), se elimină y din $\bar{V}'(x)$ și x din $\bar{V}'(y)$. Deci după un număr de iterații avem $|\bar{V}'(x)| = 1$. În acest caz, conform liniei (8), este selectat unicul nod y din $\bar{V}'(x)$. În cazul $|\bar{V}'(x)| > 1$ considerăm subcazurile $x = s$ și $x \neq s$. Dacă $x = s$ atunci nici o muchie $[s, y]$, prin eliminare, nu mărește numărul componentelor conexe ale lui $\bar{G}' = (N, \bar{A}')$, deoarece pentru oricare revenire în nodul s , nodurile din \bar{G}' au grad par. Dacă $x \neq s$ atunci, evident, cel mult o muchie $[x, y]$, prin eliminare, mărește numărul componentelor conexe ale lui \bar{G}' și există nod y care verifică condiția din linia (7).

Algoritmul se oprește când $|\bar{V}'(s)| = 0$. Evident că în conformitate cu cele precizate mai sus, în acest caz, s-a determinat un ciclu eulerian $\overset{\circ}{L} = W$. ■

Teorema 5.3 Algoritmul CICLEUE are complexitatea $O(m^2)$.

Demonstrație. Instrucțiunea WHILE se execută de m ori, odată pentru fiecare muchie a ciclului eulerian, adică a grafului $G = (N, A)$. Pentru căutarea unui nod y în linia (7) astfel încât prin eliminarea muchiei $[x, y]$ nu se mărește numărul componentelor conexe ale lui $\bar{G}' = (N, \bar{A}')$ sunt necesare cel mult m operații. Deci algoritmul are complexitatea $O(m^2)$. ■

Observația 5.3. Dacă graful neorientat $G = (N, A)$ îndeplinește condițiile de existență a unui lanț eulerian de la nodul x_1 la nodul x_n , atunci acest lanț se poate determina în modul următor. Se construiește graful neorientat $\tilde{G} = (\tilde{N}, \tilde{A})$ cu $\tilde{N} = N$, $\tilde{A} = A \cup \{[x_1, x_n]\}$. Evident că graful neorientat \tilde{G} îndeplinește condițiile de existență a unui ciclu eulerian. Dacă $\overset{\circ}{\tilde{L}}$ este ciclu eulerian al grafului neorientat \tilde{G} atunci $\overset{\circ}{L} = \overset{\circ}{\tilde{L}} - \{[x_1, x_n]\}$ este lanțul eulerian, de la nodul x_1 la nodul x_n , al grafului neorientat G .

De asemenea, remarcăm faptul că există un algoritm pentru determinarea unui ciclu eulerian cu complexitatea $O(m)$, dar cu un text mult mai lung și mai puțin clar decât algoritmul CICLEUE.

Exemplul 5.2. Să se determine cu algoritmul prezentat mai sus un ciclu eulerian al grafului neorientat din figura 5.2(b).

Sunt îndeplinite condițiile din Teorema 5.1 și anume G este conex și pentru fiecare nod x din N avem $\rho(x) = 4$ este număr par. În adevăr avem: $\bar{V}'(1) = (2, 3, 4, 7)$, $\bar{V}'(2) = (1, 3, 5, 8)$, $\bar{V}'(3) = (1, 2, 4, 5)$, $\bar{V}'(4) = (1, 3, 6, 7)$, $\bar{V}'(5) = (2, 3, 6, 8)$, $\bar{V}'(6) = (4, 5, 7, 8)$, $\bar{V}'(7) = (1, 4, 6, 8)$, $\bar{V}'(8) = (2, 5, 6, 7)$.
Inițializări: $W := \{1\}$, $x = 1$, $A' := \emptyset$, $\bar{A}' = A$;
Iterația 1: $|\bar{V}'(1)| > 0$, $|\bar{V}'(1)| > 1$
 $y = 2$, $\bar{V}'(1) = (3, 4, 7)$, $\bar{V}'(2) = (3, 5, 8)$, $A' := A' \cup \{[1, 2]\}$, $\bar{A}' := \bar{A}' - \{[1, 2]\}$,
 $x = 2$, $W = (1, 2)$

Iterația 2: $|\overline{V}'(1)| > 0, |\overline{V}'(2)| > 1$
 $y = 3, \overline{V}'(2) = (5, 8), \overline{V}'(3) = (1, 4, 5), A' := A' \cup \{[2, 3]\}, \overline{A}' := \overline{A}' - \{[2, 3]\},$
 $x = 3, W = (1, 2, 3)$
 Iterația 3: $|\overline{V}'(1)| > 0, |\overline{V}'(3)| > 1$
 $y = 4, \overline{V}'(3) = (1, 5), \overline{V}'(4) = (1, 6, 7), A' := A' \cup \{[3, 4]\}, \overline{A}' := \overline{A}' - \{[3, 4]\},$
 $x = 4, W = (1, 2, 3, 4)$
 Iterația 4: $|\overline{V}'(1)| > 0, |\overline{V}'(4)| > 1$
 $y = 6, \overline{V}'(4) = (1, 7), \overline{V}'(6) = (5, 7, 8), A' := A' \cup \{[4, 6]\}, \overline{A}' := \overline{A}' - \{[4, 6]\},$
 $x = 6, W = (1, 2, 3, 4, 6)$
 Iterația 5: $|\overline{V}'(1)| > 0, |\overline{V}'(6)| > 1$
 $y = 5, \overline{V}'(6) = (7, 8), \overline{V}'(5) = (2, 3, 8), A' := A' \cup \{[6, 5]\}, \overline{A}' := \overline{A}' - \{[6, 5]\},$
 $x = 5, W = (1, 2, 3, 4, 6, 5)$
 Iterația 6: $|\overline{V}'(1)| > 0, |\overline{V}'(5)| > 1$
 $y = 2, \overline{V}'(5) = (3, 8), \overline{V}'(2) = (8), A' := A' \cup \{[5, 2]\}, \overline{A}' := \overline{A}' - \{[5, 2]\},$
 $x = 2, W = (1, 2, 3, 4, 6, 5, 2)$
 Iterația 7: $|\overline{V}'(1)| > 0, |\overline{V}'(2)| = 1$
 $y = 8, \overline{V}'(2) = \emptyset, \overline{V}'(8) = (5, 6, 7), A' := A' \cup \{[2, 8]\}, \overline{A}' := \overline{A}' - \{[2, 8]\},$
 $x = 8, W = (1, 2, 3, 4, 6, 5, 2, 8)$
 Iterația 8: $|\overline{V}'(1)| > 0, |\overline{V}'(8)| > 1$
 $y = 5, \overline{V}'(8) = (6, 7), \overline{V}'(5) = (3), A' := A' \cup \{[8, 5]\}, \overline{A}' := \overline{A}' - \{[8, 5]\},$
 $x = 5, W = (1, 2, 3, 4, 6, 5, 2, 8, 5)$
 Iterația 9: $|\overline{V}'(1)| > 0, |\overline{V}'(5)| = 1$
 $y = 3, \overline{V}'(5) = \emptyset, \overline{V}'(3) = (1), A' := A' \cup \{[5, 3]\}, \overline{A}' := \overline{A}' - \{[5, 3]\},$
 $x = 3, W = (1, 2, 3, 4, 6, 5, 2, 8, 5, 3)$
 Iterația 10: $|\overline{V}'(1)| > 0, |\overline{V}'(3)| = 1$
 $y = 1, \overline{V}'(3) = \emptyset, \overline{V}'(1) = (4, 7), A' := A' \cup \{[3, 1]\}, \overline{A}' := \overline{A}' - \{[3, 1]\},$
 $x = 1, W = (1, 2, 3, 4, 6, 5, 2, 8, 5, 3, 1)$
 Iterația 11: $|\overline{V}'(1)| > 0, |\overline{V}'(1)| > 1$
 $y = 4, \overline{V}'(1) = (7), \overline{V}'(4) = (7), A' := A' \cup \{[1, 4]\}, \overline{A}' := \overline{A}' - \{[1, 4]\},$
 $x = 4, W = (1, 2, 3, 4, 6, 5, 2, 8, 5, 3, 1, 4)$
 Iterația 12: $|\overline{V}'(1)| > 0, |\overline{V}'(4)| = 1$
 $y = 7, \overline{V}'(4) = \emptyset, \overline{V}'(7) = (1, 6, 8), A' := A' \cup \{[4, 7]\}, \overline{A}' := \overline{A}' - \{[4, 7]\},$
 $x = 7, W = (1, 2, 3, 4, 6, 5, 2, 8, 5, 3, 1, 4, 7)$
 Iterația 13: $|\overline{V}'(1)| > 0, |\overline{V}'(7)| > 1$
 Muchia $[7, 1]$ mărește numărul componentelor conexe ale lui $\overline{G}' = (N, \overline{A}')$.
 $y = 6, \overline{V}'(7) = (1, 8), \overline{V}'(6) = (8), A' := A' \cup \{[7, 6]\}, \overline{A}' := \overline{A}' - \{[7, 6]\},$
 $x = 6, W = (1, 2, 3, 4, 6, 5, 2, 8, 5, 3, 1, 4, 7, 6)$
 Iterația 14: $|\overline{V}'(1)| > 0, |\overline{V}'(6)| = 1$
 $y = 8, \overline{V}'(6) = \emptyset, \overline{V}'(8) = (7), A' := A' \cup \{[6, 8]\}, \overline{A}' := \overline{A}' - \{[6, 8]\},$
 $x = 8, W = (1, 2, 3, 4, 6, 5, 2, 8, 5, 3, 1, 4, 7, 6, 8)$

Iterația 15: $|\bar{V}'(1)| > 0, |\bar{V}'(8)| = 1$

$y = 7, \bar{V}'(8) = \emptyset, \bar{V}'(7) = (1), A' := A' \cup \{[8, 7]\}, \bar{A}' := \bar{A}' - \{[8, 7]\},$
 $x = 7, W = (1, 2, 3, 4, 6, 5, 2, 8, 5, 3, 1, 4, 7, 6, 8, 7)$

Iterația 16: $|\bar{V}'(1)| > 0, |\bar{V}'(7)| = 1$

$y = 1, \bar{V}'(7) = \emptyset, \bar{V}'(1) = \emptyset, A' := A' \cup \{[7, 1]\}, \bar{A}' := \bar{A}' - \{[7, 1]\},$
 $x = 1, W = (1, 2, 3, 4, 6, 5, 2, 8, 5, 3, 1, 4, 7, 6, 8, 7, 1)$

Deoarece $\bar{V}'(1) = 0$ STOP.

Ciclul eulerian este dat de lista ordonată de noduri W sau $A' = (a_1, a_5, a_8, a_{10}, a_{12}, a_6, a_7, a_{13}, a_9, a_2, a_3, a_{11}, a_{14}, a_{15}, a_{16}, a_4)$.

Definiția 5.2. Într-un graf orientat (digraf) $G = (N, A)$ se numește *drum* (respectiv *circuit*) *eulerian* un drum (respectiv circuit) simplu care trece prin toate arcele digrafului G .

Definiția 5.3. Un graf neorientat (respectiv orientat) se numește *eulerian* dacă conține un ciclu (respectiv circuit) eulerian.

Exemplul 5.3. Digraful din figura 5.3(a) conține drumul eulerian $D = (a_6, a_4, a_3, a_2, a_7, a_5, a_1)$, de la nodul 4 la nodul 3, dar nu conține circuit Eulerian.

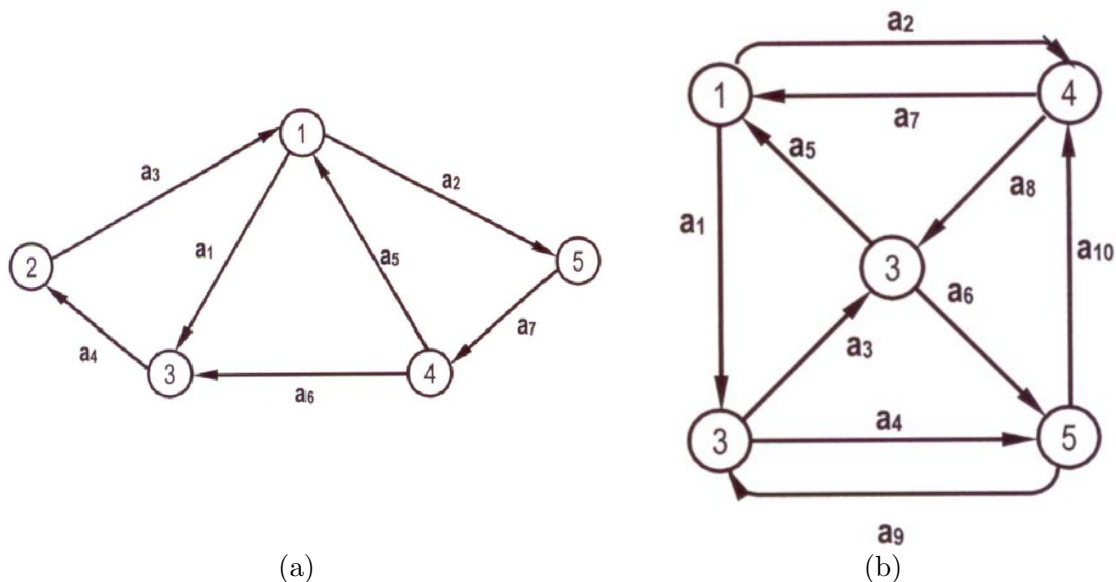


Fig.5.3

Digraful din figura 5.3(b) conține circuitul eulerian $\hat{D} = (a_5, a_2, a_8, a_6, a_9, a_4, a_{10}, a_7, a_1, a_3)$ de la nodul 3 la nodul 3.

Teorema 5.4. Un digraf $G = (N, A)$ conține un drum eulerian de la nodul x_1 la nodul x_n dacă și numai dacă este conex și semigradele nodurilor sale verifică condițiile: $\rho^+(x_1) = \rho^-(x_1) + 1$, $\rho^+(x_n) = \rho^-(x_n) - 1$, $\rho^+(x) = \rho^-(x)$ pentru $x \neq x_1$ și $x \neq x_n$. Un digraf $G = (N, A)$ conține un circuit eulerian dacă și numai dacă este conex și $\rho^+(x) = \rho^-(x)$ pentru fiecare nod x din N .

Demonstrație. Se face analog ca demonstrația Teoremei 5.1. ■

Exemplul 5.4. Digraful din figura 5.3(a) verifică condițiile din Teorema 5.4 pentru existența drumului eulerian și diagraful din figura 5.3(b) verifică condițiile din această teoremă pentru existența circuitului eulerian.

Pentru determinarea unui circuit eulerian al unui digraf $G = (N, A)$ se poate adapta algoritmul CICLUE. Se va prezenta un algoritm specific circuitelor euleriene. În acest algoritm se utilizează algoritmul parcugerii totale DF(APTDF) pentru determinarea unei arborescențe parțiale $G' = (N, A')$ cu nodul rădăcină r a digrafului $G = (N, A)$.

În algoritm se utilizează următoarele notații:

A' desemnează mulțimea arcelor arborescenței parțiale $G' = (N, A')$;

b desemnează un tablou unidimensional cu m elemente care au valori 0,1;

V_x^- desemnează lista nodurilor adiacente către interiorul nodului x și este ordonată în raport cu valorile tabloului b ;

i desemnează un tablou unidimensional cu n elemente care sunt utilizate ca index;

W desemnează lista nodurilor care la terminarea execuției algoritmului, formează circuitul eulerian.

```

(1) PROGRAM CIRCUITE;
(2) BEGIN
(3)   APTDF( $G, r, A'$ )
(4)   FOR  $(x, y) \in A$  DO
(5)     IF  $(x, y) \in A'$ 
(6)       THEN  $b(x, y) := 1$ 
(7)       ELSE  $b(x, y) := 0$ ;
(8)   FOR  $x \in N$  DO
(9)     BEGIN
(10)       $V_x^- := \emptyset$ ;  $\rho^-(x) := 0$ ;  $i(x) := 0$ ;
(11)    END;
(12)   FOR  $(x, y) \in A$  DO
(13)     IF  $b(x, y) = 0$ 
(14)       THEN se adaugă  $x$  la începutul listei  $V_y^-$ ;  $\rho^-(y) := \rho^-(y) + 1$ ;
(15)       ELSE se adaugă  $x$  la urma listei  $V_y^-$ ;  $\rho^-(y) := \rho^-(y) + 1$ ;
(16)    $W := \emptyset$ ;  $x := r$ ;
(17)   WHILE  $i(x) \leq \rho^-(x)$  DO
(18)     BEGIN
(19)       se adaugă  $x$  la începutul listei  $W$ ;
(20)        $i(x) := i(x) + 1$ ;
(21)       IF  $i(x) \leq \rho^-(x)$ 
(22)         THEN  $x := V_x^-(i(x))$ ;
(23)     END;
(24) END.
```

Teorema 5.5. Dacă $G = (N, A)$ este un digraf conex, $\rho^+(x) = \rho^-(x)$ pentru fiecare nod $x \in N$ și $G' = (N, A')$ este o arborescență parțială cu nodul rădăcină r , atunci un circuit eulerian poate fi construit în sens invers cu regulile următoare:

(1) arcul inițial este orice arc incident către interior nodului r ;

(2) arcele ulterioare sunt selectate dintre cele incidente către interior nodului curent x și astfel încât:

(2.1) fiecare arc este utilizat o singură dată,

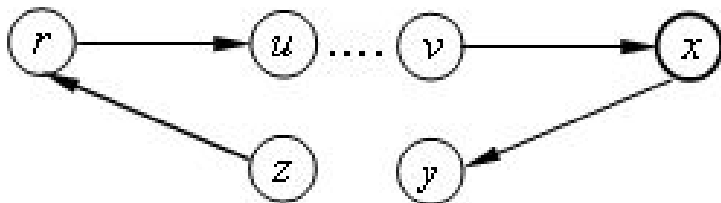
(2.2) nu este selectat arcul (v, x) din A' dacă există arc (u, x) din \bar{A}' neutilizat;

(3) procesul se oprește când nodul curent x nu are arce incidente către interior neutilizate.

Demonstrație. Regulile din teoremă sunt exprimate în algoritm în nodul următor:

- regula (1) este exprimată prin atribuirea $x := r$ din linia (16);
- regula (2) este exprimată prin incrementările din linia (20) și construcțiile listelor V_y^- cu instrucțiunea FOR din liniile (12) la (15);
- regula (3) este exprimată prin condiția din linia (17) și instrucțiunea IF din liniile (21), (22).

Pentru a fi mai clară continuarea demonstrației folosim figura de mai jos:



Deoarece $\rho^+(x) = \rho^-(x)$ pentru fiecare nod x din N , drumul determinat cu regulile de mai sus se termină numai în nodul r , deci este un circuit $\overset{\circ}{D}$. Presupunem prin reducere la absurd că $\overset{\circ}{D}$ nu este un circuit eulerian. Deci există un arc $(x, y) \in A$ și $(x, y) \notin \overset{\circ}{D}$. Cum $\rho^+(x) = \rho^-(x)$ rezultă că există un arc (v, x) astfel încât $(v, x) \notin \overset{\circ}{D}$. Putem presupune că $(v, x) \in A'$ deoarece un arc incident către interior la nodul x poate fi neutilizat din cauza regulii (2.2). Dacă se continuă acest procedeu vom ajunge la faptul că există arc $(z, r) \notin \overset{\circ}{D}$. Dar aceasta contrazice regula (3).

Teorema 5.6. Algoritmul CIRCUIE are complexitatea $O(m)$.

Demonstrație. Algoritmul parcurgerii totale DF(APTDF) are complexitatea $O(m)$. Instrucțiunile FOR de la linia (4) la linia (7) și respectiv de la linia (12) la linia (15) se execută fiecare de m ori. Instrucțiunea FOR de la linia (8) la linia (11) se execută de n ori. Instrucțiunea WHILE se execută de m ori. Deci algoritmul are complexitatea $O(m)$. ■

În algoritm, circuitul eulerian se construiește după ce s-a determinat o arborescență $G' = (N, A')$ cu rădăcina r . Este posibilă construcția inversă, anume dat un circuit eulerian al digrafului $G = (N, A)$ să construim o arborescență $G' = (N, A')$ cu rădăcina r . Această construcție se face cu următoarea regulă:

(a) se pleacă de la un nod oarecare r și în parcurgerea directă a circuitului eulerian, pentru fiecare nod $x \neq r$, selectăm primul arc parcurs incident către interior la nodul x .

Teorema 5.7. *Subgraful $G' = (N, A')$, al unui digraf eulerian $G = (N, A)$, construit conform regulii (a) de mai sus este o arborescență parțială cu nodul rădăcină r .*

Demonstrație. Conform regulii (a) avem $\rho^-(r) = 0$, $\rho^-(r) = 1$ pentru oricare nod $x \neq r$. Evident că G' este și conex, deci G' este o arborescență cu rădăcina r . ■

Observația 5.4. Dat un circuit eulerian al diagrafului $G = (N, A)$ se poate construi o arborescență parțială inversă (există un drum unic de la oricare nod terminal la nodul rădăcină) cu nodul rădăcină r . Această construcție se face cu următoarea regulă:

(b) se pleacă de la un nod oarecare r și în parcurgerea inversă a circuitului eulerian, pentru fiecare nod $x \neq r$, selectăm primul arc parcurs incident către exterior la nodul x .

Observația 5.5. Dacă un digraf $G = (N, A)$ îndeplinește condițiile de existență a unui drum eulerian de la nodul x_1 , la nodul x_n , atunci acest drum se poate determina în modul următor. Se construiește digraful $\tilde{G} = (\tilde{N}, \tilde{A})$ cu $\tilde{N} = N$, $\tilde{A} = A \cup \{(x_n, x_1)\}$.

Evident că digraful \tilde{G} îndeplinește condițiile de existență a unui circuit eulerian. Dacă \tilde{D} este circuitul eulerian al digrafului \tilde{G} atunci $D = \tilde{D} - \{(x_n, x_1)\}$ este drumul eulerian, de la nodul x_1 la nodul x_n , al digrafului G .

Exemplul 5.5. Fie digraful din figura 5.3(b). Acest digraf este eulerian. Aplică algoritmul de mai sus pentru determinarea unui circuit eulerian. Se consideră $r = 3$ și cu APTDF se determină arborescența cu arcele corespunzătoare elementelor $b(1, 4) = 1$, $b(3, 1) = 1$, $b(3, 5) = 1$, $b(5, 2) = 1$. Cu instrucțiunea FOR de la linia (12) la linia (15) se obțin listele ordonate $V_1^- = (4, 3)$, $V_2^- = (1, 5)$, $V_3^- = (4, 2)$, $V_4^- = (5, 1)$, $V_5^- = (2, 3)$. Evident că $\rho^-(1) = \rho^-(2) = \rho^-(3) = \rho^-(4) = \rho^-(5) = 2$. Iterațiile instrucțiunii WHILE sunt prezentate în tabelul de mai jos.

Iterația	x	$i(1)$	$i(2)$	$i(3)$	$i(4)$	$i(5)$	W
0	3	0	0	0	0	0	\emptyset
1	4	0	0	1	0	0	(3)
2	5	0	0	1	1	0	(4,3)
3	2	0	0	1	1	1	(5,4,3)
4	1	0	1	1	1	1	(2,5,4,3)
5	4	1	1	1	1	1	(1,2,5,4,3)
6	1	1	1	1	2	1	(4,1,2,5,4,3)
7	3	2	1	1	2	1	(1,4,1,2,5,4,3)
8	2	2	1	2	2	1	(3,1,4,1,2,5,4,3)
9	5	2	2	2	2	1	(2,3,1,4,1,2,5,4,3)
10	3	2	2	2	2	2	(5,2,3,1,4,1,2,5,4,3)
11	-	2	2	3	2	2	(3,5,2,3,1,4,1,2,5,4,3)

În continuare prezentăm arborescențele construite cu cele două reguli. Se consideră $r = 3$. Arborescența construită cu regula (a) este prezentată în figura 5.4(a) și arborescența inversă construită cu regula (b) este prezentată în figura 5.4(b).

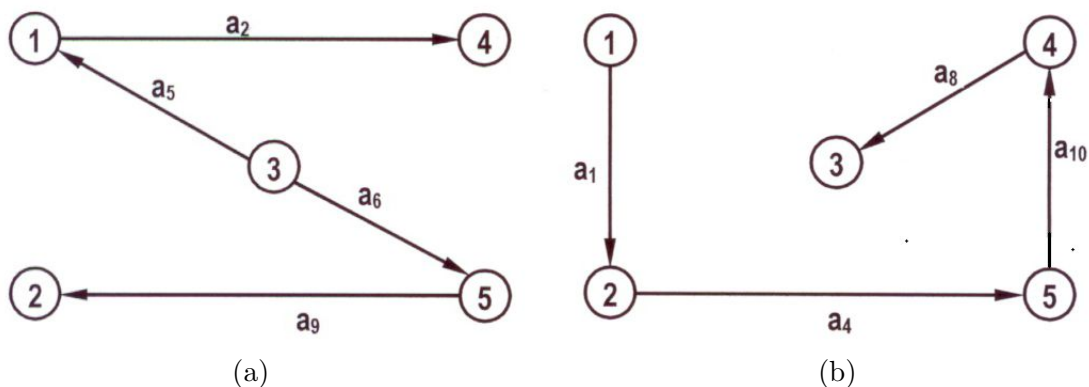


Fig.5.4

5.2 Probleme hamiltoniene

Definiția 5.4. Într-un graf neorientat $G = (N, A)$ se numește *lanț* (respectiv *ciclu*) *hamiltonian* un lanț (respectiv ciclu) elementar care trece prin toate nodurile grafului G .

Observația 5.6. Noțiunea de ciclu hamiltonian provine de la matematicianul irlandez W. Hamilton, care în 1859 a propus un joc, numit jocul icosian, constând din găsirea unui ciclu elementar, care să unească toate vârfurile unui dodecaedru, marcate cu numele unor capitale din toată lumea, trecând pe muchiile dodecaedrului. Dodecaedrul este unul din cele cinci tipuri de poliedre regulate (tetraedrul, hexaedrul (cubul), octaedrul, dodecaedrul și icosaedrul) și are 30 de muchii, 20 de vârfuri și 12 fețe. Reprezentarea plană a grafului dodecaedrului este arătată în figura 5.5.

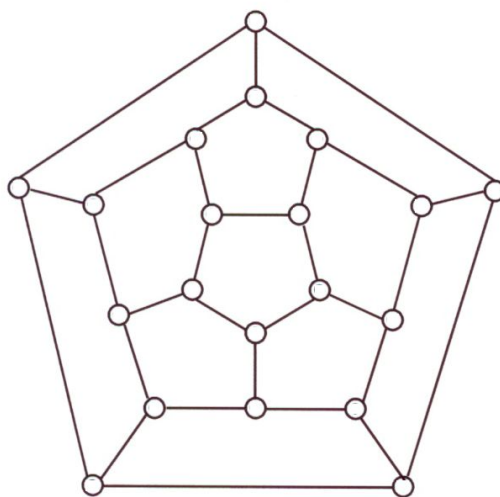


Fig.5.5

Exemplul 5.6. Graful neorientat din figura 5.6(a) conține lanțul hamiltonian $L = (1, 2, 4, 3)$ de la nodul 1 la nodul 3. Graful neorientat din figura 5.6(b) conține ciclul hamiltonian $\overset{\circ}{L} = (1, 3, 4, 5, 2, 1)$.

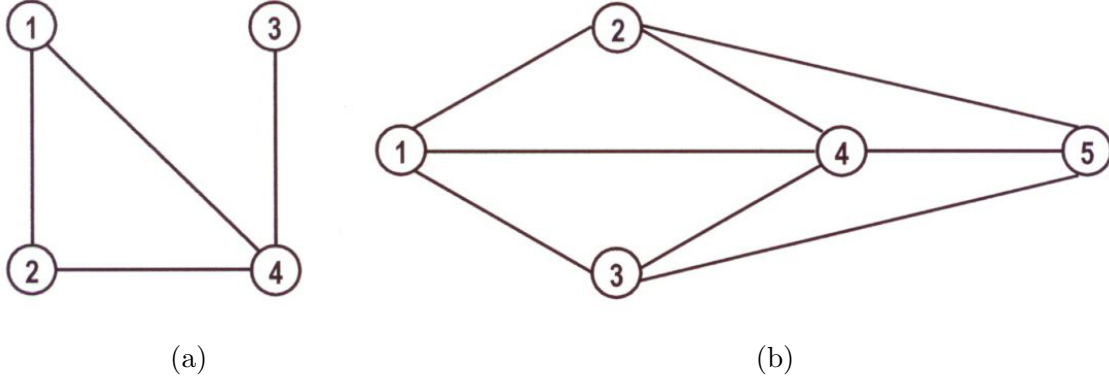


Fig.5.6

Teorema 5.8. Fie K_n graful neorientat complet cu $n \geq 3$. Acest graf conține:

1. $(n-1)!/2$ cicluri hamiltoniene distincte;
2. $2^{k-1}(n-k-1)!$ cicluri hamiltoniene distincte care trec prin k muchii neadiacente fixate.

Demonstrație. 1. Deoarece K_n este complet orice succesiune de noduri este un lanț. Deci un ciclu hamiltonian este orice succesiune de noduri în care apar toate nodurile lui K_n o singură dată, la care se adaugă primul nod din această succesiune. Prin urmare, ciclurile hamiltoniene distincte sunt permutările circulare a celor n noduri (permutările a n puncte pe cerc). Numărul permutărilor liniare ale unei mulțimi cu n elemente este $n!$. Dintr-o permutare circulară se pot obține $2n$ permutări liniare (prin "ruperea" cercului pe arcul dintre punctul 1 și punctul 2 sau ... punctul n și punctul 1 și apoi "întinderea" sa astfel ca unul din aceste două puncte poate fi plasat fie în stânga, fie în dreapta). Deci numărul ciclurilor hamiltoniene distincte este $n!/2n = (n-1)!/2$.

2. Să notăm cele k muchii fixate prin $[x_{2i-1}, x_{2i}]$, $i = 1, \dots, k$. În ciclurile hamiltoniene care trec prin cele k muchii neadiacente fixate nodul x_{2i-1} fie precede, fie succede nodul x_{2i} , $i = 1, \dots, k$. Fie graful complet K_{n-k} cu $n-2k$ noduri efective ale lui K_n care nu sunt extremitățile celor k muchii și k noduri fictive corespunzătoare celor k muchii. Fiecare ciclu hamiltonian $\overset{\circ}{L}_{n-k}$ al lui K_{n-k} generează, prin înlocuirea celor k noduri fictive cu muchii, 2^k cicluri hamiltoniene ale lui K_n care trec prin cele k muchii fixate. Invers, din 2^k cicluri hamiltoniene ale lui K_n care trec prin cele k muchii fixate se obține un același ciclu hamiltonian al lui K_{n-k} prin înlocuirea celor k muchii cu câte un nod fictiv. Aceasta rezultă din faptul că înlocuirea celor k noduri fictive cu muchii înseamnă alegerea celor k muchii ale lui K_n ca fiind un element dintre cele 2^k ale mulțimii $\{[x_1, x_2], [x_2, x_1]\} \times \dots \times \{[x_{2k-1}, x_{2k}], [x_{2k}, x_{2k-1}]\}$, apoi se înlocuiește fiecare nod fictiv al lui $\overset{\circ}{L}_{n-k}$ cu muchia corespunzătoare. Conform punctului (1) graful K_{n-k} are $(n-k-1)!/2$ cicluri hamiltoniene distincte. Deci K_n are $2^{k-1}(n-k-1)!$ cicluri hamiltoniene distincte care trec prin k muchii fixate.

Teorema 5.9. Fie $G = (N, A)$ un graf neorientat cu $n \geq 3$. Dacă pentru oricare două noduri x și y neadiacente are loc $\rho(x) + \rho(y) \geq n$ atunci G conține ciclu hamiltonian.

Demonstrație. Să presupunem, prin reducere la absurd, că G nu conține un ciclu hamiltonian. Să adăugăm muchii între nodurile neadiacente ale grafului G , atât timp cât graful obținut nu conține cicluri hamiltoniene. Prin aceasta gradele nodurilor cresc și condiția din enunțul teoremei rămâne în continuare verificată. Prin urmare putem presupune că G este un graf saturat cu proprietatea din enunțul teoremei, adică o muchie adăugată între oricare două noduri neadiacente crează un ciclu hamiltonian. Dacă $[x, y]$ nu este muchie a lui G , prin adăugarea acestei muchii la graful lui G se crează un ciclu hamiltonian. Deci G conține un lanț hamiltonian $L = (z_1, \dots, z_n)$ cu $z_1 = x$ și $z_n = y$. Să notăm cu z_{i_1}, \dots, z_{i_r} nodurile adiacente cu x , unde $2 = i_1 < i_2 < \dots < i_r < n$. Nodul y nu poate fi adiacent cu z_{i_k-1} , $k = 1, \dots, r$, deoarece în caz contrar G conține ciclul hamiltonian $\overset{\circ}{L} = (z_1, z_2, \dots, z_{i_k-1}, z_n, z_{n-1}, \dots, z_{i_k}, z_n)$ care este prezentat în figura 5.7. Rezultă că $\rho(x) = r$, $\rho(y) \leq n - 1 - r$ și se obține că $\rho(x) + \rho(y) \leq n - 1 < n$.

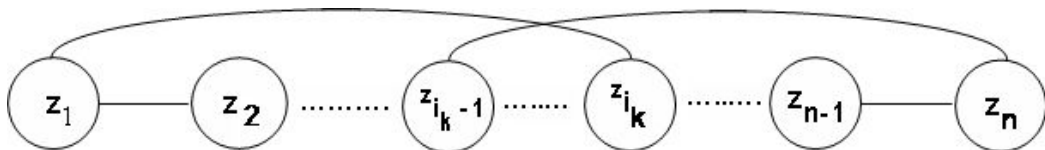


Fig.5.7

Inegalitatea $\rho(x) + \rho(y) < n$ contrazice condiția din enunțul teoremei. Deci presupunerea făcută este falsă și rezultă că graful neorientat G conține ciclu hamiltonian. ■

Teorema 5.10. Fie $G = (N, A)$ un graf neorientat cu $n \geq 3$ și x, y două noduri neadiacente pentru care

$$\rho(x) + \rho(y) \geq n.$$

Graful $G = (N, A)$ conține ciclu hamiltonian dacă și numai dacă graful neorientat $\tilde{G} = (N, \tilde{A})$, $\tilde{A} = A \cup \{[x, y]\}$ conține ciclu hamiltonian.

Demonstrație. Dacă G conține ciclu hamiltonian $\overset{\circ}{L}$ atunci evident că $\overset{\circ}{L}$ este ciclu hamiltonian și în \tilde{G} .

Dacă \tilde{G} conține ciclu hamiltonian $\overset{\circ}{\tilde{L}}$ atunci pot exista următoarele două cazuri:

(c₁) muchia $[x, y]$ nu aparține ciclului hamiltonian $\overset{\circ}{\tilde{L}}$, în acest caz $\overset{\circ}{\tilde{L}}$ este ciclu hamiltonian în G ;

(c₂) muchia $[x, y]$ aparține ciclului hamiltonian $\overset{\circ}{\tilde{L}}$; în acest caz se arată analog ca în teorema 5.9 că $\rho(x) + \rho(y) < n$ și deci acest caz nu este posibil. ■

Teorema 5.11. Fie $G = (N, A)$ un graf neorientat cu $n \geq 3$ și gradele nodurilor x_1, \dots, x_n verifică inegalitățile $\rho_1 \leq \dots \leq \rho_n$. Graful G conține ciclu hamiltonian, dacă este satisfăcută oricare din următoarele trei condiții:

(1) $\rho_1 \geq n/2$;

(2) $\rho_k \leq k < n/2$ implică $\rho_{n-k} \geq n - k$;

(3) $\rho_p \leq p$ și $\rho_q \leq q$ implică $\rho_p + \rho_q \geq n$, pentru orice p și q .

Demonstrație. (1) Din $\rho_1 \leq \dots \leq \rho_n$ și $\rho_1 \geq n/2$ rezultă că pentru oricare x_i și x_j obținem $\rho_i + \rho_j \geq n$ și conform Teoremei 5.9 G conține ciclu hamiltonian.

(2) Să presupunem, prin reducere la absurd, că G nu conține un ciclu hamiltonian. Analog ca în demonstrația Teoremei 5.9, putem presupune că G este saturat, adică o muchie adăugată între oricare două noduri neadiacente crează un ciclu hamiltonian. Considerăm două noduri neadiacente x_i, x_j , astfel încât $i < j$ și suma $i + j$ este maximă. Din maximalitatea lui $i + j$ deducem că:

- nodul x_i este adiacent cu nodurile x_{j+1}, \dots, x_n ;

- nodul x_j este adiacent cu nodurile $x_{i+1}, \dots, x_{j-1}, x_{j+1}, \dots, x_n$;

Acestea implică:

$$\rho_i \geq n - j \quad (5.1)$$

$$\rho_j \geq n - i - 1 \quad (5.2)$$

Deoarece graful G este saturat rezultă că graful $\tilde{G} = (N, \tilde{A})$, $\tilde{A} = A \cup \{[x_i, x_j]\}$ conține un ciclu hamiltonian și folosind raționamentul din demonstrația Teoremei 5.9, se obține:

$$\rho_i + \rho_j \leq n - 1 \quad (5.3)$$

Din (5.2) și (5.3) rezultă $\rho_i \leq n - 1 - \rho_j \leq n - 1 - (n - i - 1) = i$.

Considerăm $k = \rho_i$ și din $\rho_i \leq i$ rezultă $k \leq i$. Din $\rho_1 \leq \dots \leq \rho_n$ și $k \leq i < j$ se obține:

$$\rho_k \leq \rho_i \leq \rho_j. \quad (5.4)$$

Din (5.3) și (5.4) rezultă $2k = 2\rho_i \leq n - 1 < n$ sau $k < n/2$. Deci $\rho_k \leq k < n/2$. Conform ipotezei și (5.3) se obține $\rho_{n-k} \geq n - k = n - \rho_i \geq \rho_j + 1$ și

$$\rho_{n-k} \geq \rho_j + 1. \quad (5.5)$$

Dacă $n - k \leq j$ atunci $\rho_{n-k} \leq \rho_j$ care contrazice (5.5).

Dacă $n - k > j$ atunci $\rho_i < n - j$ care contrazice (5.1).

Deci presupunerea făcută este falsă.

(3) Demonstrăm că în acest caz este verificată condiția (2). Fie un nod x_k cu $\rho_k \leq k < n/2$. Pot exista cazurile:

(c₁) $\rho_{n-k} \geq n - k$; în acest caz este verificată condiția (2);

(c₂) $\rho_{n-k} < n - k$; în acest caz, din ipoteză se obține $\rho_k + \rho_{n-k} \geq n$, deci $\rho_{n-k} \geq n - \rho_k \geq n - k$ și acest caz nu este posibil. ■

Definiția 5.5. Într-un digraf $G = (N, A)$ se numește *drum* (respectiv *circuit*) *hamiltonian* un drum (respectiv un circuit) elementar care trece prin toate nodurile diagramei G .

Definiția 5.6. Un graf neorientat (respectiv orientat) $G = (N, A)$ se numește *hamiltonian* dacă conține un ciclu (respectiv circuit) hamiltonian.

Exemplul 5.7. Digraful din figura 5.8(a) conține drumul hamiltonian $D = (1, 2, 3, 5, 4, 6)$ dar nu conține nici un circuit hamiltonian. Digraful din figura 5.8(b) conține circuitul hamiltonian $\overset{\circ}{D} = (1, 2, 4, 3, 1)$.

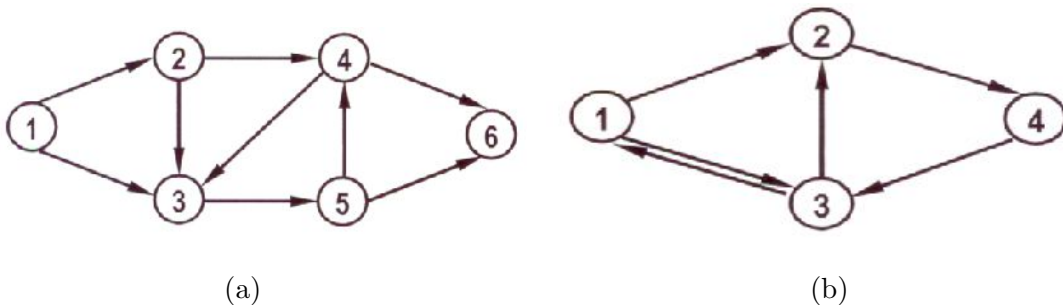


Fig.5.8

Teorema 5.12. Fie $G = (N, A)$ un digraf tare conex cu n noduri. Dacă pentru oricare două noduri neadiacente x și y există inegalitatea $\rho(x) + \rho(y) \geq 2n - 1$, atunci G conține circuit hamiltonian.

Demonstrație. O demonstrație a acestei teoreme poate fi găsită în bibliografia indicată. ■

Teorema 5.13. Fie $G = (N, A)$ un digraf tare conex cu n noduri. Dacă G este complet atunci G conține circuit hamiltonian.

Demonstrație. Deoarece digraful $G = (N, A)$ este complet rezultă că nu există noduri neadiacente și conform Teoremei 5.12 conține circuit hamiltonian. ■

Teorema 5.14. Fie $G = (N, A)$ un digraf tare conex cu n noduri. Dacă pentru orice nod x există inegalitatea $\rho(x) \geq n$, atunci G conține circuit hamiltonian.

Demonstrație. Dacă pentru oricare nod x avem $\rho(x) \geq n$, atunci pentru oricare două noduri x, y avem $\rho(x) + \rho(y) \geq 2n > 2n - 1$ și conform Teoremei 5.12 G conține circuit hamiltonian. ■

Teorema 5.15. Fie $G = (N, A)$ un digraf cu n noduri. Dacă pentru oricare două noduri neadiacente x_i și x_j există inegalitatea $\rho(x_i) + \rho(x_j) \geq 2n - 3$, atunci G conține drum hamiltonian.

Demonstrație. Fie $N = \{x_1, \dots, x_n\}$ și $\tilde{G} = (\tilde{N}, \tilde{A})$, $\tilde{N} = N \cup \{x_{n+1}\}$, $\tilde{A} = A \cup \{(x_i, x_{n+1}), (x_{n+1}, x_i) \mid i = 1, \dots, n\}$. Evident că \tilde{G} este un digraf tare conex și oricare două noduri neadiacente x_i și x_j din \tilde{G} sunt neadiacente și în G . Deci $\tilde{\rho}(x_i) + \tilde{\rho}(x_j) = \rho(x_i) + 2 + \rho(x_j) + 2 \geq 2n - 3 + 4 = 2(n + 1) - 1$. Din Teorema 5.12 rezultă că \tilde{G} conține circuit hamiltonian, care evident induce în G un drum hamiltonian. ■

Teorema 5.16. Fie $G = (N, A)$ un digraf cu n noduri. Dacă G este complet, atunci G conține drum hamiltonian.

Demonstrație. Deoarece G este complet rezultă că nu există noduri neadiacente și conform Teoremei 5.15 G conține drum hamiltonian. ■

Teorema 5.17. Fie $G = (N, A)$ un digraf cu n noduri. Dacă pentru orice nod x_i există inegalitatea $\rho(x_i) \geq n - 1$, atunci G conține un drum hamiltonian.

Demonstrație. Dacă pentru orice nod x_i există inegalitatea $\rho(x_i) \geq n - 1$, atunci pentru oricare două noduri x_i, x_j avem $\rho(x_i) + \rho(x_j) \geq 2n - 2 > 2n - 3$ și conform Teoremei 5.15 G conține drum hamiltonian. ■

Problemele hamiltoniene la fel ca multe alte probleme combinatorii aparțin clasei problemelor NP- complete (nedeterminist polinomial complete). Problemele din această clasă au aceeași complexitate algoritmică și nu se cunoaște nici un algoritm polinomial de rezolvare a oricăreia din problemele acestei clase. În plus, în momentul când se va descoperi un algoritm polinomial de rezolvare a oricăreia din problemele clasei NP- complete, va exista algoritm polinomial de rezolvare pentru toate celelalte probleme. Pentru rezolvarea unei probleme hamiltoniene se poate utiliza metoda backtracking sau metoda branch and bound. În continuare, pentru rezolvarea unei probleme hamiltoniene, se prezintă un algoritm care nu utilizează nici metoda backtracking, nici metoda branch and bound.

Să considerăm problema determinării tuturor drumurilor hamiltoniene într-un digraf $G = (N, A)$ cu $N = \{1, \dots, n\}$. Algoritmul rezolvării acestei probleme este următorul:

```

(1) PROGRAM DRUMH;
(2) BEGIN
(3)   FOR  $i := 1$  TO  $n$  DO
(4)     FOR  $j := 1$  TO  $n$  DO
(5)       IF  $(i, j) \in A$ 
(6)         THEN BEGIN  $s_{ij}^{(1)} := \{j\}$ ;  $s_{ij}^{(2)} := \{ij\}$ ;  $q_{ij}^{(2)} := 1$ ; END
(7)         ELSE BEGIN  $s_{ij}^{(1)} := \emptyset$ ;  $s_{ij}^{(2)} := \emptyset$ ;  $q_{ij}^{(2)} := 0$ ; END;
(8)   FOR  $r := 2$  TO  $n - 1$  DO
(9)     FOR  $i := 1$  TO  $n$  DO
(10)      FOR  $j := 1$  TO  $n$  DO
(11)        BEGIN
(12)           $s_{ij}^{(r+1)} := \emptyset$ ;
(13)          FOR  $k := 1$  TO  $n$  DO
(14)            BEGIN
(15)               $s_{ik}^{(r+1)} := \emptyset$ ;
(16)              IF  $s_{ik}^{(r)} \neq \emptyset$  AND  $s_{kj}^{(1)} \neq \emptyset$ 
(17)                THEN BEGIN
(18)                  FOR  $\ell := 1$  TO  $q_{ik}^{(r)}$  DO
(19)                    IF  $s_{ik\ell}^{(r)} \cap s_{kj1}^{(1)} = \emptyset$ 
(20)                      THEN BEGIN  $s_{ik\ell}^{(r+1)} := s_{ik\ell}^{(r)} s_{kj1}^{(1)}$ ;
(21)                                 $s_{ik}^{(r+1)} := s_{ik}^{(r+1)} \cup \{s_{ik\ell}^{(r+1)}\}$ ; END;
(22)                                 $s_{ij}^{(r+1)} := s_{ij}^{(r+1)} \cup s_{ik}^{(r+1)}$ ;
(23)                                END;
(24)                                 $q_{ij}^{(r+1)} := |s_{ij}^{(r+1)}|$ ;
(25)          END;
(26) END;

```

În liniile (3) la (7) se definesc matricele cu elemente mulțimi de secvențe de noduri:

$$S^{(1)} = \left(s_{ij}^{(1)} \right)_{n \times n}, \quad s_{ij}^{(1)} := \begin{cases} \{j\}, & \text{dacă } (i, j) \in A, \\ \emptyset, & \text{dacă } (i, j) \notin A, \end{cases}$$

$$S^{(2)} = \left(s_{ij}^{(2)} \right)_{n \times n}, \quad s_{ij}^{(2)} := \begin{cases} \{ij\}, & \text{dacă } (i, j) \in A, \\ \emptyset, & \text{dacă } (i, j) \notin A, \end{cases}$$

și matricea $Q^{(2)} = \left(q_{ij}^{(2)} \right)_{n \times n}$ cu $q_{ij}^{(2)}$ egal cu numărul de elemente ale lui $s_{ij}^{(2)}$.

În liniile (8) la (23) se calculează $n - 2$ produse de concatenare a două matrice. Aceste produse sunt:

$$S^{(r+1)} = S^{(r)} * S^{(1)}, \text{ pentru } r = 2, \dots, n - 1.$$

Matricea $S^{(r+1)}$ este de forma:

$$S^{(r+1)} = \left(s_{ij}^{(r+1)} \right)_{n \times n}, \quad s_{ij}^{(r+1)} := \begin{cases} \{s_{ij1}^{(r+1)}, \dots, s_{ijt}^{(r+1)}\}, & t = q_{ij}^{r+1} \\ \emptyset \end{cases}$$

$$\text{unde: } s_{ij}^{(r+1)} = \cup_{k=1}^n s_{ik}^{(r+1)}, \quad s_{ik}^{(r+1)} = \cup_{\ell=1}^p \{s_{ik\ell}^{(r+1)}\}, \quad p = q_{ik}^{(r)},$$

$$s_{ik\ell}^{(r+1)} := \begin{cases} s_{ik\ell}^{(r)} s_{kj1}^{(1)}, & \text{dacă } s_{ik\ell}^{(r)} \cap s_{kj1}^{(1)} = \emptyset \\ \emptyset, & \text{în caz contrar.} \end{cases}$$

$$\text{Deci } s_{ij}^{(r+1)} = \cup_{k=1}^n \cup_{\ell=1}^p \{s_{ik\ell}^{(r)} s_{kj1}^{(1)}\}, \quad p = q_{ik}^{(r)}, \quad r = 2, \dots, n - 1, \quad i = 1, \dots, n, \quad j = 1, \dots, n.$$

Expresia $s_{ik\ell}^{(r)} s_{kj1}^{(1)}$ reprezintă concatenarea secvenței $s_{ik\ell}^{(r)}$ cu secvența $s_{kj1}^{(1)}$. În linia (24) se calculează elementele $q_{ij}^{(r+1)}$ ale matricei $Q^{(r+1)}$.

La terminarea algoritmului se obține matricea

$$S^n = \left(s_{ij}^{(n)} \right)_{n \times n}.$$

Dacă $s_{ij}^{(n)} = \emptyset$, atunci nu există drum hamiltonian între nodurile i și j . Dacă $s_{ij}^{(n)} = \{s_{ij1}^{(n)}, \dots, s_{ijt'}^{(n)}\}$, atunci există t' drumuri hamiltoniene între nodurile i și j . Aceste drumuri sunt date de secvențele de noduri $s_{ij1}^{(n)}, \dots, s_{ijt'}^{(n)}$.

Obsevația 5.7. Dacă s-au obținut toate drumurile hamiltoniene din digraful $G = (N, A)$, atunci se pot determina toate circuitele hamiltoniene din G în modul următor: calculăm matricea $S^{(n+1)}$, în care acceptăm ca în fiecare secvență de noduri primul nod să coincidă cu ultimul nod; elementele de pe diagonala principală reprezintă circuitele hamiltoniene din G . Algoritmul prezentat mai sus se poate aplica și grafurilor neorientate pentru determinarea lanțurilor și ciclurilor hamiltoniene.

Exemplul 5.8. Fie digraful reprezentat în figura 5.9. Să se determine cu ajutorul algoritmului prezentat mai sus toate drumurile și circuitele hamiltoniene din acest digraf.

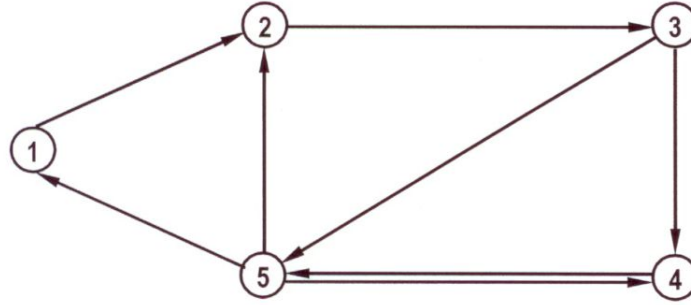


Fig.5.9

$$S^{(1)} = \begin{bmatrix} \emptyset & \{2\} & \emptyset & \emptyset & \emptyset \\ \emptyset & \emptyset & \{3\} & \emptyset & \emptyset \\ \emptyset & \emptyset & \emptyset & \{4\} & \{5\} \\ \emptyset & \emptyset & \emptyset & \emptyset & \{5\} \\ \{1\} & \{2\} & \emptyset & \{4\} & \emptyset \end{bmatrix}, \quad S^{(2)} = \begin{bmatrix} \emptyset & \{12\} & \emptyset & \emptyset & \emptyset \\ \emptyset & \emptyset & \{23\} & \emptyset & \emptyset \\ \emptyset & \emptyset & \emptyset & \{34\} & \{35\} \\ \emptyset & \emptyset & \emptyset & \emptyset & \{45\} \\ \{51\} & \{52\} & \emptyset & \{54\} & \emptyset \end{bmatrix},$$

$$S^{(3)} = \begin{bmatrix} \emptyset & \emptyset & \{123\} & \emptyset & \emptyset \\ \emptyset & \emptyset & \emptyset & \{234\} & \{235\} \\ \{351\} & \{352\} & \emptyset & \{354\} & \{345\} \\ \{451\} & \{452\} & \emptyset & \emptyset & \emptyset \\ \emptyset & \{512\} & \{523\} & \emptyset & \emptyset \end{bmatrix},$$

$$S^{(4)} = \begin{bmatrix} \emptyset & \emptyset & \emptyset & \{1234\} & \{1235\} \\ \{2351\} & \emptyset & \emptyset & \{2354\} & \{2345\} \\ \{3451\} & \left\{ \begin{array}{c} 3512 \\ 3452 \end{array} \right\} & \emptyset & \emptyset & \emptyset \\ \emptyset & \{4512\} & \{4523\} & \emptyset & \emptyset \\ \emptyset & \emptyset & \{5123\} & \{5124\} & \emptyset \end{bmatrix},$$

$$S^{(5)} = \begin{bmatrix} \emptyset & \emptyset & \emptyset & \{12354\} & \{12345\} \\ \{23451\} & \emptyset & \emptyset & \emptyset & \emptyset \\ \emptyset & \{34512\} & \emptyset & \emptyset & \emptyset \\ \emptyset & \emptyset & \{45123\} & \emptyset & \emptyset \\ \emptyset & \emptyset & \emptyset & \{51234\} & \emptyset \end{bmatrix},$$

$$S^{(6)} = \begin{bmatrix} \{123451\} & \emptyset & \emptyset & \emptyset & \emptyset \\ \emptyset & \{234512\} & \emptyset & \emptyset & \emptyset \\ \emptyset & \emptyset & \{345123\} & \emptyset & \emptyset \\ \emptyset & \emptyset & \emptyset & \{451234\} & \emptyset \\ \emptyset & \emptyset & \emptyset & \emptyset & \{512345\} \end{bmatrix}$$

Digraful din figura 5.9 conține șase drumuri hamiltoniene și un circuit hamiltonian.

5.3 Aplicații

5.3.1 Problema poștaşului

Un poștaş trebuie să distribuie poșta într-o rețea de străzi și să se întoarcă la oficiul poștal cât mai rapid posibil.

Această problemă se poate modela ca o rețea neorientată $G = (N, A, b)$ unde mulțimea nodurilor N reprezintă intersecția străzilor, mulțimea muchiilor A reprezintă străzile și funcția valoare $b : A \rightarrow \mathcal{R}$ reprezintă fie funcția lungime, fie funcția timp.

Ținând cont de precizările de mai sus, problema poștaşului are următoarea formulare: să se determine în rețeaua neorientată $G = (N, a, b)$ un ciclu care trece prin fiecare muchie cel puțin o dată și are valoarea minimă.

Dacă fiecare nod al grafului G are gradul par, atunci orice ciclu eulerian rezolvă problema poștaşului, altfel anumite muchii trebuie să fie reparcuse. Evident că un ciclu al poștaşului în graful G corespunde la un ciclu eulerian într-un multigraf neorientat $G^* = (N, A^*)$, cu $A^* = A \oplus A''$, unde $A'' \subset A$ și \oplus reprezintă operația de adăugare. Deci A^* nu este o mulțime ci o familie de muchii.

Un cuplaj în graful neorientat $G' = (N', M')$ este o submulțime de muchii M'' cu proprietatea că oricare două muchii din M'' nu sunt adiacente. Un cuplaj M'' al grafului G' se numește *perfect* dacă pentru fiecare nod x din N' există $[x, y] \in M''$.

Fie submulțimea de noduri $N' = \{x \mid x \in N, \rho(x) \text{ impar}\}$, distanțele $d'(x, y)$ și lanțurile minime $L'(x, y)$ în rețeaua $G = (N, A, b)$ pentru $x, y \in N'$. Se construiesc graful neorientat complet $G' = (N', M')$ și rețeaua $G' = (N', M', b')$ cu $b'[x, y] = d'[x, y]$, $[x, y] \in M'$. În rețeaua $G' = (N', M', b')$ se determină un cuplaj perfect M'' cu valoarea minimă. La fiecare muchie $[x, y] \in M''$ corespunde un lanț minim $L'(x, y)$ în G . Un astfel de lanț îl vom nota în continuare prin $L''(x, y)$ și fie $\mathcal{L}'' = \{L''(x, y) \mid [x, y] \in M''\}$. Se determină mulțimea $A'' = \{[x, y] \mid [x, y] \in L''(x, y), L''(x, y) \in \mathcal{L}''\}$ și se construiește multigraful neorientat $G^* = (N, A^*)$ cu $A^* = A \oplus A''$.

Algoritmul *PP*, care rezolvă problema poștaşului, este prezentat în PROGRAM PP ce conține șase proceduri.

- (1) PROGRAM PP;
- (2) BEGIN
- (3) DLM($G, N', \mathcal{D}'_1, \mathcal{L}'$);
- (4) REC(N', \mathcal{D}'_1, M');
- (5) CPM(G', \mathcal{D}'_1, M'');
- (6) LMC($\mathcal{L}', M'', \mathcal{L}''$);
- (7) MUN(G, \mathcal{L}'', G^*);
- (8) CIE(G^*, C^*);
- (9) END.

Cele șase proceduri determină următoarele:

DLM determină submulțimea de noduri N' , distanțele $d'(x, y) \in \mathcal{D}'_1$ și lanțurile minime $L'(x, y) \in \mathcal{L}'$ în rețeaua $G = (N, A, b)$ pentru $x, y \in N'$;

REC determină rețeaua completă $G' = (N', M', b')$;

CPM determină cuplajul perfect minim M'' din rețeaua G' ;
 LMC determină lanțurile minime $L''(x, y) \in \mathcal{L}''$ corespunzătoare muchiilor din cuplajul perfect minim M'' ;
 MUN determină multigraful neorientat $G^* = (N, A^*)$, $A^* = A \oplus A''$;
 CIE determină un ciclu eulerian C^* în multigraful G^* .

Corectitudinea algoritmului PP este evidentă.

Teorema 5.18. Algoritmul PP are complexitatea $O(n^3)$.

Demonstrație. Fiecare procedură utilizată în algoritm are complexitatea cel mult $O(n^3)$. Deci algoritmul PP are complexitatea $O(n^3)$. ■

Exemplul 5.8. Fie rețeaua neorientată din figura 5.10.

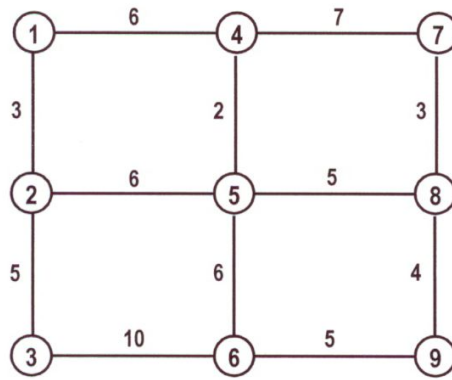


Fig.5.10

Procedura DLM determină: $N' = \{2, 4, 6, 8\}$, $\mathcal{D}'_1 = \{d'(2, 4) = 8, d'(2, 6) = 12, d'(2, 8) = 11, d'(4, 6) = 8, d'(4, 8) = 7, d'(6, 8) = 9\}$, $\mathcal{L}' = \{L'(2, 4) = (2, 5, 4), L'(2, 6) = (2, 5, 6), L'(2, 8) = (2, 5, 8), L'(4, 6) = (4, 5, 6), L'(4, 8) = (4, 5, 8), L'(6, 8) = (6, 9, 8)\}$.
 Procedura REC determină rețeaua rețeaua completă $G' = (N', M', b')$ reprezentată în figura 5.11.

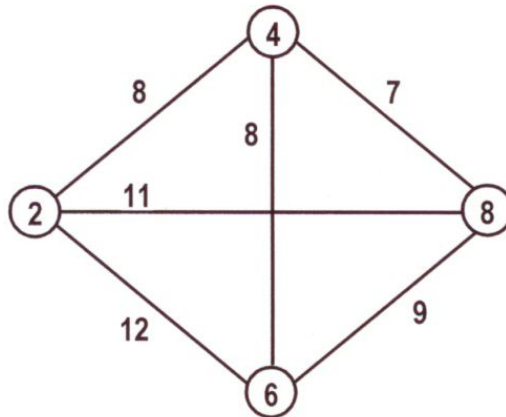


Fig.5.11

Problema comis voiajorului într-o rețea oarecare $G = (N, A, b)$ se poate converti într-o problemă a ciclului hamiltonian minim într-o rețea $G' = (N', A', b')$, unde $N' = N$, $A' = \{[x, y] \mid x, y \in N'\}$, $b'[x, y] = d(x, y)$, $x, y \in N$. Rezultă că rețeaua G' are ca support un graf complet cu valorile muchiilor egale cu distanțele calculate în rețeaua G . Evident că în rețeaua G' este verificată inegalitatea triunghiului și că fiecare muchie corespunde la un lanț minim format din una sau mai multe muchii din G . În construcția lui G' este uzual să se eticheteze fiecare muchie cu lanțul corespunzător din G , dacă lanțul este format din cel puțin două muchii.

Exemplul 5.9. Rețelei $G = (N, a, b)$ din figura 5.13(a) îi corespunde rețeaua $G' = (N', A', b')$ din figura 5.13(b).

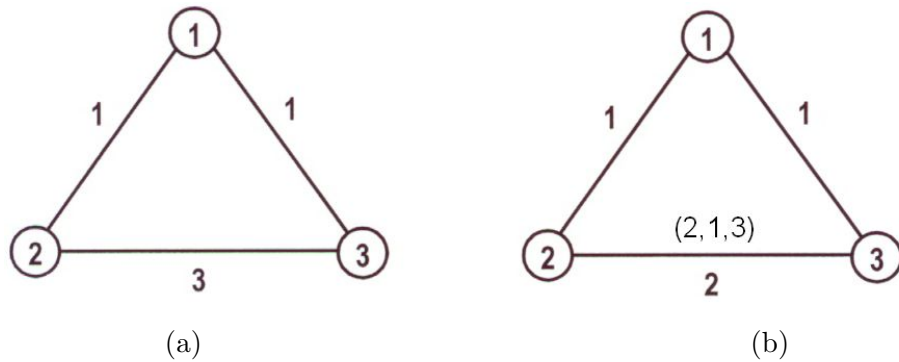


Fig.5.13

Teorema 5.19. O soluție a problemei comis voiajorului în rețeaua $G = (N, a, b)$ corespunde unui ciclu hamiltonian minim în rețeaua $G' = (N', A', b')$.

Demonstrație. Presupunem că C este o soluție pentru problema comis voiajorului în rețeaua G care nu este echivalentă cu un ciclu hamiltonian în rețeaua G' . Fie C' ciclul echivalent în G' . Notăm că ciclul C' trebuie să urmeze aceeași secvență de muchii în G' ca ciclul C în G ținând seama că fiecare muchie $[x, y]$ din G' corespunde la un lanț minim $L_{xy}^* = (x, \dots, y)$ în G . Deoarece $b'[x, y] = b(L_{xy}^*)$ rezultă că $b(C') = b(C)$. Ciclul C' este un ciclu care trece prin fiecare nod x cel puțin o dată.

Presupunem că ciclul C' vizitează un anumit nod y a doua oară. Fie nodurile x și z vizitate imediat înaintea și respective imediat după vizitarea nodului y . Putem înlocui sublanțul (x, y, z) din C' prin muchia $[x, z]$ fără a afecta faptul că C' este echivalentul soluției problemei comis voiajorului în G , deoarece $b'[x, z] = d(x, z) = b(x, y) + b(y, z)$. În acest mod se poate elimina oricare vizitare multiplă pentru orice nod y din G' . Astfel C' devine un ciclu hamiltonian C'' . Deoarece $b(C'') = b(C') = b(C)$ rezultă că C'' este un ciclu hamiltonian minim. Deci contrazicem ipoteza. ■

Conform acestei teoreme, în continuare considerăm problema ciclului hamiltonian minim într-o rețea neorientată și completă $G = (N, A, b)$ în care este verificată inegalitatea triunghiului.

Până în prezent nu se cunoaște un algoritm polinomial care să determine un ciclu hamiltonian. O asemenea problemă, pentru a cărei rezolvare nu se cunosc algoritmi polinomiali iar algoritmi cunoscuți sunt exponențiali se numește problemă NP - completă. Problema determinării unui ciclu hamiltonian este NP - completă.

Pentru determinarea unui ciclu hamiltonian minim se vor prezenta algoritmi de aproximare. Fie C^* un ciclu hamiltonian minim și C un ciclu Hamiltonian cu $b(C^*) \leq b(C)$. Se cere unui algoritm de aproximare să satisfacă condiția:

$$1 \leq b(C)/b(C^*) \leq r.$$

Cu cât r este mai mic cu atât algoritmul este mai performant.

Algoritmul pe care îl prezentăm mai jos se va numi algoritmul dublu arbore (DA).

- (1) PROGRAM DA;
- (2) BEGIN
- (3) APM(G, G');
- (4) PDF(G', o');
- (5) CHA (o', C);
- (6) END.

Procedurile din algoritm determină următoarele:

APM determină un arbore parțial minim G' al grafului G ;

PDF determină tabloul ordine o' în parcurgerea DF a arborelui G' ;

CHA determină ciclul hamiltonian C cu $b(C^*) \leq b(C)$ și $C = (x_1, \dots, x_n, x_1)$ dacă $o'(x_i) = i, i = 1, \dots, n$.

Teorema 5.20. *Pentru algoritmul DA avem $r < 2$.*

Demonstrație. Mai întâi observăm că $b(G') < b(C^*)$, deoarece un arbore parțial G' se poate obține prin eliminarea oricărei muchii din ciclul hamiltonian minim C^* . Parcurgerea DF a lui G' generează un ciclu C' care traversează fiecare muchie a lui G' de două ori. Deci $b(C') = 2b(G') < 2b(C^*)$. Ciclul C determinat de algoritm urmează ciclul C' exceptând faptul că C continuă direct la următorul nod nevizitat fără revizitarea unor noduri. Deci numărul de muchii ale ciclului C este mai mic decât numărul de muchii ale ciclului C' . Din această remarcă și din faptul că în G este verificată inegalitatea triunghiului avem că $b(C) < b(C')$. Rezultă că $b(C) < 2b(C^*)$ sau $b(C)/b(C^*) < 2$. ■

Teorema 5.21. *Algoritmul DA are complexitatea $O(n^2)$.*

Demonstrație. Complexitatea procedurii APM este $O(n^2)$ dacă se utilizează algoritmul Prim. Procedura PDF are complexitatea $O(m') = O(n)$. Complexitatea procedurii CHA este $O(n)$. Deci algoritmul are complexitatea $O(n^2)$. ■

Exemplul 5.10. Fie rețeaua neorientată și completă $G = (N, A, b)$ reprezentată în figura 5.14(a). Se poate constata că este verificată inegalitatea triunghiului.

Procedura APM determină arboreal parțial minim G' din figura 5.14(b).

Procedura PDF determină tabloul $o' = (1, 2, 3, 4, 5, 6)$.

Procedura CHA determină ciclul hamiltonian $C = (1, 2, 3, 4, 5, 6, 1)$. Remarcăm că ciclul C' din demonstrația Teoremei 5.19 este $C' = (1, 2, 3, 2, 4, 2, 1, 5, 1, 6, 1)$ și $b(C) = 2 + 1 + 4 + 4 + 2 + 1 = 14$. Ciclul hamiltonian minim este $C^* = (1, 5, 2, 3, 4, 6, 1)$ cu $b(C^*) = 12$. Dacă se elimină muchia $[3, 4]$ se obține un arbore parțial G'' cu $b(G'') = b(G')$.

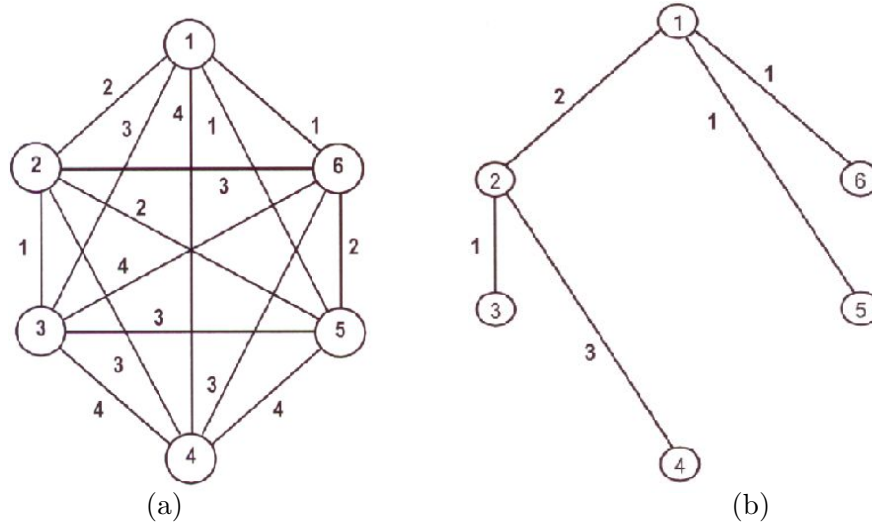


Fig.5.14

Înainte de a prezenta al doilea algoritm de aproximare vom face câteva precizări. Ca în algoritmul anterior notăm cu $G' = (N, A')$ arborele parțial minim al grafului G . Fie mulțimea de noduri $N'' = \{x \mid x \in N, \rho'(x) \text{ impar în } G'\}$ și $G'' = (N'', A'')$ subgraful indus de N'' în G . Notăm cu M'' cuplajul perfect minim în G'' . Evident că graful $\tilde{G}' = (N, \tilde{A}')$ cu $\tilde{A}' = A' \oplus M''$ este un graf eulerian. Dacă \tilde{C}' este un ciclu eulerian în \tilde{G}' și \tilde{o}' este tabloul ordine în parcurgerea acestui ciclu, atunci se poate construi ciclul hamiltonian $C = (x_1, \dots, x_n, x_1)$, unde $\tilde{o}'(x_i) = i, i = 1, \dots, n$.

Algoritmul arborelui și cuplajului (AC) este prezentat mai jos .

- (1) PROGRAM AC;
- (2) BEGIN
- (3) APM(G, G');
- (4) SGR(G, G', G'');
- (5) CPM(G'', M'');
- (6) GRE(G', M'', \tilde{G}');
- (7) CIE($\tilde{G}', \tilde{C}', \tilde{o}'$);
- (8) CHA ($\tilde{C}', \tilde{o}', C$);
- (9) END.

Procedurile din program au semnificațiile următoare:

APM determină arborele parțial minim $G' = (N, A')$ al lui $G = (N, A, b)$;

SGR determină subgraful $G'' = (N'', A'')$ al lui G ;

CPM dectrmină cuplajul perfect minim M'' în G'' ;

GRE determină graful eulerian \tilde{G}' ;

CIE determină ciclul eulerian \tilde{C}' în \tilde{G}' și tabloul ordine \tilde{o}' ;

CHA determină ciclul hamiltonian C din \tilde{C}' .

Teorema 5.22. Pentru algoritmul AC avem $r < 3/2$.

Demonstrație. Analog ca în Teorema 5.20 avem că $b(G') < b(C^*)$ și $b(C) < b(\tilde{C}')$. Dar $b(\tilde{C}') = b(G') + b(M'')$ și se obține $b(C) < b(C^*) + b(M'')$. Din ciclul C^* se poate construi un ciclu C'' care trece numai prin nodurile din N'' . Datorită faptului că C'' are mai puține muchii decât C^* și din inegalitatea triunghiului avem $b(C'') < b(C^*)$. Deoarece $|N''| = 2k$ se pot construi două cuplaje perfecte M_1'' și M_2'' din C'' prin alternarea muchiilor. Este evident că $b(M'') \leq \min\{b(M_1''), b(M_2'')\} \leq \frac{1}{2}b(C'')$. Rezultă $b(C) < b(C^*) + b(M'') < b(C^*) + \frac{1}{2}b(C'') = \frac{3}{2}b(C^*)$. Prin urmare $b(C)/b(C^*) < \frac{3}{2}$. ■

Teorema 5.23. Algoritmul AC are complexitatea $O(n^3)$.

Demonstrație. Fiecare procedură utilizată de algoritm are complexitatea cel mult $O(n^3)$. Deci algoritmul AC are complexitatea $O(n^3)$. ■

Exemplul 5.11. Fie rețeaua neorientată și completă $G = (N, A, b)$ reprezentată în figura 5.14(a).

Procedura APM determină arborele parțial minim G' din figura 5.14(b);

Procedura SGR determină subgraful $G'' = G$, deoarece $N'' = N$;

Procedura CPM determină cuplajul perfect minim $M'' = \{[1, 5], [2, 3], [4, 6]\}$;

Procedura GRE determină graful eulerian \tilde{G}' din figura 5.15;

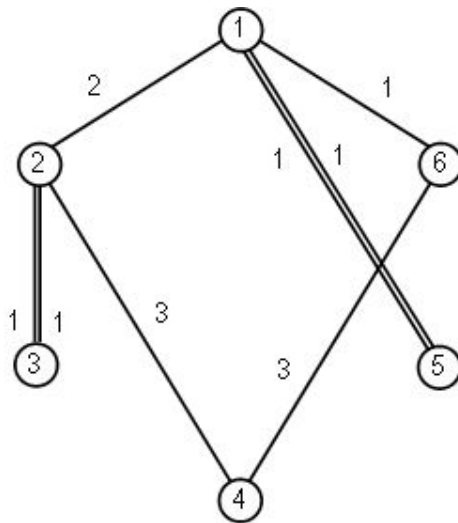


Fig. 5.15

Procedura CIE determină ciclul eulerian $\tilde{C}' = (1, 5, 1, 2, 3, 2, 4, 6, 1)$ și tabloul ordine $\tilde{o}' = (1, 5, 2, 3, 4, 6)$;

Procedura CHA determină ciclul hamiltonian $C = (1, 5, 2, 3, 4, 6, 1)$ cu $b(C) = b(1, 5) + b(5, 2) + b(2, 3) + b(3, 4) + b(4, 6) + b(6, 1) = 1 + 2 + 1 + 4 + 3 + 1 = 12$. În acest caz $C = C^*$.

Remarcăm faptul că pentru rezolvarea procedurii CPM sunt necesare și alte noțiuni și rezultate care nu au fost prezentate în această lucrare. De aceea, în acest subparagraf considerăm că un cuplaj perfect minim M'' din rețeaua G'' este dată de intrare. Cititorii interesați pot consulta bibliografia indicată.

Bibliografie

- Ahuja, R. K., Magnanti, T. L. and Orlin, J. B.** (1993): *Network Flows: Theory, Algorithms and Applications*. Prentice Hall, Englewood, Cliffs, N. J.
- Bang-Jensen, J. and Gutin, G.** (2001): *Digraph: Theory, Algorithms and Applications*. Springer-Verlag, London.
- Bazaraa, M. S., Jarvis J. J. and Sherali, H. D.** (2005): *Linear Programming and Network Flows (third edition)*. Wiley, New York.
- Berge, C.** (1973): *Graphs and Hypergraphs*. North Holland, Amsterdam.
- Bertsekas, D. P.** (1991): *Linear Network Optimization: Algorithms and Codes*. The MIT Press Cambridge, Massachusetts.
- Chen, W. K.** (1990): *Theory of Nets: Flows in Networks*. Wiley, New York.
- Christofides, N.** (1975): *Graph Theory: An Algorithmic Approach*. Academic Press, New York.
- Ciupală L.** 2007 *Algoritmi fundamentali din teoria grafurilor. Aplicații*. Editura Universității Transilvania Brașov.
- Ciurea, E** (2001): *Introducere în algoritmica grafurilor*. Editura Tehnică București.
- Ciurea, E., Ciupală, L.** (2006): *Algoritmi. Introducere în algoritmica fluxurilor în rețele*. Editura Matrix Rom, București.
- Croitoru, C.** (1992): *Tehnici de bază în optimizarea combinatorie*. Editura Universității 'Al. I. Cuza', Iași.
- Evans, J. R. and Minieka, E.** (1992): *Optimization Algorithms for Networks and Graphs*. Marcel Dekker, Inc., New York.
- Ford, L. R. and Fulkerson, D. R.** (1962): *Flows in Networks*. Princeton University Press, Princeton, N. J.
- Gibbons, A.** (it Algorithmic Graphs, Networks and Algorithms). Springer, Berlin, 1999.
- Glover, F., Klingman, D. and Philips, N. V.** (1992): *Network Models in Optimization and their Applications in Practice*. Wiley, New York.
- Godran, M. and Minoux, N.** *Graphs and Algorithms*. Wiley, New York, 1984.
- Gross, J. and Yellen, J.** (1999): *Graph Theory and its Applications*, CRC Press, New York.

- Jungnickel, D.** (1999): *Graphs, Networks and Algorithms*. Springer, Berlin.
- Rühe, G.** (1991): *Algorithmic Aspects of Flows in Networks*. Kluwer Academic Publishers, Dordrecht.
- Tarjan, R. E.** (1983): *Data Structures and Network Algorithms*. SIAM, Philadelphia.
- Toadere, T.** (2002): *Grafe. Teorie, algoritmi și aplicații*. Editura Albatros, Cluj-Napoca.
- Tomescu, I.** (1981): *Probleme de combinatorică și teoria grafurilor*. Editura Didactică și Pedagogică, București.
- Tutte, W. T.** (1984): *Graph Theory*. Cambridge University Press, Cambridge.